

P-151

Polikistik over sendromlu genç kadınlarda QT dispersiyonu varlığının araştırılması

Emine Gazi¹, Meryem Uray², Volkan Hancı³, Ahmet Temiz¹, Burak Altun¹, Ayşenur Çakır Güngör², Ufuk ÖzTÜRK¹, Bahadır Kirılmaz¹

¹Çanakkale Onsekiz Mart Üniversitesi Tip Fakültesi, Kardiyoloji Anabilim Dalı, Çanakkale
²Çanakkale Onsekiz Mart Üniversitesi Tip Fakültesi, Kadın Doğum Anabilim Dalı, Çanakkale
³Çanakkale Onsekiz Mart Üniversitesi Tip Fakültesi, Anesteziyoloji ve Reanimasyon Anabilim Dalı, Çanakkale

Giriş: Polikistik over sendromu (PKOS) reproduktif dönemindeki kadınların yaklaşık %7 lik kısmını etkileyen bir endokrinopatidir. Hipertrofik endometrial ve anovulasyon hastalığıın en önemli bileşenlerinden olmakla beraber, artmış obezite sırlığı, insulin direnci ve hiperlipidemi ile metabolik sendrom için artmış riske sahiptir. Erken ateroskleroz gelişimi ve kardiyovasküler olay sırlığı ile ilgili çalışmalar olmasına rağmen, bu grup hastalarda aritmi insidansını ve riskini araştıran az sayıda çalışma mevcuttur. Artmış QT dispersiyonu ventriküler aritmi ve anı ölüm ile ilişkili olduğu düşünülmektedir. Bu nedenle çalışmamızda PKOS olan genç kadınlarda QT mesafesi ve QT dispersiyonunu araştırmayı amaçladık.

Materyal ve Metod: Çalışmaya benzer yaşı grubunda PKOS olan (n=25) ve kontrol grubu olarak normal sağlıklı kadınlar (n=22) dahil edildi. Çalışmaya hipertansiyon, diyet, böbrek yetmezliği, tiroid fonksiyon bozukluğu, elektrolit dengeşizliği, kronik inflamatuar hastalık, kronik akciğer hastalığı olanlar, sigara içenler, son 1 ay öncesinden itibaren QT mesafesini etkileyebilecek ilaç kullanmış olanlar dahil edildi. Tüm hastaların laboratuvar ve elektrokardiografik değerlendirme menstruel siklusun 2 veya 3. gününde yapıldı. Elektrokardiografiler 12 kanallı elektrokardiografi cihazı ile 50 mm/s hız 20 mm/mV amplitüd ile çekildi. Maksimum (QTmax) ve minimum QT (QTmin) mesafeleri kaydedildi. Bazet formülüne göre düzeltilmiş QT mesafesi hesaplandı, maksimum (QTcmax) ve minimum (QTcmin) değerler belirlendi. QT dispersiyonu QTcmax ile QTcmin arasındaki fark olarak hesaplandı. Hastaların ve kontrol grubunun karşılaştırılmasında Mann-Whitney U testi kullanıldı. p<=0,05 anlamlı olarak kabul edildi.

Bulgular: Her iki grubun bazal demografik özellikleri benzer bulundu (Tablo 1). Her iki grubun kalp hızları arasında anlamlı fark yoktu. Serum FSH düzeyi PKOS grubunda kontrol grubundan daha düşük bulundu ($5,27 \pm 1,23 \text{ IU/ml}$, $9,25 \pm 5,34 \text{ IU/ml}$, $p=0,004$). QTcmax PKOS grubunda daha uzun olmakla beraber istatistiksel anlamlı fark yoktu ($436 \pm 30 \text{ msn}$, $420 \pm 22 \text{ msn}$, $p=0,076$). QTcmin değerleri iki grupta benzer olmasına rağmen ($387 \pm 31 \text{ msn}$, $390 \pm 22 \text{ msn}$, $p=0,572$) QT dispersiyonu PKOS grubunda anlamlı olarak fazlaydı ($49 \pm 15 \text{ msn}$, $32 \pm 7 \text{ msn}$, $p=0,0001$) (Tablo 2).

Sonuçlar: Bu çalışma genç PKOS hastalarında QT dispersiyonun artmış olduğunu göstermiştir.

P-152

Sistemik kolinerjik etkinin eşlik etmediği karbosulfan teneffüsüne bağlı aritmi

Mutlu Cagan Sumerkan¹, Burak Hunuk², Kemal Gunaydin³, Ozcan Kadioglu⁴, Omer Miroglu⁵, Engin Ersin Simsek⁶, Sukru Oksuz⁶, Serhat Bahadir Sozen¹, Ekrem Guler¹, Gamze Babur Guler¹, Mehmet Ali Agirbaslı⁷

¹Düzce Atatürk Devlet Hastanesi, Kardiyoloji Kliniği, Düzce

²Maltepe C.I.K. Devlet Hastanesi, Kardiyoloji Kliniği, İstanbul

³Düzce Atatürk Devlet Hastanesi, İç Hastalıkları Kliniği, Düzce

⁴Düzce Atatürk Devlet Hastanesi, Department of Anesthesiology and Reanimation, Duzce

⁵Düzce İl Sağlık Müdürlüğü, Düzce

⁶Düzce Atatürk Devlet Hastanesi Başhekimi, Duzce

⁷Marmara Üniversitesi Tip Fakültesi, Kardiyoloji Kliniği, İstanbul

Noninvasive arrhythmia

P-151

Presence of QT dispersion in young women with polycystic ovary syndrome

Emine Gazi¹, Meryem Uray², Volkan Hancı³, Ahmet Temiz¹, Burak Altun¹, Ayşenur Çakır Güngör², Ufuk ÖzTÜRK¹, Bahadır Kirılmaz¹

¹Department of Cardiology, Çanakkale Onsekiz Mart University, Faculty of Medicine, Çanakkale

²Department of Obstetrics and Gynecology, Çanakkale Onsekiz Mart University, Faculty of Medicine, Çanakkale

³Department of Anesthesiology and Reanimation, Çanakkale Onsekiz Mart University, Faculty of Medicine, Çanakkale

Tablo 1. Grupların demografik özelliklerini ve laboratuvar parametrelerinin karşılaştırılması

	PKOS (n=25)	Kontrol (n=22)	P değeri
Yaş	28,2±7,9	29,2±5,8	0,227
Beden-Kitle İndeksİ	25,1±5,7	22,6±3,6	0,292
Baş/Kalça oranı	0,84±0,06	0,84±0,08	0,546
Vücut Yüzey Alanı (m ²)	1,71±0,2	1,67±1,1	0,349
Ağır Kan Şekeri (mg/dl)	88±13	88±7	0,932
Kolesterol (mg/dl)	181±38	174±33	0,747
LDL kolesterol (mg/dl)	100±31	93±32	0,602
HDL kolesterol (mg/dl)	53±16	55±16	0,629
Triglicerid (mg/dl)	113±90	81±48	0,310
İnsülin (μU/ml)	14,3±18	13,5±17	0,712
Ostrojen (μU/ml)	41,1±13,5	35,6±19,3	0,096

Tablo 2. Grupların elektrokardiografik bulgularının karşılaştırılması

	PKOS (n=25)	Kontrol (n=22)	P değeri
Kalp Hizi (1/dk)	81±7	77±12	0,228
QTcmax (msn)	436,3±30,2	420,9±21,9	0,076
QTcmin (msn)	386,9±30,9	389,3±21,6	0,572
QT dispersiyonu (msn)	49,6±15,5	31,7±7,1	0,0001

P-152

Carbosulfan inhalation and arrhythmia in the absence of systemic manifestations of cholinergic excess

Mutlu Cagan Sumerkan¹, Burak Hunuk², Kemal Gunaydin³, Ozcan Kadioglu⁴, Omer Miroglu⁵, Engin Ersin Simsek⁶, Sukru Oksuz⁶, Serhat Bahadir Sozen¹, Ekrem Guler¹, Gamze Babur Guler¹, Mehmet Ali Agirbaslı⁷

¹Düzce Ataturk State Hospital, Department of Cardiology, Duzce

²Maltepe C.I.K. State Hospital, Department of Cardiology, Istanbul

³Düzce Ataturk State Hospital, Department of Emergency Medicine, Duzce

⁴Düzce Ataturk State Hospital, Department of Anesthesiology and Reanimation, Duzce

⁵The Provincial Health Director of Duzce, Duzce

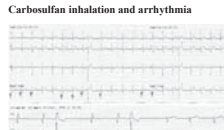
⁶Chief of the Hospital, Duzce Ataturk State Hospital, Duzce

⁷Marmara University, Faculty of Medicine, Department of Cardiology, Istanbul

Purpose: Carbosulfan is an agricultural pesticide used mainly as an insecticide and nematicide. The neurotransmitter acetylcholinesterase enzyme is reversibly inhibited by carbosulfan. The predominant clinical feature is acute cholinergic toxicity which includes salivation, nausea, vomiting, diarrhea, diaphoresis, lacrimation and miosis. Cardiac manifestations of carbosulfan toxicity are described primarily from reports of organophosphate exposure and include sinus bradycardia and tachycardia, hypertension, hypotension and pulmonary edema, prolonged PR and QT interval, ST-T changes, atrial fibrillation and ventricular arrhythmias. Here we report a case with atrioventricular block, nodal rhythm, QT prolongation associated with carbosulfan poisoning by inhalation. Despite numerous prior case reports, our case remains interesting by associating atrioventricular block and accelerated nodal rhythm episodes with carbosulfan.

Case Details: A 70 year-old male admitted to emergency department with complaints of malaise, dizziness, nausea, vomiting and muscle weakness after exposure insecticide in the hazelnut garden. No concomitant medications, drugs or alcohol were recorded. His past medical history displays hypertension, but he did not use his medications regularly. His symptoms did not show salivation, sweating, bronchospasm, ocular or skin irritation. Physical examination did not display any significant characteristic either. Admission blood pressure was 140/80 mmHg, Q2Sat: %98, body heat: 36.5°C. His pupils were symmetric and 4 mm in diameter and reacted appropriately to light. Patient was conscious but prone to sleep. Glasgow score was 14/15. Electrocardiograms showed episodes of atrioventricular block, accelerated nodal rhythm, ventricular premature complexes (bigeminy and trigeminy), a normal axis, a PR interval of 142 ms, a QRS duration of 82 ms and a prolonged QTc interval of 451 ms. Atropine (1 mg intravenously) and pralidoxime (1 gr intravenously) were administered. Further work up demonstrated hyperglycemia (196 mmol/L) and leukocytosis (13.38/L). All other biochemical and hematologic values were within normal limits. Echocardiography showed normal left ventricular ejection fraction. The patient was transferred to the cardiac care unit for further monitoring. The patient's initial electrocardiogram changes resolved to normal sinus rhythm after 7 hours. The patient discharged from hospital without any complication after 3 days follow up.

Conclusion: Carbosulfan toxicity can cause significant cardiac arrhythmias including atrioventricular block and nodal rhythm. These abnormalities can occur in the absence of other systemic manifestations of cholinergic excess. Therefore, patients with suspected carbosulfan exposure should be monitored closely with an access to atropine and/or external pacing. Despite prior publications of carbosulfan toxicity after ingestion, inhalation route should not be overlooked as a potential cause of arrhythmia.



Electrocardiography on admission, showing episodes of atrioventricular block, accelerated nodal rhythm, ventricular premature complexes (bigeminy and trigeminy), a normal axis, a PR interval of 142 ms, a QRS duration of 82 ms and a prolonged QTc interval of 451 ms. Intermittent appear P waves (red arrows).

P-153

Parakardiyak kitleyi taklit eden karaciğerin sağlıklı sağ lobu: Bir idiyopatik sağ diafram paralizisi olgusu

Osman Turak, Fırat Özcan, Erdoğan Sökmen, Ahmet İşleyen, Sinan Aydoğdu

Türkiye Yüksek İhtisas Eğitim ve Araştırma Hastanesi, Kardiyoloji Kliniği, Ankara

P-153

The healthy right lobe of liver mimicking a paracardiac mass: a case of idiopathic right diaphragm paralysis

Osman Turak, Fırat Özcan, Erdoğan Sökmen, Ahmet İşleyen, Sinan Aydoğdu

Türkiye Yüksek İhtisas Education and Research Hospital, Department of Cardiology

A 51-year-old previously healthy woman had been suffering from exertional dyspnea for months. Physical examination was normal and electrocardiography revealed sinus rhythm. The results of hemogram and biochemical tests were all within normal limits. The chest radiograph depicted an elevated right hemidiaphragm (Figure 1). Two-dimensional transthoracic echocardiography showed 7, 0 x 7, 5 cm a paracardiac solid-looking mass. The mass, characterized by a regular border, was positioned adjacent to the right atrium (Figure 2). The right atrium was being impinged on by the mass during both systole and diastole. Based on the aforementioned echocardiographic findings, a provisional diagnosis was made, stating the mass lesion was likely to be a paracardiac neoplastic mass. Therefore, both thoracic and abdominal CT examinations were implemented in an attempt to evaluate comprehensively the mass itself, along with an anticipated diaphragmatic paralysis. The abdominal CT examination was unremarkable, whereas the thoracic CT examination revealed that it had actually been the right hepatic lobe itself which had brought about the right atrial collapse and had been simulating a mass in the near vicinity of the right atrium owing to the idiopathic diaphragmatic paralysis (Figure 3). Despite their asymptomatic courses in general, unilateral diaphragmatic paralyses may rarely cause exertional dyspnea as well. They commonly show up incidentally as diaphragmatic elevations in plain chest x-rays and barely provide echocardiographic clues; however, their echocardiographic emergence as a mass due to hepatic elevation, as occurred in our case, is also possible.



Figure 1. The chest radiograph showing elevated right hemidiaphragm

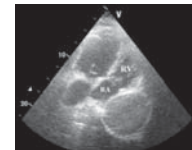


Figure 2. Transthoracic echocardiography revealed a paracardiac huge solid-looking mass.



Figure 3. The thoracic CT examination showed that the mass had actually been the right hepatic lobe itself

P-154

Tirozin kinaz inhibitörleri ile tedavi gören hastalarda konvansiyonel ve yeni ekokardiyografik parametreler ile sol ventrikül diyastolik fonksiyonlarının değerlendirilmesi

Yusuf İzzettin Alihanoğlu¹, Hatem Arı², Zeynettin Kaya³, Şükrü Karaarslan⁴, Bekir Serhat Yıldız⁵, İhsan Alur⁶, İsmail Doğu Kılıç⁷, Mehmet Yazıcı⁷, Kurtuluş Özdemir⁷, Mehmet Siddik Ülgen⁸

¹Pamukkale Üniversitesi Tip Fakültesi Kardiyoloji Anabilim Dalı, Denizli

²Konya Beyhekim Devlet Hastanesi, Kardiyoloji Kliniği, Konya

³Konya Numune Devlet Hastanesi, Kardiyoloji Kliniği, Konya

⁴Niğde Devlet Hastanesi, Kardiyoloji Kliniği, Niğde

⁵Denizli Devlet Hastanesi, Kardiyoloji Kliniği, Denizli

⁶Denizli Devlet Hastanesi, Kalpdamar Cerrahisi Kliniği, Denizli

⁷Meram Tip Fakültesi, Kardiyoloji Anabilim Dalı, Konya

⁸Dicle Üniversitesi Tip Fakültesi, Kardiyoloji Anabilim Dalı, Diyarbakır

P-154

Assessment of diastolic functions of left ventricle with conventional and recent echocardiographic parameters in patients treated with tyrosine kinase inhibitors

Yusuf İzzettin Alihanoğlu¹, Hatem Arı², Zeynettin Kaya³, Şükrü Karaarslan⁴, Bekir Serhat Yıldız⁵, İhsan Alur⁶, İsmail Doğu Kılıç⁷, Mehmet Yazıcı⁷, Kurtuluş Özdemir⁷, Mehmet Siddik Ülgen⁸

¹Department of Cardiology, Pamukkale University Faculty of Medicine, Denizli

²Department of Cardiology, Konya Beyhekim State Hospital, Konya

³Department of Cardiology, Konya Numune State Hospital, Konya

⁴Department of Cardiology, Niğde State Hospital, Niğde

⁵Department of Cardiology, Denizli State Hospital, Denizli

⁶Department of Cardiovascular Surgery, Denizli State Hospital, Denizli

⁷Department of Cardiology, Meram Faculty of Medicine, Konya

⁸Department of Cardiology, Dicle University Faculty of Medicine, Diyarbakır

Objective: The aim of this study is to determine possible cardiotoxicity that may happen during tyrosine kinase inhibitor therapy in an early phase in patients to be administered TKI treatment for the first time, as assessed by conventional and tissue Doppler imaging echocardiography. Therefore, we thought that we may provide adequate health care for preventing or treating this cardiotoxicity.

Material-Methods: Thirty consecutive patients (female-to-male ratio, 17:13; mean age, 49±16 years, median:52; minimum:22; maximum:76 years) who met the exclusion criterias and were diagnosed as having malignancies were enrolled in this study. All patients underwent conventional echocardiography and tissue Doppler imaging, a very accurate technique for detecting minimal changes in cardiac function, shortly before the treatment and after nearly 2 months while the therapy was going on. In addition, the myocardial performance index determined by conventional echocardiography and also TDI technique were used to evaluate left ventricular functions.

Results: When the diastolic dysfunction indicators were evaluated, there was a statistically significant prolongation only in the value of IRT measured by Doppler, however there were not statistically significant increase detected in E velocities, E/A rates and also E deceleration times. In addition, the time difference between atrial A wave and pulmonary vein reverse flow time (Ra), rates of Ps/Pd (pulmonary vein flow) velocities and also rates of E/Em were calculated as normal at the end of two months comparing to the basal measurements. There was a statistically significant decrease in the value of the Em/Am ratio of the anterior wall; however, no statistically significant difference was detected in the other three walls for this ratio. There were increases in the values of the Em/Am mean, E/Em mean, and DDMPi mean at the end of the two months of the treatment, but they were not statistically significant either. Although inferior wall DDMPi value was significantly increased, but no significant changes were observed in other MPI values obtained by both conventional and TDI methods.

Conclusions: MPI is a parameter that shows both the systolic and diastolic functions of LV together. It has been shown that MPI is well correlated with measures of invasive and noninvasive methods of LV function. Our data suggest that TKI therapy can be safely administered for a short treatment interval to the patients not having predisposing factors for cardiotoxicity such as coronary artery disease, hypertension, diabetes, and heart failure. However even in these patients, small molecule TKIs may cause subtle or clinically significant cardiotoxicity during a subsequent treatment period because of the fact that treatment duration can be longer than expected, so the clinicians should always take into consideration these possible clues and take measures to prevent this toxicity.

Table. Parameters obtained by conventional and tissue Doppler echocardiography before and after the treatment.

	Mean Before	Mean After	P-value
E velocity (cm/sec)	50.4±10.5	40.4±10.5	<0.05
E/A ratio	0.9±0.2	0.8±0.2	<0.05
E deceleration time (ms)	19.0±1.5	19.0±1.5	NS
Em velocity (cm/sec)	17.4±4.2	16.4±4.2	<0.05
Em/Am ratio	0.34±0.05	0.34±0.05	NS
Em/Am difference	-0.04±0.04	-0.04±0.04	NS
Em/Am ratio (mean)	0.34±0.04	0.34±0.04	NS
Em/Am ratio (SD)	0.04±0.02	0.04±0.02	NS
Lateral E/E' ratio	0.34±0.15	0.34±0.15	NS
Posterior E/E' ratio	0.34±0.15	0.34±0.15	NS
Inferior E/E' ratio	0.34±0.15	0.34±0.15	NS
Anterior E/E' ratio	0.34±0.15	0.34±0.15	NS
Em/Am ratio (mean)	0.34±0.04	0.34±0.04	NS
Em/Am ratio (SD)	0.04±0.02	0.04±0.02	NS
Em/Am ratio (range)	0.24-0.48	0.24-0.48	NS
Em/Am ratio (min-max)	0.24-0.48	0.24-0.48	NS
DDMPi (mean)	0.33±0.05	0.34±0.05	<0.05
DDMPi (SD)	0.04±0.02	0.04±0.02	NS
DDMPi (range)	0.24-0.48	0.24-0.48	NS
DDMPi (min-max)	0.24-0.48	0.24-0.48	NS

P value <0.05: Statistically significant
SD: Standard deviation, NS: Statistically not significant

Metabolik sendromlu hastalarda artmış aort sertliği koroner akım rezervini bozmaktadır

Derya Tok, İskender Kadife, Osman Turak, Fırat Özcan, Nurcan Başar, Kumral Çağlı, Ahmet İslényen, Sinan Aydoğdu

Ankara Türkiye Yüksek İhtisas Hastanesi, Kardiyoloji Bölümü, Ankara

Amaç: Metabolik sendrom kardiyovasküler olay riskini arturan bir durumdur. Transtorasik ekokardiyografi ile ölçülen koroner akım rezervi (KAR) koroner mikrovasküler endotel fonksiyon bozukluğunun göstergesidir. Arteriyel sertlik aort duvarının elastikyetini yansır ve kardiyovasküler hastalıklara bağlı mortalitenin bağımsız prediktörü olduğu çeşitli çalışmalarla gösterilmiştir. Çalışmamızda metabolik sendromlu hastalarda ekokardiyografi ile koroner akım rezervi ve aortik sertlik parametreleri arasındaki ilişki ve bunları etkileyen faktörler araştırılmıştır.

Metod: Çalışmaya ATP III kriterlerine göre metabolik sendrom tanısı alan ardışık 46 hasta (ortalama yaşı 47.3 ± 6.6) ve 44 kontrol (ortalama yaşı 44.0 ± 6.1) hastası aldı. PİK diyalistlik koroner akım, distal sol ön koroner arterden adenozin infüzyonu öncesi ve sonrasında transtorasik nabız dalga Doppler ile ölçüldü ve hipoperfemik pİK diyalistlik hızın başlangıç zirve diyalistolik hızı oranı KAR olarak kabul edildi. M-mode ekokardiyografi ile parasternal uzan eksen görüntülerinde çıkan orta sistolik ve diyalistolik çaplar ve eş zamanlı kan basıncı ölçüldü ve aortik strain, distensibilite ve sertlik indeksi hesaplandı.

Bulgular: Metabolik sendromlu hastalarda bel çevresi, total kolesterol, LDL, açlık kan şekeri, trigliseler, sistolik ve diyalostik kan basıncları ve CRP düzeyleri anlamlı olarak yüksekti (Tablo 1). Metabolik sendromlu hastalarda kontrol grubuna kıyasla KAR'ın anlamlı düşük (2.3 ± 0.2 'ye karşılık 2.7 ± 0.2 , $p < 0.001$), aortik distensibilite anlamlı düşük (10.4 ± 3.5 'e karşılık 12.7 ± 3.4 , $p = 0.002$), sertlik indeksi ise anlamlı yüksek saptandı (6.5 ± 2.0 'e karşılık 3.2 ± 0.8 , $p < 0.001$) (Tablo 2). Koroner akım rezervi ile sertlik indeksi arasında anlamlı negatif korelasyon bulundu ($r = -0.604$, $p < 0.001$). Çoklu değişken regresyon analizinde ise KAR düşüşünü öngören bağımsız etkenin sertlik indeksi olduğu gösterildi ($\beta = -0.602$, $p < 0.001$).

Sonuç: Metabolik sendromlu hastalarda erken atherosklerozun göstergesi olarak KAR'ı düşüktür. Aortik sertlik indeksinde artış olması KAR'indeki azalmaya, dolayısı ile mikrovasküler fonksiyon bozukluğuna önemli katkı sağlamaktadır.

Impaired coronary flow reserve is associated with increased aortic stiffness in patients with metabolic syndrome

Derya Tok, İskender Kadife, Osman Turak, Fırat Özcan, Nurcan Başar, Kumral Çağlı, Ahmet İslényen, Sinan Aydoğdu

Department of Cardiology, Ankara Türkiye Yüksek İhtisas Hospital, Ankara

Table 1. Hastaların bazal klinik ve laboratuvar bulguları

	Metabolik sendrom(n=46)	Kontrol(n=44)	p değeri
Yaş(yıl)	47.3±6.7	46.0±6.1	0.215
Cinsiyet Erkek	25 (%54.3)	18(%40.9)	0.214
Sigara içme	20(%43.5)	13(%29.5)	0.195
HT	29(%63.0)	0(%0)	<0.001
DM	3(%3.3)	0(%0)	0.242
BMI(kg/m2)	31.9±4.1	24.0±3.4	<0.001
Sistolik KB(mmHg)	131.4±15.3	110.0±10.6	<0.001
Diyalistik KB(mmHg)	74.6±10.8	68.4±7.5	0.002
Bel çevresi(cm)	107.1±8.7	84.9±8.7	<0.001
AKŞ(mg/dl)	106.1±18.3	90.0±7.8	<0.001
T.kol(mg/dl)	213.1±33.2	185.2±33.1	<0.001
LDL Kol(mg/dl)	127.7±35.7	114.2±26.6	0.046
HDL Kol(mg/dl)	37.7±8.3	53.1±10.6	<0.001
Triglisler(mg/dl)	243.6±64.3	95.8±32.7	<0.001
CRP(mg/L)	3.6±3.0	2.1±2.1	0.008
KAR	2.3±0.2	2.7±0.2	<0.001

HT: Hipertansiyon, DM: Diabetes mellitus, BMI: Vücut kitle indeksi, KB: Kan basıncı, AKŞ: Açlık kan şekeri, Kol: Kolesterol, KAR: Koroner akım rezervi

Table 2. Hastaların aortik sertlik parametrelerinin karşılaştırılması

Değişkenler	Metabolik sendrom n=46	Kontrol n=44	P değeri
Sistolik kan basıncı/mmHg	131.4±15.3	110.0±10.6	<0.001
Diyalistik kan basıncı/mmHg	74.6±10.8	68.4±7.5	0.002
AoSC, cm	3.4±0.23	3.28±0.31	0.035
AoDC, cm	3.12±0.23	2.90±0.31	<0.001
Aortik strain, %	10.5±2.9	12.1±5.1	0.08
Aortik distensibilite, cm ² .dyn-1.10-6	10.4±3.5	12.7±3.4	0.002
Aortik sertlik indeksi	6.5±2.0	3.2±0.8	<0.001

AoDC: Aortik diyalistik çap, AoSC: Aortik sistolik çap

Mitral darlıklı hastalarda sol atrial strain ölçümlerinin konvansiyonel darlık indeksleri ve mitral kapak rezistansı ile ilişkisi

Mustafa Kurt¹, İbrahim Halil Tanboga², Eyüp Büyükkaya¹, Mehmet Fatih Karakaş¹, Adnan Burak Akçay¹, Nihat Şen¹

¹Mustafa Kemal Üniversitesi Tip Fakültesi, Kardiyoloji Anabilim Dalı, Hatay

²Atatürk Üniversitesi Tip Fakültesi, Kardiyoloji Anabilim Dalı, Erzurum

Amaç: Mitral darlığında(MD), darlığın ciddiyeti arttıkça sol atriyal (SA) (SA) fonksiyonlarında bozukluk artmaktadır. Bazi çalışmalarında mitral kapak rezistansının (MKR) konvansiyonel indekslere (KI) göre MD hemodinamik etkilerini daha iyi gösterebileceği öne sürülmüştür. Bu nedenle biz bu çalışmada mitral darlığında speckle tracking ekokardiyografi ile değerlendirilen sol atriyal 2D strain ölçümlerinin MKR ve KI'ler ile ilişkisini değerlendirmeyi amaçladık.

Yöntem: Çalışma populasyonda 35 orta ve ileri MD (mitral kapak alanı <1.5 cm²) hastasından oluşmaktadır (yaş ortalaması 37.4±8.3, %67'si kadın). Tüm hastalar romatizmal MD'ydı. Diğer kapaklarda orta-ileri bozukluk olanlar, EF<%55 olanlar, orta-ileri sol ventrikül hipertrofisi, hipertansiyon ve diabeti olanlar çalışma dışı bırakıldı. Tüm hastalardan KI'lerden mitrak kapak alanı, maksimum ve ortalama gradiente, ayrıca MKR ölçüldü. Sol atrial strain apikal 4 boşlukta hesaplandı ve rezervuar fazdaki pik strain değeri ölçüldü.

Bulgular: Çalışmaya alınan 35 orta ve ileri MD hastasının ortalama MKR'ı 106 ± 45 , sol atriyal strain değeri de 15 ± 8 olarak ölçüldü. MKR ile sol atriyal strain arasında iyi derecede korelasyon saptanırken ($r = 0.547$, $p < 0.001$), MKA ile zayıf ($r = 0.212$, $p = 0.132$), maksimum gradiente ile zayıf ($r = 0.241$, $p = 0.10$), ortalama gradiente ile orta derecede korelasyon saptandı ($r = 0.345$, $p = 0.001$).

Sonuç: Mitral kapak rezistansı, konvansiyonel indekslere göre sol atriyal strain ölçümleri ile daha koraledir.

The relation of left atrial mechanics with conventional stenotic indices and mitral valve resistance in mitral stenosis patients

Mustafa Kurt¹, İbrahim Halil Tanboga², Eyüp Büyükkaya¹, Mehmet Fatih Karakaş¹, Adnan Burak Akçay¹, Nihat Şen¹

¹Department of Cardiology, Mustafa Kemal University Faculty of Medicine, Hatay

²Department of Cardiology, Atatürk University Faculty of Medicine, Erzurum

Kompanse ve dekompanse kalp yetmezliği olan hastaların sol ventrikül volüm ve fonksiyonlarının gerçek zamanlı üç boyutlu ekokardiyografi ile değerlendirilmesi

Erdal Aktürk¹, Ertuğrul Kurtoglu², Necip Ermis³, Julide Yağmur³, Nusret Açıkgöz³, Yasin Karakuş³, Hasan Pekdemir³, Ramazan Özdemir³

¹Adyaman Üniversitesi Tıp Fakültesi, Kardiyoloji Anabilim Dalı, Adyaman

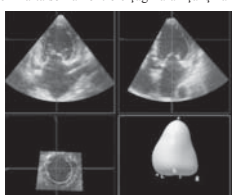
²Elaçığ Eğitim ve Araştırma Hastanesi, Kardiyoloji Servisi, Elaçığ

³İnönü Üniversitesi Tıp Fakültesi, Turgut Özal Tip Merkezi Kardiyoloji Anabilim Dalı, Malatya

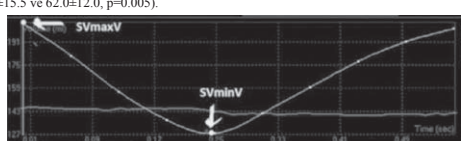
Amaç: Bu çalışmada, benzer tedaviler almazı ve aynı iki boyutlu ekokardiyografi (2BE) parametrelerine sahip olmayanlarla karşılaştırılmıştır. Bu çalışmada dekompanse KY ile takip edilen 36 hasta(24 erkek, 12 kadın; ort. yaşı 65.8±10.4 yıl) ve kompanse KY ile rutin takipleri yapılan 30 hasta(21 erkek, 9 kadın; ort. yaşı 63.2±11.5 yıl) alındı. Son tı ay içinde en az iki kez konjeyon bulguları ile gelen hastalar dekompanse KY olarak tanımlanıldı. Dekompanse KY ile gelen hastalar hastaneyeye yatırılmıştır. Çalışmaya alınan tüm hastaların pro-brain natriuretic peptide (pro-BNP) seviyeleri, böbrek fonksiyon testleri, elektrokardiogramları, tam kan sayımı için kanları alındı, fonksiyonel kapasitesi belirlendi ve ayrıntılı inceleme yapılıp 3BE kayıtları alındı.

Bulgular: Kalp hızı ve kan üre azotu dekompanse KY olan grupta daha fazla idi (95.8±21.4 vs 81.2±14.9, p<0.002; 28.3±15.7 vs 18±6.8, p=0.001, sırasıyla). Pro-BNP ve NYHA sınıfları dekompanse KY olan grupta anlamlı derecede yükseltti [4925(2199-8711) ve 330(197-756), p<0.0001, 2.25±0.6 ve 1.23±0.4, p<0.0001, sırasıyla]. 3BE parametreleri her iki grupta benzer olmasına karşın, 3BE değerlendirmesinde, ejeksiyon fraksiyonu dekompanse KY olan grupta daha düşük iken, sol ventrikül diastol sonu ve sistol sonu volümleri aynı grupta anlamlı derecede daha yükseltti (26.3±3.8 ve 30.3±4.0, 205.6±55.5 ve 145.0±33.7; 178.4±55.6 ve 115.7±32.5, hepsinde p<0.0001, sırasıyla), atım volüm ise kompanse KY olan grupta yükseltti (52.0±15.5 ve 62.0±12.0, p=0.005).

Sonuç: 3BE yöntemi kolay uygulanabilen ve 2BE değerlendirmesine göre birçok üstünlüğü olan, güvenilir, hastaya ilave yükler getirmeyen, ucuz ve tekrarlanabilen bir yöntem olması nedeni ile SV fonksiyonları düşük hastaların değerlendirmesinde kısa bir zaman ayırrarak SV volüm ve fonksiyonları hakkında daha güvenilir bilgiler alabileceğimizi düşündürmektedir.



Figür 1. Sol ventrikül sistol sonu ve diastol sonu endokardiyal sınırları



Figür 2. Yazılım programının otomatik olarak belirlediği sol ventrikül volum eğrisi SV_{maxV}; sol ventrikül max volümü, SV_{minV}; sol ventrikül min volümü, EDV; sol ventrikül diastol sonu volümü, ESV; sol ventrikül sistol sonu volümü, SV; Sistolik volüm, EF; ejeksiyon fraksiyonunu

Kronik kalp yetersizliği olan hastaların bir yıllık istenmeyen kardiyovasküler olaylarının tahmininde gama-glutamil transferaz enziminin rolü

Yasemin Kaya¹, Ahmet Kaya², İbrahim Halil Tanboğa³, Turgay Işık⁴, Mustafa Kurt⁵, Havva Yılmaz⁶, Selim Topçu³, Enbiya Aksakal³, Serdar Sevimli³

¹Ordu Devlet Hastanesi, Dahiliye Kliniği, Ordu

²Ordu Üniversitesi Tıp Fakültesi, Kardiyoloji Anabilim Dalı, Ordu

³Atatürk Üniversitesi Tıp Fakültesi, Kardiyoloji Anabilim Dalı, Erzurum

⁴Balıkesir Üniversitesi Tıp Fakültesi, Kardiyoloji Anabilim Dalı, Balıkesir

⁵Mustafa Kemal Üniversitesi Tıp Fakültesi, Kardiyoloji Anabilim Dalı, Hatay

⁶Erzurum Bölge Eğitim ve Araştırma Hastanesi, Dahiliye Kliniği, Erzurum

Amaç: Serum gama-glutamil transferaz (GGT) enziminin kardiyovasküler hastalıklar için prognostik önemini olduğu ve mortalite ile ilişkili olabileceği gösterilmiştir. Ancak, kalp yetersizliği ile ilgili kanıtlar azdır. Bu nedenle biz bu çalışmada, kronik kalp yetersizliği (KKY) olan hastalarda basal serum GGT düzeyleri ile bir yıllık istenmeyen kardiyovasküler olayların ilişkisini test etmeye çalıştık.

Yöntem: Çalışma popülasyonu 105 konjestif kalp yetersizliği hastasından oluşmaktadır. Bu hastaların çalışmaya dahil edilme kriteri olarak sol ventrikül ejeksiyon fraksiyonu <640 olarak belirlendi. Bu hastaların ilk çalışmaya dahil edildiği dönemde, serum GGT düzeyleri, risk faktörleri, hemogram, biyokimya parametreleri ve ayrıntılı transtorasik ekokardiyografileri yapıldı. Hastalar bir yıl boyunca takip edildi. Sonlanan noktaları olarak, herhangi bir nedene bağlı ölüm, inme, kötüleşen kalp yetersizliği nedeniley hastaneyeye yatış ve bunların sonlanması olarak tanımlanmıştır.

Bulgular: Çalışmaya toplam 105 hasta alındı (yaş ortalaması 65.9±10.9, %71.4 erkek). Bir yıllık takip süresince herhangi bir nedene bağlı ölüm, inme, kötüleşen kalp yetersizliği nedeniley hastaneyeye yatış ve bunların sonlanması oranları sırasıyla %9, %23, %9 ve %37.5 olarak bulundu. İstenmeyen kardiyak olayların geliştiği hasta grubundaki serum GGT seviyesi olmayanlara göre belirgin şekilde daha yüksek bulundu (59±60 a.karşı 29±13, p=0.01). Bununla birlikte Minesota kalp yetersizliği skoru, beyaz kire seviyesi, kan şekeri, pulmoner arter basıncı (PAB) ve serum kreatinin seviyesinde kardiyak olayların geliştiği hasta grubunda daha yüksek bulundu. Çok değişkenli lojistik regresyon analizinde serum GGT seviyesi (OR:1.04 %95 güven aralığı 1.00 – 1.06, p=0.05) ve PAB bir yıllık istenmeyen kardiyovasküler olaylar için bağımsız prediktör olarak tespit edildi.

Sonuç: KKY olan hastalarda bir yıllık istenmeyen kardiyovasküler olayların geliştiği grupta serum GGT düzeyleri gelişmeyenlere göre daha yüksek bulundu. KKY olan hastalarda serum GGT seviyeleri uzun dönem istenmeyen kardiyovasküler olayların tahmininde faydalı olabilecek non-invaziv bir test olabilir.

Assessment of left ventricular volume and functions by real-time three-dimensional echocardiography in patients with compensated and decompensated heart failure

Erdal Aktürk¹, Ertuğrul Kurtoglu², Necip Ermis³, Julide Yağmur³, Nusret Açıkgöz², Yasin Karakuş³, Hasan Pekdemir³, Ramazan Özdemir³

¹Department of Cardiology, Adyaman University Faculty of Medicine, Adyaman

²Department of Cardiology, Elaçığ Training and Research Hospital, Elaçığ

³Department of Cardiology, İnönü University Faculty of Medicine, Turgut Özal Medical Center, Malatya



Figür 1. Sol ventrikül sistol sonu ve diastol sonu endokardiyal sınırları



Figür 2. Yazılım programının otomatik olarak belirlediği sol ventrikül volum eğrisi SV_{maxV}; sol ventrikül max volümü, SV_{minV}; sol ventrikül min volümü, EDV; sol ventrikül diastol sonu volümü, ESV; sol ventrikül sistol sonu volümü, SV; Sistolik volüm, EF; ejeksiyon fraksiyonunu

The role of gamma-glutamyl transferase in prediction of one-year adverse cardiovascular outcomes in chronic heart failure patients

Yasemin Kaya¹, Ahmet Kaya², İbrahim Halil Tanboğa³, Turgay Işık⁴, Mustafa Kurt⁵, Havva Yılmaz⁶, Selim Topçu³, Enbiya Aksakal³, Serdar Sevimli³

¹Department of Internal Medicine, Ordu State Hospital, Ordu

²Department of Cardiology, Ordu University Faculty of Medicine, Ordu

³Department of Cardiology, Atatürk University Faculty of Medicine, Erzurum

⁴Department of Cardiology, Balıkesir University Faculty of Medicine, Balıkesir

⁵Department of Cardiology, Mustafa Kemal University Faculty of Medicine, Hatay

⁶Department of Internal Medicine, Erzurum Bölge Training and Research Hospital, Erzurum

Kronik hemodiyaliz uygulanan son dönemde böbrek yetmezliği hastalarında biventrikül miyokardiyal fonksiyon bozukluğu

Nurcan Arat¹, Emrah Ermis¹, Burcu Kurt¹, Suhayla Apaydin², Cavit Ciftci¹

¹İstanbul Bilim Üniversitesi Tıp Fakültesi, Kardiyoloji Anabilim Dalı, İstanbul

²İstanbul Bilim Üniversitesi Tıp Fakültesi, Nefroloji Anabilim Dalı, İstanbul

³İstanbul Bilim Üniversitesi Tıp Fakültesi, İç Hastalıkları Anabilim Dalı, İstanbul

Diyastolik disfonksiyon son dönemde böbrek yetmezliği (SDBY) olan hastalarda sol ventrikül (LV) hipertrofisi ve fibrozis denilebilir sık görülmektedir. Miyokardiyal fibrozis SDBY hastalarında özellikle hemodiyaliz uygulananlarda hipertansiyon, kardiyak basing ve hacim değişiklikleri, hiperparatiroidizm, toksik ve metabolik etkiler nedenileyi almıştır. Bu hastalarda özellikle sol ventriküler miyokardiyal yapısındaki değişiklikler ve fonksiyonları daha sıklıkla incelenmiş olup, bu etkenlerin sağ kalp fonksiyonları üzerine etkisi konusunda ise bilgiler yetersizdir.

Amaç: Klinik koroner ya da kapak patolojisi, akciğer hastalığı, pulmoner hipertansiyonu olanmayan SDBY hastalarında sol ventrikül fonksiyonları yanında, sağ ventrikül sistolik ve diyastolik fonksiyonlarının, volum değişikliklerinden görevce bağımsız yöntemlerle incelenmesi amaçlandı.

Yöntem: Çalışmaya kronik hemodiyaliz uygulanan SDBY olan 43 hasta (23 E/20 K) ve 35 sağlıklı kontrol (20 E/15 K) olgusu dahil edildi. Standart transtoraksik ekokardiyografik ölçümeler arasında PW doku Doppler ekokardiyografi ile LV mitral lateral anulus ve sağ ventrikül lateral duvar bazalinden alınan sistolik (Sma), erken diastolik (Em, Eta), gec diastolik (Am, Ata) miyokardiyal hızlar ölçüldü. Sağ ventrikül global sistolik ve diastolik fonksiyonlarının bileşik göstergesi olarak TEİ indeksi hesaplandı. Triküspid anüler plan sistolik hareketi (TAPSE) longitudinal sistolik fonksiyonun göstergesi olarak ölçüldü.

Bulgular: SDBY hastalarının %58,1'inde hipertansiyon bulumaktadır, sigara kullanımı ve abdominal obezite sıklığı kontrol grubuna göre daha fazla idi. (SDBH ve kontrol grubunda sırasıyla displipidemi %616 karşılık %28, p=0,0001), abdominal obezite %42 karşılık %26 (p=0,03), sigara kullanımı %19 karşılık %6, p=0,08). SDBY olan hastaların LV capları ve ejeksiyon fraksiyonları kontrol grubuya benzer ancak, LV duvar kalınlıkları ve sol atrium capları belirgin olarak artmış bulundu. SDBY hastalarında Sma, Em, Ata değerleri kontrol grubuna göre belirgin azalmıştır (p<0,001). (Tablo1). Sağ ventrikül sistolik capları normal sınırlar arasında olup, hasta grubundan TAPSE azalmış, TEİ indeksi artmış ve Em hızları azalmıştır (p=0,0001). (Tablo2).

Sonuç: Kronik hemodiyaliz tedavisindeki, bilinen kalp hastalığı olmayan SDBY hastalarında LV sistolik fonksiyonlarında kontrol grubuna göre belirgin bir farklılık izlenmemekten, sol ventrikül diastolik parametrelerindeki farklılıklar sol ventrikül hipertrofisi ile ilişkili görülmektedir. Ancak SDBY hastalarında sistolik dönemde sağ ventrikül hem sistolik hem de diastolik fonksiyonlarında bozulma izlenmemiştir. Belirgin volum yükü olmaksızın sistolik ve diastolik fonksiyonlarda bozukluklar izlenmemesi SDBH'da ortaya çıkan miyokardiyal değişiklikler nedenileyi ve önceki hazi klinik çalışmalarında da dikkat çeken miyokardiyal fibrozis bir göstergesi olabilir. Çalışmamızın bulgularına göre bu olası miyokardiyal patoloji, sadece sol ventrikülü değil sağ ventrikülü de tutmaktadır.

Prostetik mitral kapak ayrılması saptanmasında üç boyutlu ekokardiyografinin değeri

Sait Demirkol, Sevket Balta, Murat Unlu, Zekeriya Arslan, Turgay Celik, Atilla İyisoy, Salim Yasar

Gülhane Tıp Akademisi, Kardiyoloji Anabilim Dalı, Ankara

Biventricular myocardial dysfunction in patients with end stage chronic renal failure undergoing hemodialysis

Nurcan Arat¹, Emrah Ermis¹, Burcu Kurt¹, Suhayla Apaydin², Cavit Ciftci¹

¹Department of Cardiology, İstanbul Bilim University Faculty of Medicine, İstanbul

²Department of Nephrology, İstanbul Bilim Üniversitesi Tıp Fakültesi, İstanbul

³Department of Internal Medicine, İstanbul Bilim Üniversitesi Tıp Fakültesi, İstanbul

Tablo 1. Sol ventrikül fonksiyonları

	Kontrol Grubu N=35	SDBY hastaları N=45	p
Sol atrium çapı (cm)	3,69±0,18	3,85±0,44	0,042
Em %	62,94±1,8	63,04±7,7	0,938
UVDS ^c (cm)	4,74±0,35	4,54±0,50	0,061
UVSS ^c (cm)	3,14±0,28	3,04±0,62	0,167
IVS (cm)	0,96±0,10	1,25±0,54	0,003
Arka duvar (cm)	0,92±0,75	1,10±0,19	0,0001
LASC ^c (cm)	3,74±0,18	3,84±0,44	0,042
E delgisi (cm/s)	0,7940,14	0,7640,22	0,94
E delgisi (cm/s)	0,6040,11	0,9140,20	0,0001
E/A	1,29±0,23	0,96±0,92	0,031
DZ (mm)	171,1±18,49	217,2±60,2	0,0001
IVRZ (mm)	81,34±10,69	106,5±23,6	0,0001
Sma (cm/s)	11,84±2,47	7,74±2,60	0,0001
E ma (cm/s)	14,04±3,23	9,4±3,24	0,0001
A ma (cm/s)	10,64±2,9	8,1±2,46	0,0001
E/fm	5,9±1,64	9,0±3,41	0,0001

Ana: mitral amplitüs gec diastolik miyokardiyal hızı, Dz: dizeselasyon zamanı, Em: mitral amplitüs erken diastolik miyokardiyal hızı, IVRZ: isovolumik relaxasyon zamanı, IVS: interventrüküler septum kalınlığı, LVS^c: sol ventrikül diastol sonu çapı, UVSS^c: sol ventrikül sistol sonu çapı, LASC^c: sol atrium sistol çapı, Sma: mitral analüs sistolik miyokardiyal hızı,

Tablo 2. Sağ ventrikül fonksiyonları

	Kontrol Grubu N=35	SDBY hastaları N=45	p
Sağ ventrikül sistolik çapı (cm)	2,44±0,11	2,64±0,39	0,0001
sPAB ^c (mm)	32,6±3,5	35,4±6,4	0,026
Sra (cm/s)	13,94±1,07	13,44±0,04	0,52
Ata (cm/s)	13,6±1,10	10,5±3,36	0,0001
Ala (cm/s)	14,44±6,65	16,64±5,02	0,42
IVKZ (mm)	49,2±7,81	82,4±32,47	0,0001
IVKZ (mm)	50,0±8,6	65,6±20,95	0,0001
TEI (mm)	310,7±33,7	282,6±34,3	0,0001
TEI (INDeks)	0,310±0,27	0,52±0,15	0,0001
TAPSE (cm)	2,48±0,25	2,09±0,32	0,0001

Ana: sağ ventrikül gec miyokardiyal hızı, Eta: sağ ventrikül erken diastolik miyokardiyal hızı, IVKZ: isovolumik kontraksiyon zamanı, IVRZ: isovolumik relaxasyon zamanı, sPAB: sistolik pulmoner arter basıncı, Sra: sağ ventrikül sistolik miyokardiyal hızı,

The value of three dimensional echocardiography on detection of prosthetic mitral valve dehiscence

Sait Demirkol, Sevket Balta, Murat Unlu, Zekeriya Arslan, Turgay Celik, Atilla İyisoy, Salim Yasar

Gülhane Medical Faculty, Department of Cardiology, Ankara

A 45-year-old female patient applied to our clinic with decompensated heart failure. She underwent mitral valve replacement (MVR) five years ago. After surgery, paravalvular mitral leak repair was performed two times. Physical examination revealed bilateral inspiratory rales, jugular venous distension, S3 gallop and peripheral edema. The 12-lead electrocardiogram showed sinus tachycardia. Two dimensional transthoracic echocardiography (2D TTE) revealed severe mitral regurgitation. Two dimensional transesophageal echocardiography (2D TEE) displayed severe paravalvular leak (Figure 1A). For further evaluation of this pathology, we applied three-dimensional transesophageal echocardiography (3D TEE). Real time 3D TEE zoom acquisitions revealed displacement of the sewing ring over half of the annular ring (Figure 1B, arrows). Full volume colour 3D TEE demonstrated an eccentric, severe paravalvular mitral regurgitation jet (Figure 1C). This case emphasizes the role of 3D TEE in patients with paravalvular mitral regurgitation, which enables us to determine an excellent anatomic identification of the width of dehiscence as well as the number of such defects and may facilitate decision-making whether the patient should undergo surgical intervention or percutaneous transcatheter device closure procedures. The patient underwent successful mitral valve replacement because the dehiscence was large and inappropriate for percutaneous closure.



Figure 1. Two dimensional transesophageal echocardiography showing severe paravalvular leak (Figure 1A), real time 3D TEE zoom acquisitions revealed displacement of the sewing ring over half of the annular ring (Figure 1B, arrows) and full volume colour 3D TEE demonstrated an eccentric, severe paravalvular mitral regurgitation jet (Figure 1C).

P-161

Kalp yetersizlikli hastalarda NT-PRO-BNP düzeyleri ile sol atriyal hacim indeksi ve sol ventrikül dolum basınçlarının tahmininde kullanılan Doppler parametreleri arasındaki ilişki

Atakan Yancoğlu¹, Aytül Belgi Yıldırım¹, Refik Emre Altekin¹, Murathan Küçük¹, İbrahim Başarıcı¹, Mustafa Serkan Karakaş², Barış Akdemir¹, Mustafa Uçar¹, Can Ramazan Öncel¹, Erhan Kaya¹, Cengiz ErmİŞ¹, Ali Selim Yalçınkaya¹, İbrahim Demir¹

¹Akdeniz Üniversitesi Tip Fakültesi, Kardiyoloji Anabilim Dalı, Antalya

²Niğde Devlet Hastanesi, Kardiyoloji Kliniği, Niğde

Amaç: Bu çalışmada, sol ventrikül ejeksiyon fraksiyonu %40 ve altında bulunan kalp yetersizliği olan hastalarda, konvansiyonel, Doppler ve doku Doppler ekokardiyografik parametreler ile bu hastaların NT-pro-BNP düzeyleri arasında ilişkiler saptanmaya çalışılmıştır.

Yöntem-Gereçler: Çalışmaya klinigimize ayakta başvuruda bulunan, atriyal fibrillasyonu, ciddi kapak hastalığı ve kronik böbrek yetmezliği bulumayan, %40 ve altında ejeksiyon fraksiyonu bulunan, kalp yetersizlikli (iskevik ve iskevik olmayan etyolojili) 50 hasta dahil edildi. Hastaların ekokardiyografik incelemlerini takiben NT-pro-BNP düzeyleri belirlendi. Hastaların konvansiyonel, Doppler ve doku Doppler ekokardiyografik parametreleri hesaplandı. Hastaların tahmini sol ventrikül dolum basınç tahminleri için, mitral E/ortalama Em (E/Em-ort) ve mitral E/ortalama Em X ortalama Sm (E/Em X Sm) kullanıldı. Veriler toplanıktan sonra "SPSS 15.0 for Windows" ve "MedCalc 11.0.4" programlarında istatistiksel analizler uygulandı.

Bulgular: Hastaların bi-plan Simpson yöntemi ile hesaplanan diastol sonu hacimleri ortalaması (BP-LVDV) $173,40 \pm 55,64$ ml, ejeksiyon fraksiyonları ortalaması (BP-LVEF) $%28,78 \pm 6,0$, sol atriyal hacim indeksleri (LAVI) $45,59 \pm 18,43$ ml/m², ortalama E/Em-ort $19,58 \pm 8,22$, ortalama E/(Em X Sm) $506,64 \pm 274,2$ olarak hesaplandı. Hastaların NT-pro-BNP ortalaması $2876,3 \pm 3535,4$ pg/ml (ortanca 1312,5 pg/ml) olarak bulundu. NT-pro-BNP düzeyleri ile bu parametreler arasında ilişkiler değerlendirildiğinde, BP-LVDV ile orta düzeyde, BP-LVEF ile zayıf düzeyde ilişkili tespit edildi (sırasıyla, Spearman's rho: 0,422 ve -0,358). LAVI ile NT-pro-BNP düzeyleri arasında orta düzeyde ilişkili tespit edildi (Spearman's rho: 0,688). Sol ventriküle diastol sonu basınç tahmininde kullanılan parametreler ile NT-pro-BNP düzeyleri arasında orta düzeyde ilişkiler saptandı (E/Em-ort için ve E/(Em X Sm) için sırasıyla, Spearman's rho: 0,687 ve 0,715). NT-pro-BNP düzeylerinin 900 pg/ml üzerinde olmasının tahmininde E/Em-ort ve E/(Em X Sm) parametrelerinin duyarlılıklarını benzer ve LAVI'den yüksek olduğu, ancak LAVI'nın daha iyi özgünlüğü sahip olduğu görüldü (her bir parametre için 900 pg/ml üzeri NT-pro-BNP düzeylerinin tahmininde anlamlı olan değerler sırasıyla, LAVI $>45,17$ ml/m², E/Em-ort $>14,83$ ve E/(Em X Sm) >296 ; her bir parametre için duyarlılık, özgünlük ve eğri altında kalan alanlar (EAA) sırasıyla LAVI için %68,75, %88,89 ve 0,839, p <0,0001; E/Em-ort için %90,62, %77,78 ve 0,880, p<0,0001; E/(Em X Sm) için %93,75, %77,78 ve 0,898, p<0,0001). Ancak her bir testin 900 pg/ml üzerinde olan NT-pro-BNP düzeylerinin tahmin edilmesinde ROC analizinde saptanılan EAA'lar arasında fark saptanmadı (EAA'lar arası farklılık için p>0,05).

Sonuç: Sol kalp yetersizliği olan hastalarda, LAVI, E/Em-ort ve E/(Em X Sm) parametrelerinin miyokardiyal duvar geriliminin bir göstergesi olarak NT-pro-BNP düzeyleri ile daha yakın ilişki içerisinde olduğu görülmüştür.

Tablo 1. Konvansiyonel doppler ve doku ekokardiyografi ile degerlendirilen sağ ventrikül sistolik ve diastolik fonksiyonları

Parametre	Değer	Duyarlılık (%)	Çözgünlük (%)	EAA	P değeri
E/(Em X Sm)	>296	93,75	77,78	0,898	<0,0001
E/Em-ort	>14,83	90,62	77,78	0,880	<0,0001
LAVI (ml/m ²)	>45,17	68,75	88,89	0,839	<0,0001

EAA: eğri altında kalan alan

P-162

Sklerodermal hastalarda kalbin global fonksiyonlarının doku Doppler ekokardiyografi ve miyokard performans indeksi ile değerlendirilmesi

Demet Menekşe Gerede, Sibel Turhan, Refika Hürål, Özgür Ulaş Özcan, Çetin Erol

Ankara Üniversitesi Tip Fakültesi, Kardiyoloji Anabilim Dalı, Ankara

Amaç: Skleroderma, deride fibrozis, yaygın vasküler lezyonlar ve çeşitli organların tutulumu ile seyreder bir bağı dokusunu hastalığın Kardiyal tutulumun olmasının kötü прогнозlu ilişkili olup, erken belirlenmesi uygun tedavinin düzenlenmesine ve gereklili önləmelerin alınması açısından önemlidir.

Materyal-Metod: Bu çalışmada 31 sklerodermal ve 21 sağlıklı kontrol grubunda sağ ve sol ventrikül fonksiyonları; konvansiyonel ekokardiyografi, doku doppler ekokardiyografi ve miyokard performans indeksi kullanılarak değerlendirildi. Miyokardiyal sistolik dalga(S), izovolumetrik akselerasyon (IVA) değeri, ejeksiyon zamanı (EZ) ve izovolumetrik kontraksiyon zamanı (IVKZ) sistolik fonksiyonları değerlendirilmek için ölçüldü. Erken diastolik (E ve E') ve geç diastolik (A ve A') dalgaları, E/A ve E'/A' oranları, izovolumetrik relaksasyon zamanı (IVRZ), deselerasyon zamanı (DZ) ise diastolik fonksiyonları değerlendirilmek için ölçüldü.

Bulgular: Çalışmamızda mitral S dalgası, her iki ventriküle ait ejeksiyon zamanları, sağ ventriküle ait IVA değeri, mitral ve trikuspit E/A-E'/A' oranları, mitral ve trikuspit E' ölümleri sklerodermal hasta grubunda kontrol grubuna göre anlamlı şekilde daha düşüktür(p<0,0001). Trikuspit S dalgası, sol ventrikül IVA değerleri de sklerodermal hasta grubunda anlamlı şekilde daha düşük saptandı (p<0,05). Mital DZ, her iki ventriküle ait miyokardiyal RZ değerleri ile mitral IVKZ ise sklerodermal hastalarda anlamlı olarak da yüksektir (p<0,0001). Bunlara ek olarak kontrol grubu ile kıyaslandığında sağ ventrikül miyokard performans indeksi sklerodermal hasta grubunda anlamlı şekilde yüksek ölçüldü (p<0,0001), ayrıca sol ventriküle ait miyokard performans indeksi de sklerodermal hasta grubunda artmıştır(p<0,0001).

Sonuç: Çalışmamızda sklerodermal hastalarda global olarak sol ve sağ ventrikül fonksiyonları deprese bulmuştur ve diastolik ve sistolik fonksiyon bozuklukları her iki ventrikülde görülmüştür.

Tablo 1. Konvansiyonel doppler ve doku ekokardiyografi ile degerlendirilen sağ ventrikül sistolik ve diastolik fonksiyonları

	Sklerodermal (n=31)	İzolümlü (n=21)	p-değeri
Ejeksiyon zamanı (ms)	219,61 ± 40,84	189,19 ± 32,07	<0,0001
Ejeksiyon hızı (ms/m)	15,94 ± 3,22	14,94 ± 2,29	<0,0001
E/A ratio	1,20 ± 0,4	1,3 ± 0,5	<0,0001
Deselerasyon zamanı(ms)	231,70 ± 20,64 ± 0,214	194,18 ± 18,42 ± 0,214	<0,0001
E/A'ratio	1,04 ± 0,12	1,04 ± 0,12	0,999
E/A'ratio(ms)	1,04 ± 0,12	1,04 ± 0,12	0,999
E/A'ratio(ms/m)	1,04 ± 0,12	1,04 ± 0,12	0,999
E/A'ratio(ms/m²)	1,04 ± 0,12	1,04 ± 0,12	0,999
E/A'ratio(ms²/m)	1,04 ± 0,12	1,04 ± 0,12	0,999
E/A'ratio(ms²/m²)	1,04 ± 0,12	1,04 ± 0,12	0,999
E/A'ratio(ms³/m³)	1,04 ± 0,12	1,04 ± 0,12	0,999
E/A'ratio(ms⁴/m⁴)	1,04 ± 0,12	1,04 ± 0,12	0,999
E/A'ratio(ms⁵/m⁵)	1,04 ± 0,12	1,04 ± 0,12	0,999
E/A'ratio(ms⁶/m⁶)	1,04 ± 0,12	1,04 ± 0,12	0,999
E/A'ratio(ms⁷/m⁷)	1,04 ± 0,12	1,04 ± 0,12	0,999
E/A'ratio(ms⁸/m⁸)	1,04 ± 0,12	1,04 ± 0,12	0,999
E/A'ratio(ms⁹/m⁹)	1,04 ± 0,12	1,04 ± 0,12	0,999
E/A'ratio(ms¹⁰/m¹⁰)	1,04 ± 0,12	1,04 ± 0,12	0,999
E/A'ratio(ms¹¹/m¹¹)	1,04 ± 0,12	1,04 ± 0,12	0,999
E/A'ratio(ms¹²/m¹²)	1,04 ± 0,12	1,04 ± 0,12	0,999
E/A'ratio(ms¹³/m¹³)	1,04 ± 0,12	1,04 ± 0,12	0,999
E/A'ratio(ms¹⁴/m¹⁴)	1,04 ± 0,12	1,04 ± 0,12	0,999
E/A'ratio(ms¹⁵/m¹⁵)	1,04 ± 0,12	1,04 ± 0,12	0,999
E/A'ratio(ms¹⁶/m¹⁶)	1,04 ± 0,12	1,04 ± 0,12	0,999
E/A'ratio(ms¹⁷/m¹⁷)	1,04 ± 0,12	1,04 ± 0,12	0,999
E/A'ratio(ms¹⁸/m¹⁸)	1,04 ± 0,12	1,04 ± 0,12	0,999
E/A'ratio(ms¹⁹/m¹⁹)	1,04 ± 0,12	1,04 ± 0,12	0,999
E/A'ratio(ms¹¹⁹/m¹¹⁹)	1,04 ± 0,12	1,04 ± 0,12	0,999
E/A'ratio(ms¹¹⁸/m¹¹⁸)	1,04 ± 0,12	1,04 ± 0,12	0,999
E/A'ratio(ms¹¹⁷/m¹¹⁷)	1,04 ± 0,12	1,04 ± 0,12	0,999
E/A'ratio(ms¹¹⁶/m¹¹⁶)	1,04 ± 0,12	1,04 ± 0,12	0,999
E/A'ratio(ms¹¹⁵/m¹¹⁵)	1,04 ± 0,12	1,04 ± 0,12	0,999
E/A'ratio(ms¹¹⁴/m¹¹⁴)	1,04 ± 0,12	1,04 ± 0,12	0,999
E/A'ratio(ms¹¹³/m¹¹³)	1,04 ± 0,12	1,04 ± 0,12	0,999
E/A'ratio(ms¹¹²/m¹¹²)	1,04 ± 0,12	1,04 ± 0,12	0,999
E/A'ratio(ms¹¹¹/m¹¹¹)	1,04 ± 0,12	1,04 ± 0,12	0,999
E/A'ratio(ms¹¹⁰/m¹¹⁰)	1,04 ± 0,12	1,04 ± 0,12	0,999
E/A'ratio(ms¹¹⁹¹/m¹¹⁹¹)	1,04 ± 0,12	1,04 ± 0,12	0,999
E/A'ratio(ms¹¹⁸¹/m¹¹⁸¹)	1,04 ± 0,12	1,04 ± 0,12	0,999
E/A'ratio(ms¹¹⁷¹/m¹¹⁷¹)	1,04 ± 0,12	1,04 ± 0,12	0,999
E/A'ratio(ms¹¹⁶¹/m¹¹⁶¹)	1,04 ± 0,12	1,04 ± 0,12	0,999
E/A'ratio(ms¹¹⁵¹/m¹¹⁵¹)	1,04 ± 0,12	1,04 ± 0,12	0,999
E/A'ratio(ms¹¹⁴¹/m¹¹⁴¹)	1,04 ± 0,12	1,04 ± 0,12	0,999
E/A'ratio(ms¹¹³¹/m¹¹³¹)	1,04 ± 0,12	1,04 ± 0,12	0,999
E/A'ratio(ms¹¹²¹/m¹¹²¹)	1,04 ± 0,12	1,04 ± 0,12	0,999
E/A'ratio(ms¹¹¹¹/m¹¹¹¹)	1,04 ± 0,12	1,04 ± 0,12	0,999
E/A'ratio(ms¹¹⁰¹/m¹¹⁰¹)	1,04 ± 0,12	1,04 ± 0,12	0,999
E/A'ratio(ms¹¹⁹²/m¹¹⁹²)	1,04 ± 0,12	1,04 ± 0,12	0,999
E/A'ratio(ms¹¹⁸²/m¹¹⁸²)	1,04 ± 0,12	1,04 ± 0,12	0,999
E/A'ratio(ms¹¹⁷²/m¹¹⁷²)	1,04 ± 0,12	1,04 ± 0,12	0,999
E/A'ratio(ms¹¹⁶²/m¹¹⁶²)	1,04 ± 0,12	1,04 ± 0,12	0,999
E/A'ratio(ms¹¹⁵²/m¹¹⁵²)	1,04 ± 0,12	1,04 ± 0,12	0,999
E/A'ratio(ms¹¹⁴²/m¹¹⁴²)	1,04 ± 0,12	1,04 ± 0,12	0,999
E/A'ratio(ms¹¹³²/m¹¹³²)	1,04 ± 0,12	1,04 ± 0,12	0,999
E/A'ratio(ms¹¹²²/m¹¹²²)	1,04 ± 0,12	1,04 ± 0,12	0,999
E/A'ratio(ms¹¹¹²/m¹¹¹²)	1,04 ± 0,12	1,04 ± 0,12	0,999
E/A'ratio(ms¹¹⁰²/m¹¹⁰²)	1,04 ± 0,12	1,04 ± 0,12	0,999
E/A'ratio(ms¹¹⁹³/m¹¹⁹³)	1,04 ± 0,12	1,04 ± 0,12	0,999
E/A'ratio(ms¹¹⁸³/m¹¹⁸³)	1,04 ± 0,12	1,04 ± 0,12	0,999
E/A'ratio(ms¹¹⁷³/m¹¹⁷³)	1,04 ± 0,12	1,04 ± 0,12	0,999
E/A'ratio(ms¹¹⁶³/m¹¹⁶³)	1,04 ± 0,12	1,04 ± 0,12	0,999
E/A'ratio(ms¹¹⁵³/m¹¹⁵³)	1,04 ± 0,12	1,04 ± 0,12	0,999
E/A'ratio(ms¹¹⁴³/m¹¹⁴³)	1,04 ± 0,12	1,04 ± 0,12	0,999
E/A'ratio(ms¹¹³³/m¹¹³³)	1,04 ± 0,12	1,04 ± 0,12	0,999
E/A'ratio(ms¹¹²³/m¹¹²³)	1,04 ± 0,12	1,04 ± 0,12	0,999
E/A'ratio(ms¹¹¹³/m¹¹¹³)	1,04 ± 0,12	1,04 ± 0,12	0,999
E/A'ratio(ms¹¹⁰³/m¹¹⁰³)	1,04 ± 0,12	1,04 ± 0,12	0,999
E/A'ratio(ms¹¹⁹⁴/m¹¹⁹⁴)	1,04 ± 0,12	1,04 ± 0,12	0,999
E/A'ratio(ms¹¹⁸⁴/m¹¹⁸⁴)	1,04 ± 0,12	1,04 ± 0,12	0,999
E/A'ratio(ms¹¹⁷⁴/m¹¹⁷⁴)	1,04 ± 0,12	1,04 ± 0,12	0,999
E/A'ratio(ms¹¹⁶⁴/m¹¹⁶⁴)	1,04 ± 0,12	1,04 ± 0,12	0,999
E/A'ratio(ms¹¹⁵⁴/m¹¹⁵⁴)	1,04 ± 0,12	1,04 ± 0,12	0,999
E/A'ratio(ms¹¹⁴⁴/m¹¹⁴⁴)	1,04 ± 0,12	1,04 ± 0,12	0,999
E/A'ratio(ms¹¹³⁴/m¹¹³⁴)	1,04 ± 0,12	1,04 ± 0,12	0,999
E/A'ratio(ms¹¹²⁴/m¹¹²⁴)	1,04 ± 0,12	1,04 ± 0,12	0,999
E/A'ratio(ms¹¹¹⁴/m¹¹¹⁴)	1,04 ± 0,12	1,04 ± 0,12	0,999
E/A'ratio(ms¹¹⁰⁴/m¹¹⁰⁴)	1,04 ± 0,12	1,04 ± 0,12	0,999
E/A'ratio(ms¹¹⁹⁵/m¹¹⁹⁵)	1,04 ± 0,12	1,04 ± 0,12	0,999
E/A'ratio(ms¹¹⁸⁵/m¹¹⁸⁵)	1,04 ± 0,12	1,04 ± 0,12	0,999
E/A'ratio(ms¹¹⁷⁵/m¹¹⁷⁵)	1,04 ± 0,12	1,04 ± 0,12	0,999
E/A'ratio(ms¹¹⁶⁵/m¹¹⁶⁵)	1,04 ± 0,12	1,04 ± 0,12	0,999
E/A'ratio(ms¹¹⁵⁵/m¹¹⁵⁵)	1,04 ± 0,12	1,04 ± 0,12	0,999
E/A'ratio(ms¹¹⁴⁵/m¹¹⁴⁵)	1,04 ± 0,12	1,04 ± 0,12	0,999
E/A'ratio(ms¹¹³⁵/m¹¹³⁵)	1,04 ± 0,12	1,04 ± 0,12	0,999
E/A'ratio(ms¹¹²⁵/m¹¹²⁵)	1,04 ± 0,12	1,04 ± 0,12	0,999
E/A'ratio(ms¹¹¹⁵/m¹¹¹⁵)	1,04 ± 0,12	1,04 ± 0,12	0,999
E/A'ratio(ms¹¹⁰⁵/m¹¹⁰⁵)	1,04 ± 0,12	1,04 ± 0,12	0,999
E/A'ratio(ms¹¹⁹⁶/m¹¹⁹⁶)	1,04 ± 0,12	1,04 ± 0,12	0,999
E/A'ratio(ms¹¹⁸⁶/m¹¹⁸⁶)	1,04 ± 0,12	1,04 ± 0,12	0,999
E/A'ratio(ms¹¹⁷⁶/m¹¹⁷⁶)	1,04 ± 0,12	1,04 ± 0,12	0,999
E/A'ratio(ms¹¹⁶⁶/m¹¹⁶⁶)	1,04 ± 0,12	1,04 ± 0,12	0,999
E/A'ratio(ms¹¹⁵⁶/m¹¹⁵⁶)	1,04 ± 0,12	1,04 ± 0,12	0,999
E/A'ratio(ms¹¹⁴⁶/m¹¹⁴⁶)	1,04 ± 0,12	1,04 ± 0,12	0,999
E/A'ratio(ms¹¹³⁶/m¹¹³⁶)	1,04 ± 0,12	1,04 ± 0,12	0,999
E/A'ratio(ms¹¹²⁶/m¹¹²⁶)	1,04 ± 0,12	1,04 ± 0,12	0,999
E/A'ratio(ms¹¹¹⁶/m¹¹¹⁶)	1,04 ± 0,12	1,04 ± 0,12	0,999
E/A'ratio(ms¹¹⁰⁶/m¹¹⁰⁶)	1,04 ± 0,12	1,04 ± 0,12	0,999
E/A'ratio(ms¹¹⁹⁷/m¹¹⁹⁷)	1,04 ± 0,12	1,04 ± 0,12	0,999
E/A'ratio(ms¹¹⁸⁷/m¹¹⁸⁷)	1,04 ± 0,12	1,04 ± 0,12	0,999
E/A'ratio(ms¹¹⁷⁷/m¹¹⁷⁷)	1,04 ± 0,12	1,04 ± 0,12	0,999
E/A'ratio(ms¹¹⁶⁷/m¹¹⁶⁷)	1,04 ± 0,12	1,04 ± 0,12	0,999
E/A'ratio(ms¹¹⁵⁷/m¹¹⁵⁷)	1,04 ± 0,12	1,04 ± 0,12	0,999
E/A'ratio(ms¹¹⁴⁷/m¹¹⁴⁷)	1,04 ± 0,12	1,04 ± 0,12	0,999
E/A'ratio(ms¹¹³⁷/m¹¹³⁷)	1,04 ± 0,12	1,04 ± 0,12	0,999
E/A'ratio(ms¹¹²⁷/m¹¹²⁷)	1,04 ± 0,12	1,04 ± 0,12	0,999
E/A'ratio(ms¹¹¹⁷/m¹¹¹⁷)	1,04 ± 0,12	1,04 ± 0,12	0,999
E/A'ratio(ms¹¹⁰⁷/m¹¹⁰⁷)	1,04 ± 0,12	1,04 ± 0,12	0,999
E/A'ratio(ms¹¹⁹⁸/m¹¹⁹⁸)	1,04 ± 0,12	1,04 ± 0,12	0,999
E/A'ratio(ms¹¹⁸⁸/m¹¹⁸⁸)	1,04 ± 0,12	1,04 ± 0,12	0,999
E/A'ratio(ms¹¹⁷⁸/m¹¹⁷⁸)	1,04 ± 0,12	1,04 ± 0,12	0,999
E/A'ratio(ms¹¹⁶⁸/m¹¹⁶⁸)	1,04 ± 0,12	1,04 ± 0,12	0,999
E/A'ratio(ms¹¹⁵⁸/m¹¹⁵⁸)	1,04 ± 0,12	1,04 ± 0,12	0,999
E/A'ratio(ms¹¹⁴⁸/m¹¹⁴⁸)	1,04 ± 0,12	1,04 ± 0,12	0,999
E/A'ratio(ms¹¹³⁸/m¹¹³⁸)	1,04 ± 0,12	1,04 ± 0,12	0,999
E/A'ratio(ms¹¹²⁸/m¹¹²⁸)	1,04 ± 0,12	1,04 ± 0,12	0,999
E/A'ratio(ms¹¹¹			

Deniz seviyesinden orta yükseklikteki yerleşim bölgésine göç eden sağlıklı bireylerde sağ ventrikül fonksiyonlarındaki değişikliklerin geleneksel ve doku Doppler ekokardiyografi ile değerlendirilmesi

Arif Arisoy¹, Enbiya Aksakal¹, İbrahim Halil Tanboğa¹, Serdar Sevimli¹, Hanefi Yekta Gürler top²

¹Atatürk Üniversitesi Tıp Fakültesi, Kardiyoloji Anabilim Dalı, Erzurum

²Trakya Üniversitesi Tıp Fakültesi, Kardiyoloji Anabilim Dalı, Edirne

Amaç: Bu çalışmanın amacı deniz seviyesinden orta dereceli yükseklikte (1800- 2000 m) yerleşim bölgésine göç eden sağlıklı bireylerde sağ ventrikül (RV) fonksiyonlarındaki değişiklikleri geleneksel ve doku Doppler ekokardiyografi yöntemlerile değerlendirmektir.

Vantemeler: Çalışma deniz seviyesinde yaşayış orta yükseltmek merkezine uzan süreli ikamet amacılıyla gelen 20 sağlıklı genç birey (ortalama yaşı: 21.2 ± 3.8 yıl) dahil edildi. Olguların orta yükseltmek merkezine gelişinin ilk 3 gününde ve 6. ayında ekokardiyografik kayıtları alındı. Konvansiyonel ekokardiyografik kayıtlardan RV çapları ve alanları (RV 4 bölük sistole ve diastole alanları- RV4BSA ve RV4BDSA) sistole ve diastole fonksiyon belirteçleri (triküspit akım erken ve geç diastolik dalga velociteleri- E ve A, myokart performans indeksi- MPI, triküspit anüler plan sistole yerdeğiştirme- TAPSE) ölçüldü. Doku Doppler kayıtlarından mitral anüler lateral ve septal, triküspit anüler lateral, RV serbest duvar sistole, erken ve geç diastolik dalga velociteleri (S, E', A') ölçüldü.

Bulgular: Olgularda RV çaplarında, RV MPI ve TAPSE değerlerinden anamli değişim olmadı. Başlangıçta göre 6. ay ölçümlerinde RV4BSA (9.4 ± 2.0 vs. 10.8 ± 2.6 , p: 0,012), triküspit akım E (62.5 ± 10.3 vs. 71.6 ± 17.0 , p: 0,009) ve A (42.5 ± 9.7 vs. 47.8 ± 17.1 , p: 0,022), mitral lateral anulus E' (16.9 ± 5.1 vs. 18.6 ± 3.1 , p: 0,040), triküspit lateral anulus S (13.4 ± 2.7 vs. 15.6 ± 2.2 , p: 0,009) ve A' (9.7 ± 3.6 vs. 13.1 ± 3.7 , p: 0,020), RV serbest duvar S (10.2 ± 3.3 vs. 13.2 ± 2.5 , p: 0,005) ve A' (6.5 ± 1.9 vs. 10.4 ± 3.5 , p: 0,004) velociteleri anamli olarak arttı (Tablo 1 ve 2).

Sonuç: Deniz seviyesinden orta dereceli rakım seviyesinde göç eden sağlıklı bireylerde sağ ventrikül sistole fonksiyonları korunmaktadır, diastolik fonksiyonlar etkilendirilmektedir. Yüksek rakımın sağ ventrikül fonksiyonları üzerinde olan bu etkilerini tespit etmede konvansiyonel ve doku Doppler ekokardiyografi yöntemleri kullanabilir.

Tablo 1. Çalışma grubunun konvansiyonel ekokardiyografik verileri

Değişken	Başlangıç	6. ay	P değeri
SVOSC (mm)	44.1±2.8	45.4±3.5	0.018
SVSIC (mm)	29.0±2.9	29.1±2.7	0.791
SVEFs (%)	64.7±5.0	65.6±4.2	0.643
SV-MPI	0.50±0.20	0.50±0.11	0.755
Mitral E/A	1.6±0.3	1.6±0.2	0.723
RV çap (mm)	36.2±3.7	37.1±4.1	0.144
RV4BSA (cm ²)	9.4±2.0	10.8±2.6	0.012
RV4BDA (cm ²)	15.0±3.0	16.9±3.6	0.061
R4RBSA (cm ²)	11.8±2.0	12.8±2.8	0.093
TAPSY (mm)	24.0±2.8	23.9±3.9	0.757
RV-MPI	0.28±0.07	0.28±0.08	0.838
Triküspit E (cm ² /m)	62.5±10.3	71.6±17.0	0.009
Triküspit A (cm ² /m)	42.5±9.7	47.8±17.1	0.022
Triküspit E/A	1.5±0.2	1.5±0.2	0.614
Triküspit DT (msn)	209.4±42.5	223.0±50.3	0.370
RVEZ (msn)	277.4±34.7	289.9±30.1	0.293

Tablo 2. Çalışma grubunun doku Doppler ekokardiyografik verileri

Segment	Başlangıç	6. ay	P değeri
Sm lateral	11.0±4.3	9.9±2.6	0.217
Em lateral	16.9±5.1	18.6±3.1	0.040
Am lateral	6.3±2.2	7.8±1.8	0.068
Sm septal	8.7±2.2	9.1±1.5	0.692
Em septal	13.0±3.8	14.4±2.3	0.073
Am septal	7.2±1.9	8.1±2.0	0.240
E/Em lateral	5.4±1.7	5.1±1.3	0.852
E/Em septal	6.8±1.7	6.6±1.8	0.550
St anulus	13.4±2.7	15.6±2.2	0.009
Et anulus	13.1±2.7	15.7±3.7	0.024
At anulus	9.7±3.6	11.1±3.7	0.295
E/Et triküspit anuler	4.9±1.1	4.7±1.1	0.709
S RV serbest duvar	10.2±3.3	13.2±2.5	0.005
E RV serbest duvar	11.1±2.9	14.7±3.0	0.001
A RV serbest duvar	6.5±1.9	10.4±3.5	0.004

Assessment of right ventricle function changes with conventional and tissue Doppler echocardiographic parameters in healthy subjects who migrated from sea level to moderate altitude

Arif Arisoy¹, Enbiya Aksakal¹, İbrahim Halil Tanboğa¹, Serdar Sevimli¹, Hanefi Yekta Gürler top²

¹Department of Cardiology, Ataturk University Faculty of Medicine, Erzurum

²Department of Cardiology, Trakya University Faculty of Medicine, Edirne

Introduction: The aim of this study is to evaluate right ventricle (RV) function changes using conventional and tissue Doppler echocardiographic parameters in healthy subjects who migrated from sea level to moderate altitude (1800- 2000 m).

Methods: The study population consisted of 20 healthy subjects (mean age 21.2 ± 3.8 years) that migrated from the sea level to the moderate altitude for long term stay. Subjects underwent echocardiographic evolution within the first 3 days of exposure to the moderate altitude and at the six month of the arrival. Conventional echocardiographic parameters such as RV sizes and areas (4 chamber systolic area-RV4CSA and diastolic area-RV4CDA), systolic and diastolic functional indices (tricuspid early flow velocity-E, late flow velocity-A, myocardial performance index-MPI and tricuspid annular plane systolic excursion-TAPSE) were obtained. Systolic (S) and early (E') and late (A') diastolic velocities were acquired from the apical four-chamber view at the lateral tricuspid annulus, the septal and lateral side of the mitral annulus and the RV free wall using tissue Doppler imaging.

Results: There were no significant changes in RV size, MPI and TAPSE. When compared to the baseline, there were significant increases in RV4CSA (9.4 ± 2.4 vs. 10.8 ± 2.6 , p: 0,012), tricuspid A velocity (62.5 ± 10.3 vs. 71.6 ± 17.0 , p: 0,009), tricuspid A velocity (42.5 ± 9.7 vs. 47.8 ± 17.1 , p: 0,022), mitral lateral annulus E' velocity (16.9 ± 5.1 vs. 18.6 ± 3.1 , p: 0,040), tricuspid lateral annulus S velocity (13.4 ± 2.7 vs. 15.6 ± 2.2 , p: 0,009), lateral tricuspid annulus E' velocity (16.9 ± 5.1 vs. 18.6 ± 3.1 , p: 0,040), lateral tricuspid annulus A' velocity (9.7 ± 3.6 vs. 13.1 ± 3.7 , p: 0,020), RV free wall S velocity (10.2 ± 3.3 vs. 13.2 ± 2.5 , p: 0,005) and RV free wall A' velocity (6.5 ± 1.9 vs. 10.4 ± 3.5 , p: 0,004) at the six month (Tables 1 and 2).

Conclusion: In healthy subjects that migrated from the sea level to the moderate altitude right ventricular diastolic function affected while the systolic function preserved. Conventional and tissue Doppler echocardiography might be used in detection of effect of high altitude on right ventricle functions.

Table 1. Study group conventional echocardiographic values

Variable	Initial	6th Month	p value
LVEDD (mm)	44.1±2.8	45.4±3.5	0.018
LVEDS (mm)	29.0±2.9	29.1±2.7	0.791
LVEFs (%)	64.7±5.0	65.6±4.2	0.643
SV-MPI	0.50±0.20	0.50±0.11	0.755
Mitral E/A	1.6±0.3	1.6±0.2	0.723
RV çap (mm)	36.2±3.7	37.1±4.1	0.144
RV4BSA (cm ²)	9.4±2.0	10.8±2.6	0.012
RV4BDA (cm ²)	15.0±3.0	16.9±3.6	0.061
R4RBSA (cm ²)	11.8±2.0	12.8±2.8	0.093
TAPSY (mm)	24.0±2.8	23.9±3.9	0.757
RV-MPI	0.28±0.07	0.28±0.08	0.838
Triküspit E (cm ² /m)	62.5±10.3	71.6±17.0	0.009
Triküspit A (cm ² /m)	42.5±9.7	47.8±17.1	0.022
Triküspit E/A	1.5±0.2	1.5±0.2	0.614
Triküspit DT (msn)	209.4±42.5	223.0±50.3	0.370
RVEZ (msn)	277.4±34.7	289.9±30.1	0.293

Table 2. Study group tissue Doppler echocardiographic values

Variable	Initial	6th Month	p value
Sm lateral	11.0±4.3	9.9±2.6	0.217
Em lateral	16.9±5.1	18.6±3.1	0.040
Am lateral	6.3±2.2	7.8±1.8	0.068
Sm septal	8.7±2.2	9.1±1.5	0.692
Em septal	13.0±3.8	14.4±2.3	0.073
Am septal	7.2±1.9	8.1±2.0	0.240
E/Em lateral	5.4±1.7	5.1±1.3	0.852
E/Em septal	6.8±1.7	6.6±1.8	0.550
St annulus	13.4±2.7	15.6±2.2	0.009
Et annulus	11.8±2.0	12.8±2.8	0.093
TAPSE (mm)	24.0±2.8	23.9±3.9	0.757
RV-MPI	0.28±0.07	0.28±0.08	0.838
Triküspit E (cm ² /sn)	62.5±10.3	71.6±17.0	0.009
Triküspit A (cm ² /sn)	42.5±9.7	47.8±17.1	0.022
Triküspit E/A	1.5±0.2	1.5±0.2	0.614
Triküspit DT (msn)	209.4±42.5	223.0±50.3	0.370
RVEZ (msn)	277.4±34.7	289.9±30.1	0.293

İnen aort akım paternleri ve farklı klinik durumlarda akım paterni değişimi

İşıl Atasoy¹, Ömer Celik², M Serdar Yılmazer³, Alper Aydin³, Tayfun Gürol³

¹Dr. Siyami Ersek Göğüs, Kalp ve Damar Cerrahisi Eğitim ve Araştırma Hastanesi, Kardiyoloji Kliniği, İstanbul

²Istanbul Mehmet Akif Ersoy Eğitim ve Araştırma Hastanesi, Kardiyoloji Kliniği, İstanbul

³Maltepe Üniversitesi Tip Fakültesi, Kardiyoloji Anabilim Dalı, İstanbul

Amaç: Bu çalışmanın amacı Konjestif kalp yetmezliği, Atrial fibrilasyon gibi çeşitli hastalık durumlarından inen aort akım paternlerini incelemek ve varsa hastalıklara bağlı oluşan akım paterni değişimlerini saptamaktır.

Yöntem: Çalışmaya çeşitli endikasyonlarla Transösophageal ekokardiyografi uygulanan 140 hasta dahil. Hastaların TÖE esnasında 52'si (%37,1) sinüs ritiminde; 88'i (%62,9) AF ritimindedir. Sinüs ritimindeki 52 hastanın 32'sinde (%61,5) sistole chiral asimetri izlenirken, 20'sinde (%38,5) sistole chiral asimetri izlenmemiştir. Atrial fibrilasyonlu hastaların ise 28'inde (%31,8) sistole chiral asimetri izlenirken, 60'nda (%68,2) sistole chiral asimetri izlenmemiştir. Kiare testi ile ritim-sistolik chiral asimetri ilişkisi incelenliğinde anamli fark saptanmıştır. Genel hasta grubunda ROC eğrisi analizlerine bakıldığında ritimden bağımsız olarak düşük EF (EF<%32) %90 sensitivite ve %85 spesifite ile sistole chiral asimetri olmadıkta predikte ettiğimizdir. Hastalar sistole ve diastole chiral asimetri varlığı ile aortik intima media kalınlığı açısından analiz edildiğinde sistol veya diastole chiral asimetrisi bozulan hastalarda intima media kalınlığının arttığı saptanmıştır.

Bulgular: Çalışmaya alınan 140 hastanın (76 erkek, 64 kadın) yaş ortalaması 62.32 ± 13.72 idi. Hastaların TÖE esnasında 52'si (%37,1) sinüs ritiminde; 88'i (%62,9) AF ritimindedir. Sinüs ritimindeki 52 hastanın 32'sinde (%61,5) sistole chiral asimetri izlenirken, 20'sinde (%38,5) sistole chiral asimetri izlenmemiştir. Atrial fibrilasyonlu hastaların ise 28'inde (%31,8) sistole chiral asimetri izlenirken, 60'nda (%68,2) sistole chiral asimetri izlenmemiştir. Kiare testi ile ritim-sistolik chiral asimetri ilişkisi incelendiğinde anamli fark saptanmıştır. Genel hasta grubunda ROC eğrisi analizlerine bakıldığında ritimden bağımsız olarak düşük EF (EF<%32) %90 sensitivite ve %85 spesifite ile sistole chiral asimetri olmadıkta predikte ettiğimizdir. Hastalar sistole ve diastole chiral asimetri varlığı ile aortik intima media kalınlığı açısından analiz edildiğinde sistol veya diastole chiral asimetrisi bozulan hastalarda intima media kalınlığının arttığı saptanmıştır.

Sonuç: Bu çalışmada inen aort rotasyonel akım paterninin AF ve KKY gibi klinikte çok sık karşılanan hastalık mevcutinde bozulduğu ve aort paternindeki bozulmanın aort intima media kalınlığında artış olmakla kliniği yansıtıcı saptanmıştır. İleride daha geniş serilerde ve diğer hastalık gruplarında da akım paternlerinin araştırılması; bunların kliniği ne şekilde yön vereceği konusunda araştırmalar yapılması gerekliliği aşikardır.

Flow patterns in descending aorta and its relation with disease processes

İşıl Atasoy¹, Ömer Celik², M Serdar Yılmazer³, Alper Aydin³, Tayfun Gürol³

¹Department of Cardiology, Dr. Siyami Ersek Thoracic, and Cardiovascular Surgery, Training and Research Hospital, İstanbul

²Istanbul Mehmet Akif Ersoy Eğitim ve Araştırma Hastanesi, Kardiyoloji Kliniği, İstanbul

³Maltepe Üniversitesi Tip Fakültesi, Kardiyoloji Anabilim Dalı, İstanbul

Objective: The objective of this study is to examine the flow patterns in descending aorta in different clinical conditions and to search for the relation of these flow patterns with different disease processes.

Material and Methods: In this study we included 140 patients who were referred for TEE with different clinical indications. From the TEE images of these patients, descending aorta systolic and diastolic rotational flow patterns and direction of the rotational flow were investigated. We also measured the intima media thickness of descending aorta. We investigated the relation between flow patterns and different clinical conditions and also we searched for the relation between different flow patterns and intima media thickness of descending aorta.

Results: Mean age of 140 patients (76 male, 64 female) included in the study was 62.32 ± 13.72 . 52 patients (%37,1) were in sinus rhythm and 88 patients (%62,9) were in atrial fibrillation at the time of the process. In 32 of 52 patients that were in sinus rhythm, we observed systolic chiral asymmetry and in remaining 20 patients in sinus rhythm there were no systolic chiral asymmetry. In 28 of 88 patients who were in atrial fibrillation, we observed systolic chiral asymmetry, but in 60 of 88 patients there were no systolic chiral asymmetry. We found significant relation between the rhythm of the patient and systolic chiral asymmetry. When we looked through ROC curve analysis in the whole study population; low EF (EF<%32) was predicted the absence of systolic chiral asymmetry with %90 sensitivity and %85 specificity. Also we found that in subjects whose systolic and/or diastolic chiral asymmetry were distorted; intima media thickness of aorta was increased ($p<0,001$).

Conclusion: In this study, we found that rotational flow pattern of descending aorta was distorted in some clinically common conditions like congestive heart failure or atrial fibrillation and these changes in flow patterns converted to clinic as an increase in intima media thickness of the aorta. It is obvious that flow patterns in larger series of patients, with different clinical conditions and its clinical significance should be investigated in the future studies.

P-165

Metabolik sendrom varlığı ve ciddiyeti ile atriyal elektromekanik gecikme ve P dalga dispersiyonu arasındaki ilişki

Mustafa Kurt¹, Ibrahim Halil Tanboga², Mehmet Fatih Karakas¹, Eyüp Buyukkaya¹, Adnan Burak Akçay¹, Nihat Sen¹, Emine Bilen¹

¹Mustafa Kemal Üniversitesi, Kardiyoloji Anabilim Dalı, Hatay

²Atatürk Üniversitesi, Kardiyoloji Anabilim Dalı, Erzurum

³Ankara Atatürk Eğitim ve Araştırma Hastanesi, Ankara

¹Mustafa Kemal Üniversitesi, Kardiyoloji Anabilim Dalı, Hatay
²Atatürk Üniversitesi, Kardiyoloji Anabilim Dalı, Erzurum
³Ankara Atatürk Eğitim ve Araştırma Hastanesi, Ankara

P-166

Sol ventrikül sistolik fonksiyonları normal olan kararlı angina pektoris hastalarında koroner arter hastalığı varlığının iki boyutlu strain görüntüleme ile değerlendirilmesi

Ulviye Yılmaz¹, Aydan Ongun¹, Cansın Tulunay Kaya¹, Demet Menekşe Gerede¹, Cavidan Ahundova¹, İrem Dinçer², Çetin Erol¹

¹Ankara Üniversitesi Tıp Fakültesi, Kardiyoloji Anabilim Dalı, Ankara

²Ankara Güven Hastanesi, Kardiyoloji Bölümü, Ankara

Amaç: Günümüzde koroner arter hastalığının (KAH) tanısında altın standart yöntem koroner anjiyografidir (KAG). Elektrokardiyografi, stres testleri, ekokardiyografi (EKO) KAH tanısında kullanılan yardımcı testlerdir. Ancak, hastaların bir kısmında KAH varlığının rağmen tanıştır tetkiklerde iskemi ile uyumlu değişiklikler tespit edilememektedir. Bu grup olgularla KAH'ın öngörülebilirlik bir tetkik gereklisi KAG gibi girişimsel bir incelenme yapılmasını engelleyecektir. Çalışmamızda, kararlı angina pektoris ön tanısı alan ve konvansiyonel EKO'da sol ventrikül (solV) sistolik fonksiyonları normal bulunan olgulara iki boyutlu strain EKO ile solV'ün longitudinal kontraktifitesini ve bu incelenmenin KAG öncesi KAH'ı tahmin etme gücünü iddilemeye amaçladık.

Gereç-Yöntem: Çalışmamızda dahil edilen toplam 40 hastaya transtorasik EKO yapıldı ve solV sistolik fonksiyonları ile duvar hareketleri normal şarttan olguların apikal 4, 3, 2 boşuk kesitlerinden gri skala görüntülerini alındı. Görüntülerin tümünden benek yöntemi ile iki boyutlu longitudinal global ve segmenter strain analizi yapıldı. Her segmentten longitudinal zirve sistolik strain ve strain hızı ölçüldü. Tüm segmentlerin aritmetik ortalaması alınarak global longitudinal strain (GLS) ve strain hızı (GLSH) hesaplandı. Olgular, KAG sonuçlarına göre aterosklerotik kalp hastalığı olmayanlar (ASKH-) ve en az bir koroner arterinde ciddi darlık ($\geq 70\%$ darlık) şarttan olanlar (ASKH+) olmak üzere iki gruba ayrıldı.

Bulgular: Yaş ortalaması ASKH (+) olan grupta daha yüksek bulundu. Cinsiyet, kardiyovasküler risk faktörleri açısından gruptar arasında istatistiksel olarak anlamlı farklılıklar saptanmadı. Kardiyovasküler ilaçlarından aspirin, ASKH (+) olan grupta daha fazla kullanılmakta iken, diğer ilaçların tüketimi iki grupta benzerdi. Ortalama GLS (%-19.3±2.7'ye karşılık %-20.4±2.5') ve GLSH (-1.3±0.2 s⁻¹'ye karşılık -1.4±0.2 s⁻¹) değerleri ASKH (+) olan grupta daha düşük bulundu, ancak bu fark istatistiksel olarak anlamlı saptanmadı. Benzer şekilde, KAH tespit edilen koroner arter sayısı arttıkça ortalamalı GLS ve GLSH verilerinde anlamlı değişiklik olmadığı gösterildi. Segment düzeyindeki analizlerde ASKH (+) olan grupta posterior duvarın orta (%-15.8 ± 4.2'ye karşılık %-19.6±5.5) ve apikal (%-16.5±7.9'a karşılık %-22.8 ± 6.8) bölgelerden strain, anteroseptal duvarın basal bölümünden ise strain hızı (-1.1 [-2.2-0.4] s⁻¹'e karşılık -1.4 [-3.2-0.8] s⁻¹) istatistiksel olarak anlamlı derecede daha düşük bulundu. Ancak, bu düşük değerlerin KAG öncesi lezyon dağılımını tahmin etmede yetersiz kaldığı saptandı.

Sonuç: Çalışmamızda, konvansiyonel EKO'da solV sistolik fonksiyonları normal bulunan kararlı anginalı olgularda solV'ün iki boyutlu longitudinal global ve segmenter deformasyonunun KAG öncesi KAH varlığını ve lokalizasyonunu öngörmeye yeterli olmadığını bulduk. Bununla birlikte, bu yeni teknigin daha büyük çalışmalarla değerlendirilmesi gerektiğini düşünmektedir.

P-165

Relation between atrial electromechanical delay and P wave dispersion with presence and severity of metabolic syndrome

Mustafa Kurt¹, Ibrahim Halil Tanboga², Mehmet Fatih Karakas¹, Eyüp Buyukkaya¹, Adnan Burak Akçay¹, Nihat Sen¹, Emine Bilen¹

¹Mustafa Kemal University, Cardiology Department

²Atatürk University, Cardiology Department

³Ankara Atatürk Education and Research Hospital

Aim: In this study, we aimed to investigate the association between the presence and severity of metabolic syndrome (MS) with intraatrial and inter-atrial electromechanical delay (AEMD) and p wave dispersion (PWD).

Methods: Seventy-two patients with a diagnosis of MS, and 72 age- and sex-matched individuals as a control group were included in the study. Patients with MS were classified into three groups based on the number of MS criteria as follows: Group 1 (patients with three MS criteria), Group 2 (patients with four MS criteria) and Group 3 (patients with five MS criteria). Inter and intra AEMD were measured from parameters of tissue Doppler imaging. PWD was calculated from the 12-lead electrocardiogram.

Results: Both inter-AEMD (22.9±15 vs 11.5±14, p<0.001) and intra-AEMD (23.6±12 vs 8.3±19, p<0.001) were found to be significantly longer in patients with MS than the control group. Similarly, PWD (49±25 vs 36±24, p=0.001) were found to be significantly longer in the MS patients than the controls. However, both inter-AEMD and intra-AEMD and p wave measurements were not found to be associated with the severity of MS. The correlation analysis revealed that while inter and intra AEMD were more correlated with LV mass index and LA volume index, PWD was more correlated with mitral inflow Doppler parameters.

Conclusion: In patients with MS, inter- and intra-AEMD, and p-dispersion were found to be lengthened when compared to the control group. However, these parameters were not associated with the severity of MS.

P-166

The role of two-dimensional strain analysis for the detection of coronary artery disease in stable angina pectoris patients with normal left ventricular systolic functions

Ulviye Yılmaz¹, Aydan Ongun¹, Cansın Tulunay Kaya¹, Demet Menekşe Gerede¹, Cavidan Ahundova¹, İrem Dinçer², Çetin Erol¹

¹Department of Cardiology, Ankara University Faculty of Medicine, Ankara

²Department of Cardiology, Ankara Güven Hospital, Ankara

Background: Coronary angiography (CAG) is the current gold standard for the diagnosis of coronary artery disease (CAD). Electrocardiography, stress tests, and conventional echocardiography (ECHO) are complementary non-invasive tests for the diagnosis of CAD. However, in a certain proportion of these patients, non-invasive diagnostic tests might not be able to detect ischemia in spite of the presence of CAD. A non-invasive diagnostic test that can predict these group of patients will prevent unnecessary CAGs. The aim of the study was to investigate the role of two-dimensional strain ECHO on detecting left ventricular (LV) contractility and presence of CAD in stable angina pectoris patients with normal LV systolic functions by conventional ECHO.

Material and Methods: 40 patients with stable angina pectoris were enrolled in the study. If LV systolic functions and regional wall motions were determined as normal by conventional transthoracic ECHO, then apical four, three, and two chamber views were recorded in gray scale. Two-dimensional longitudinal global and segmental strain analysis were conducted by speckle tracking method. Segmental peak systolic strain and strain rates were measured. Global longitudinal strain (GLS) and strain rates (GLSR) were calculated as arithmetic average of all segmental longitudinal peak strain and strain rates. Patients were divided into two groups according to the CAG as i) without CAD (CAD -), and ii) ones with significant stenosis ($\geq 70\%$) (CAD +).

Results: Patients in the CAD (+) were older than the CAD (-) group. Gender, and other cardiovascular risk factors were similar between the groups. The patients were on similar drugs except aspirin which was used higher in the CAD (+) group. Mean GLS (-19.3 ± 2.7% vs. -20.4 ± 2.5%) and GLSR (-1.3 ± 0.2 s⁻¹ vs. -1.4 ± 0.2 s⁻¹) were lower in the CAD (+) group, but it did not reach statistical significance. Mean GLS and GLSR data were not changed as the number of diseased coronary arteries increased. Segmental analyses showed that strain was significantly lower in the mid (-15.8 ± 4.2% vs. -19.6 ± 5.5%) and apical (-16.5 ± 7.9% vs. -22.8 ± 6.8%) segments of the posterior wall, and strain rate was significantly decreased in the basal portion of the anteroapical wall (-1.1 [-2.2-0.4] s⁻¹ vs. -1.4 [-3.2-0.8] s⁻¹). However, these lower values failed to predict coronary artery lesion localization before CAG.

Conclusion: Our study shows that LV two-dimensional longitudinal global and segmental deformation does not predict presence and localization of CAD in stable angina patients whose LV systolic functions were determined as normal by conventional ECHO. But, further larger studies are needed to evaluate the value of that newer technique for the diagnosis of CAD.

Hasta ve kontrol gruplarının demografik ve konvansiyonel ekokardiyografi verileri

	ASKH (-), (n: 21)	ASKH (+), (n: 19)	p değeri
Yaş, yıl	54,9 ± 10,1	63,9 ± 13,1	0,020
Erkek, (%)	15 (51,7)	14 (48,3)	AD
Kreatinin, mg/dl	0,8 ± 0,2	1,5 ± 1,7	AD
Toplam kolesterol, mg/dl	191,2 ± 34,5	167,0 ± 20,3	AD
LDL kolesterol, mg/dl	128,5 (70-167)	89,0 (49-122)	AD
HDL kolesterol, mg/dl	42,6 ± 8,8	46,0 ± 16,8	AD
Trigliserid, mg/dl	133,0 ± 43,2	151,0 ± 118,8	AD
AKŞ, mg/dl	77,0 (72-115)	101,5 (82-209)	AD
HT, (%)	10 (47,6)	14 (73,7)	AD
DM, (%)	1 (4,8)	4 (21,1)	AD
HL, (%)	3 (14,3)	6 (31,6)	AD
Sigara, (%)	3 (14,3)	7 (36,8)	AD
AO, (%)	1 (4,8)	5 (26,3)	AD
Beta bloker, (%)	3 (23,1)	10 (76,9)	AD
Statin, (%)	1 (12,5)	7 (87,5)	AD
ASA, (%)	1 (8,3)	11 (91,7)	0,003
ARB veya ADE-I, (%)	7 (35,0)	13 (65,0)	AD
KKB, (%)	9 (64,3)	5 (35,7)	AD
IVS kalınlığı, cm	0,9 (0,8-1,1)	0,9 (0,8-1,2)	AD
Arka duvar kalınlığı, cm	0,9 (0,8-1,1)	0,9 (0,8-1,2)	AD
SVSSC, cm	3,0 ± 0,3	3,0 ± 0,3	AD
SVDSC, cm	4,8 ± 0,3	4,9 ± 0,3	AD

AKŞ: Aclık kan şekeri, HT: Hipertansiyon, DM: Diabetes mellitus, HL: Hipolipiremi, AO: Aile öyküsü, ASA: Asetil salisilik asit, ARB: Anjiyotensin reseptör blokeri, ADE-I: Anjiyotensin dönüştürücü enzim inhibitörü, KKB: Kalıtılmış kanal blokeri, IVS: Interventriküler septum, SVSSC: Sol ventrikül sistol sonu çapı, SVDSC: Sol ventrikül diyalostol sonu çapı, AD: Anlamlı değil

İki grubun global ve segmenter longitudinal zirve strain ve strain hızı değerleri

	ASKH (-), (n: 21)	ASKH (+), (n: 19)	p değeri
Global strain, %	-20,4 ± 2,5	-19,3 ± 2,7	0,194
Posterior duvarın ortası, %	-19,6 ± 5,5	-15,8 ± 4,2	0,042
Posterior duvarın apikalı, %	-22,8 ± 6,8	-16,5 ± 7,9	0,027
Global strain hızı, s ⁻¹	-1,4 ± 0,2	-1,3 ± 0,2	0,307
Anteroseptal duvarın bazalı, s ⁻¹	-1,4 (-3,2-0,8)	-1,1 (-2,2-0,4)	0,041

Kontrol grubu ile tek damar ve çok damar hastalarında global strain ve strain hızının karşılaştırılması

	ASKH (-), (n:21) [15]	Tek damar hastalığı, (n: 4)	Cok damar hastalığı, (n: p değeri)	
Global strain, %	-20,8 (-25,1- 15,0)	-19,5 (-23,6-13,7)	-19,7 (-22,6-14,9)	0,490
Global strain hızı, s ⁻¹	-1,4 (-1,9-1,1)	-1,3 (-1,6-1,1)	-1,6 (-1,8-0,8)	0,228

P-167

Ramazan ayı boyunca tutulan orucun stabil kardiyak hastaların aortik elastisiteleri üzerine olan etkileri

Fatma Nihan Turhan Çağlar¹, Faruk Aktürk², İlker Murat Çağlar³, Mehmet Ertürk², Ahmet Arif Yalçın², Fatih Uzun², Cüneyt Kocaş⁴, İsmail Biyik²

¹İstanbul Eğitim ve Araştırma Hastanesi, İstanbul

²Mehmet Akif Ersoy Eğitim ve Araştırma Hastanesi, İstanbul

³Dr. Sadi Konuk Eğitim ve Araştırma Hastanesi, İstanbul

⁴İstanbul Üniversitesi, Kardiyoloji Anabilim Dalı, İstanbul

P-167

The impact of fasting during the month of Ramadan on aortic elasticity in stable cardiac patients

Fatma Nihan Turhan Çağlar¹, Faruk Aktürk², İlker Murat Çağlar³, Mehmet Ertürk², Ahmet Arif Yalçın², Fatih Uzun², Cüneyt Kocaş⁴, İsmail Biyik²

¹İstanbul Education and Research Hospital, İstanbul

²Mehmet Akif Ersoy Education and Research Hospital, İstanbul

³Dr. Sadi Konuk Education and Research Hospital, İstanbul

⁴İstanbul University Cardiology Institute, İstanbul

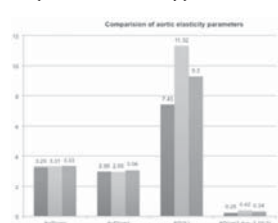
Background: The effects of fasting in the month of Ramadan in cardiac patients were studied in previous studies. However the association between ascending aortic elastic indexes measured echocardiographically (aortic distensibility (AD) and aortic strain (AS)) and fasting in patients with stable cardiac disease was not evaluated. The aim of this study is to investigate the association between elasticity indexes of aorta and fasting in patients with stable cardiac disease.

Methods: 20 patients (10 female, 10 male and mean age of 52,1) with known stable cardiac disease who fast for 30 days during the month of Ramadan were included. AS and AD as elasticity indexes of aorta were calculated from the aortic diameters using echocardiography three times; first before Ramadan (BR), second during Ramadan (DR) and last after Ramadan (AR).

Results: No statistically significant difference in aortic elasticity measured three different times (AS: 8,71±3,94, AD: 0,32±0,18 vs 10,26±6,14, 0,39±0,27 vs 9,31±4,28, 0,37±0,22, respectively BR, DR, AR; p>0,05).

Conclusions: Findings of our study have shown that fasting during Ramadan do not have an adverse effect on aortic elasticity in stable cardiac patients.

Comparison of aortic elasticity parameters



AoS: systolic aortic diameter, AoD: diastolic aortic diameter, AS: aortic strain, AD: aortic distensibility

Metabolik sendromlu hastalarda aortun elastik özelliklerini etkileyen parametreler

Derya Tok, İskender Kadife, Osman Turak, Fırat Özcan, Nurcan Başar, Kumral Çağlı, Dursun Aras, Serkan Topaloğlu, Sinan Aydoğu

Ankara Türkiye Yüksek İhtisas Hastanesi, Kardiyoloji Bölümü, Ankara

Amaç: Metabolik sendrom dünyada giderek daha fazla insanı etkileyen önemli bir mortalite ve morbidite nedenidir. Ortalama ve büyük arterlerde elastikyet kaybı aterosklerozun erken bir bulgusudur. Arteriel elastikyetin değerlendirilmesinde aortik sertlik basit ve önemli bir metottur. Metabolik sendrom da aortik sertlikte artış olması beklenmektedir. Çalışmamızda metabolik sendromlu hastalarda aortik sertlik ve bununla ilişkili ekokardiyografik ve biyokimyasal parameteleri saptamayı amaçladık.

Metod: Çalışmaya ATP III kriterlerine göre metabolik sendrom tanısı alanardı 46 hasta (ortalama yaşı 47.3±6.6) ve 44 kontrol (ortalama yaşı 44.0±6.1) hastası alındı. M-mode ekokardiyografi ile parasternal uzun eksen görüntülerde çikan aort sistolik ve diastolik çapları ve eş zamanlı kan basınları ölçüldü. Aortik strain, distensibilite ve sertlik indeksi hesaplandı. Ekokardiyografik olarak diastolik parametrelerin ölçümü yapıldı. Metabolik sendromlu olan ve olmayan hastalarda aortik sertlik parametreleri ve diastolik fonksiyon ölçütleri, biyokimyasal değerler karşılaştırıldı.

Bulgular: Metabolik sendromlu hastalarda bel çevresi, total kolesterol, LDL, açlık kan şekeri, triglisirit, sistolik ve diastolik kan basınları, CRP, ürik asit ve beyaz kükre düzeyleri anamlı olarak yükseldi (Tablo 1). Ekokardiyografik parametrelerden sol ventrikül kitle indeksi (LVKI), deselerasyon zamanı (DZ), izovolemik relaksasyon zamanı (IVRZ) metabolik sendromlu hastalarda kontrol grubuna kıyasla yüksek ve mitral E/A oranları ise düşük saptandı (Tablo 2). Metabolik sendromlu hastalarda kontrol grubuna kıyasla aortik distensibilite anamlı yüksük (10.4±3.5'e karşı 12.7±3.4, p=0.002), sertlik indeksi anamlı yüksük saptandı (6.5±2.0'e karşı 3.2±0.8, p<0.001) (Tablo 2). Aortik sertlik indeksi ile LVKI ($r=0.372, p=0.001$), triglisirit ($r=-0.395, p=0.001$), açlık kan şekeri ($r=0.511, p<0.001$), ürik asit ($r=0.221, p=0.37$), CRP ($r=0.299, p=0.004$), DZ ($r=0.325, p=0.002$), IVRZ ($r=0.246, p=0.019$) ve sistolik kan basıncı ($r=0.454, p<0.001$) ile pozitif korelasyon, HDL kolesterol ($r=-0.409, p=0.001$) ve mitral E/A oranı ile ($r=-0.266, p=0.011$) negatif korelasyon vardı. Çok değişkenli regresyon analizi uygulandığında sadece CRP düzeyi ($\beta=0.131, p=0.05$) ve sistolik kan basıncının ($\beta=0.701, p<0.001$) aort sertlik indeksinin bağımsız önürüticileri olduğu saptandı (Tablo 3).

Sonuç: Metabolik sendromlu hastalarda aort sertliği artmaktadır. Aort sertlikte diastolik fonksiyon bozukluğu ile korele, yüksek sistolik kan basıncı ve CRP düzeyleri gibi kardiyovasküler risk faktörleri ile ilişkilidir. Başka bir deyişle metabolik sendromlu hastalarda hem CRP düzeyleri hem de aortik sertlikteki artış endotel fonksiyon bozukluğu ve subklinik aterosklerozun göstergesidir.

Tablo 1. Hastaların basal klinik ve laboratuvar bulguları

	Hastaların aortik sertlik parametreleri ve ekokardiyografi parametrelerinin karşılaştırılması
Femur (cm)	47.3±6.6
Çekirdek (cm)	29.1±6.0
Üst kemi (cm)	18.0±4.5
Üst kemi (cm)	9.2±3.4
Üst kemi (cm)	10.4±3.5
Üst kemi (cm)	12.7±3.4
Üst kemi (cm)	0.002
Üst kemi (cm)	6.5±2.0
Üst kemi (cm)	3.2±0.8
Üst kemi (cm)	<0.001
Üst kemi (cm)	-0.372
Üst kemi (cm)	0.001
Üst kemi (cm)	-0.395
Üst kemi (cm)	0.001
Üst kemi (cm)	0.511
Üst kemi (cm)	<0.001
Üst kemi (cm)	0.221
Üst kemi (cm)	0.37
Üst kemi (cm)	0.299
Üst kemi (cm)	0.004
Üst kemi (cm)	0.325
Üst kemi (cm)	0.002
Üst kemi (cm)	0.246
Üst kemi (cm)	0.019
Üst kemi (cm)	-0.266
Üst kemi (cm)	0.011
Üst kemi (cm)	-0.131
Üst kemi (cm)	<0.05
Üst kemi (cm)	0.701
Üst kemi (cm)	<0.001
Üst kemi (cm)	0.454
Üst kemi (cm)	<0.001
Üst kemi (cm)	0.221
Üst kemi (cm)	0.37
Üst kemi (cm)	0.299
Üst kemi (cm)	0.004
Üst kemi (cm)	0.325
Üst kemi (cm)	0.002
Üst kemi (cm)	0.246
Üst kemi (cm)	0.019
Üst kemi (cm)	-0.266
Üst kemi (cm)	0.011
Üst kemi (cm)	-0.131
Üst kemi (cm)	<0.05
Üst kemi (cm)	0.701
Üst kemi (cm)	<0.001
Üst kemi (cm)	0.454
Üst kemi (cm)	<0.001
Üst kemi (cm)	0.221
Üst kemi (cm)	0.37
Üst kemi (cm)	0.299
Üst kemi (cm)	0.004
Üst kemi (cm)	0.325
Üst kemi (cm)	0.002
Üst kemi (cm)	0.246
Üst kemi (cm)	0.019
Üst kemi (cm)	-0.266
Üst kemi (cm)	0.011
Üst kemi (cm)	-0.131
Üst kemi (cm)	<0.05
Üst kemi (cm)	0.701
Üst kemi (cm)	<0.001
Üst kemi (cm)	0.454
Üst kemi (cm)	<0.001
Üst kemi (cm)	0.221
Üst kemi (cm)	0.37
Üst kemi (cm)	0.299
Üst kemi (cm)	0.004
Üst kemi (cm)	0.325
Üst kemi (cm)	0.002
Üst kemi (cm)	0.246
Üst kemi (cm)	0.019
Üst kemi (cm)	-0.266
Üst kemi (cm)	0.011
Üst kemi (cm)	-0.131
Üst kemi (cm)	<0.05
Üst kemi (cm)	0.701
Üst kemi (cm)	<0.001
Üst kemi (cm)	0.454
Üst kemi (cm)	<0.001
Üst kemi (cm)	0.221
Üst kemi (cm)	0.37
Üst kemi (cm)	0.299
Üst kemi (cm)	0.004
Üst kemi (cm)	0.325
Üst kemi (cm)	0.002
Üst kemi (cm)	0.246
Üst kemi (cm)	0.019
Üst kemi (cm)	-0.266
Üst kemi (cm)	0.011
Üst kemi (cm)	-0.131
Üst kemi (cm)	<0.05
Üst kemi (cm)	0.701
Üst kemi (cm)	<0.001
Üst kemi (cm)	0.454
Üst kemi (cm)	<0.001
Üst kemi (cm)	0.221
Üst kemi (cm)	0.37
Üst kemi (cm)	0.299
Üst kemi (cm)	0.004
Üst kemi (cm)	0.325
Üst kemi (cm)	0.002
Üst kemi (cm)	0.246
Üst kemi (cm)	0.019
Üst kemi (cm)	-0.266
Üst kemi (cm)	0.011
Üst kemi (cm)	-0.131
Üst kemi (cm)	<0.05
Üst kemi (cm)	0.701
Üst kemi (cm)	<0.001
Üst kemi (cm)	0.454
Üst kemi (cm)	<0.001
Üst kemi (cm)	0.221
Üst kemi (cm)	0.37
Üst kemi (cm)	0.299
Üst kemi (cm)	0.004
Üst kemi (cm)	0.325
Üst kemi (cm)	0.002
Üst kemi (cm)	0.246
Üst kemi (cm)	0.019
Üst kemi (cm)	-0.266
Üst kemi (cm)	0.011
Üst kemi (cm)	-0.131
Üst kemi (cm)	<0.05
Üst kemi (cm)	0.701
Üst kemi (cm)	<0.001
Üst kemi (cm)	0.454
Üst kemi (cm)	<0.001
Üst kemi (cm)	0.221
Üst kemi (cm)	0.37
Üst kemi (cm)	0.299
Üst kemi (cm)	0.004
Üst kemi (cm)	0.325
Üst kemi (cm)	0.002
Üst kemi (cm)	0.246
Üst kemi (cm)	0.019
Üst kemi (cm)	-0.266
Üst kemi (cm)	0.011
Üst kemi (cm)	-0.131
Üst kemi (cm)	<0.05
Üst kemi (cm)	0.701
Üst kemi (cm)	<0.001
Üst kemi (cm)	0.454
Üst kemi (cm)	<0.001
Üst kemi (cm)	0.221
Üst kemi (cm)	0.37
Üst kemi (cm)	0.299
Üst kemi (cm)	0.004
Üst kemi (cm)	0.325
Üst kemi (cm)	0.002
Üst kemi (cm)	0.246
Üst kemi (cm)	0.019
Üst kemi (cm)	-0.266
Üst kemi (cm)	0.011
Üst kemi (cm)	-0.131
Üst kemi (cm)	<0.05
Üst kemi (cm)	0.701
Üst kemi (cm)	<0.001
Üst kemi (cm)	0.454
Üst kemi (cm)	<0.001
Üst kemi (cm)	0.221
Üst kemi (cm)	0.37
Üst kemi (cm)	0.299
Üst kemi (cm)	0.004
Üst kemi (cm)	0.325
Üst kemi (cm)	0.002
Üst kemi (cm)	0.246
Üst kemi (cm)	0.019
Üst kemi (cm)	-0.266
Üst kemi (cm)	0.011
Üst kemi (cm)	-0.131
Üst kemi (cm)	<0.05
Üst kemi (cm)	0.701
Üst kemi (cm)	<0.001
Üst kemi (cm)	0.454
Üst kemi (cm)	<0.001
Üst kemi (cm)	0.221
Üst kemi (cm)	0.37
Üst kemi (cm)	0.299
Üst kemi (cm)	0.004
Üst kemi (cm)	0.325
Üst kemi (cm)	0.002
Üst kemi (cm)	0.246
Üst kemi (cm)	0.019
Üst kemi (cm)	-0.266
Üst kemi (cm)	0.011
Üst kemi (cm)	-0.131
Üst kemi (cm)	<0.05
Üst kemi (cm)	0.701
Üst kemi (cm)	<0.001
Üst kemi (cm)	0.454
Üst kemi (cm)	<0.001
Üst kemi (cm)	0.221
Üst kemi (cm)	0.37
Üst kemi (cm)	0.299
Üst kemi (cm)	0.004
Üst kemi (cm)	0.325
Üst kemi (cm)	0.002
Üst kemi (cm)	0.246
Üst kemi (cm)	0.019
Üst kemi (cm)	-0.266
Üst kemi (cm)	0.011
Üst kemi (cm)	-0.131
Üst kemi (cm)	<0.05
Üst kemi (cm)	0.701
Üst kemi (cm)	<0.001
Üst kemi (cm)	0.454
Üst kemi (cm)	<0.001
Üst kemi (cm)	0.221
Üst kemi (cm)	0.37
Üst kemi (cm)	0.299
Üst kemi (cm)	0.004
Üst kemi (cm)	0.325
Üst kemi (cm)	0.002
Üst kemi (cm)	0.246
Üst kemi (cm)	0.019
Üst kemi (cm)	-0.266
Üst kemi (cm)	0.011
Üst kemi (cm)	-0.131
Üst kemi (cm)	<0.05
Üst kemi (cm)	0.701
Üst kemi (cm)	<0.001
Üst kemi (cm)	0.454
Üst kemi (cm)	<0.001
Üst kemi (cm)	0.221
Üst kemi (cm)	0.37
Üst kemi (cm)	0.299
Üst kemi (cm)	0.004
Üst kemi (cm)	0.325
Üst kemi (cm)	0.002
Üst kemi (cm)	0.246
Üst kemi (cm)	0.019
Üst kemi (cm)	-0.266
Üst kemi (cm)	0.011
Üst kemi (cm)	-0.131
Üst kemi (cm)	<0.05
Üst kemi (cm)	0.701
Üst kemi (cm)	<0.001
Üst kemi (cm)	0.454
Üst kemi (cm)	<0.001
Üst kemi (cm)	0.221
Üst kemi (cm)	0.37
Üst kemi (cm)	0.299
Üst kemi (cm)	0.004
Üst kemi (cm)	0.325
Üst kemi (cm)	0.002
Üst kemi (cm)	0.246
Üst kemi (cm)	0.019
Üst kemi (cm)	-0.266
Üst kemi (cm)	0.011
Üst kemi (cm)	-0.131
Üst kemi (cm)	<0.05
Üst kemi (cm)	0.701
Üst kemi (cm)	<0.001
Üst kemi (cm)	0.454
Üst kemi (cm)	<0.001
Üst kemi (cm)	0.221
Üst kemi (cm)	0.37
Üst kemi (cm)	0.299
Üst kemi (cm)	0.004
Üst kemi (cm)	0.325
Üst kemi (cm)	0.002
Üst kemi (cm)	0.246
Üst kemi (cm)	0.019
Üst kemi (cm)	-0.266
Üst kemi (cm)	0.011
Üst kemi (cm)	-0.131
Üst kemi (cm)	<0.05
Üst kemi (cm)	0.701
Üst kemi (cm)	<0.001
Üst kemi (cm)	0.454
Üst kemi (cm)	<0.001
Üst kemi (cm)	0.221
Üst kemi (cm)	0.37
Üst kemi (cm)	0.299
Üst kemi (cm)	0.004
Üst kemi (cm)	0.325
Üst kemi (cm)	0.002
Üst kemi (cm)	0.246
Üst kemi (cm)	0.019
Üst kemi (cm)	-0.266
Üst kemi (cm)	0.011
Üst kemi (cm)	-0.131
Üst kemi (cm)	<0.05
Üst kemi (cm)	0.701
Üst kemi (cm)	<0.001
Üst kemi (cm)	0.454
Üst kemi (cm)	<0.001
Üst kemi (cm)	0.221
Üst kemi (cm)	0.37
Üst kemi (cm)	0.299
Üst kemi (cm)	0.004
Üst kemi (cm)	0.325
Üst kemi (cm)	0.002
Üst kemi (cm)	0.246
Üst kemi (cm)	0.019
Üst kemi (cm)	-0.266
Üst kemi (cm)	0.011
Üst kemi (cm)	-0.131
Üst kemi (cm)	<0.05
Üst kemi (cm)	0.701
Üst kemi (cm)	<0.001
Üst kemi (cm)	0.454
Üst kemi (cm)	<0.001
Üst kemi (cm)	0.221
Üst kemi (cm)	0.37
Üst kemi (cm)	0.299
Üst kemi (cm)	0.004
Üst kemi (cm)	0.325
Üst kemi (cm)	0.002
Üst kemi (cm)	0.246
Üst kemi (cm)	0.019
Üst kemi (cm)	-0.266
Üst kemi (cm)	0.011
Üst kemi (cm)	-0.131
Üst kemi (cm)	<0.05
Üst kemi (cm)	0.701
Üst kemi (cm)	<0.001
Üst kemi (cm)	0.454
Üst kemi (cm)	<0.001
Üst kemi (cm)	0.221
Üst kemi (cm)	0.37
Üst kemi (cm)	0.299
Üst kemi (cm)	0.004
Üst kemi (cm)	0.325
Üst kemi (cm)	0.002
Üst kemi (cm)	0.246
Üst kemi (cm)	0.019
Üst kemi (cm)	-0.266
Üst kemi (cm)	0.011
Üst kemi (cm)	-0.131
Üst kemi (cm)	<0.05
Üst kemi (cm)	0.701
Üst kemi (cm)	<0.001
Üst kemi (cm)	0.454
Üst kemi (cm)	<0.001
Üst kemi (cm)	0.221
Üst kemi (cm)	0.37
Üst kemi (cm)	0.299
Üst kemi (cm)	0.004
Üst kemi (cm)	0.325
Üst kemi (cm)	0.002
Üst kemi (cm)	0.246
Üst kemi (cm)	0.019
Üst kemi (cm)	-0.266
Üst kemi (cm)	0.011
Üst kemi (cm)	-0.131
Üst kemi (cm)	<0.05
Üst kemi (cm)	0.701
Üst kemi (cm)	<0.001
Üst kemi (cm)	0.454
Üst kemi (cm)	<0.001
Üst kemi (cm)	0.221
Üst kemi (cm)	0.37
Üst kemi (cm)	0.299
Üst kemi (cm)	0.004
Üst kemi (cm)	0.325
Üst kemi (cm)	0.002
Üst kemi (cm)	0.246
Üst kemi (cm)	0.019
Üst kemi (cm)	-0.266
Üst kemi (cm)	0.011
Üst kemi (cm)	-0.131
Üst kemi (cm)	<0.05
Üst kemi (cm)	0.701
Üst kemi (cm)	<0.001
Üst kemi (cm)	0.

P-170

Ateşle başvuran Tip I akut aort diseksiyonu

Çağrı Yayıla, Erhan Yazıcı, Azmi Eyiol, Eser Açıkgöz, Ersin Çağrı Şimşek, Asife Şahinarslan

Gazi Üniversitesi Tip Fakültesi, Kardiyoloji Anabilim Dalı, Ankara

Aort diseksiyonu tanıda gecikme halinde ölümle sonuçlanan erken tespiti halinde önlenebilen kardiyak acilerevdendir. Ani başlangıçlı, keskin ve ağrı sırt ağrısı, MI ağrısını taklit eden göğüs ağrısı en sık başvuru şikayetleri arasında yer almaktadır. Bu semptomların yanında ateş aort diseksiyonu gözlenen semptomlar arasında geri sıradır yer almaktadır. Ateşin en belirgin şikayet olduğu tip I akut aort diseksiyonu tablosu çok nadir gözlenen bir durumdur. Bu yazında ateş ile başvuran tipik vasıflı sırt ağrısı olmayan hasta'da tip A aort diseksiyonu takdim ediyoruz. Bilinen bir hastalık olmayan 56 yaşında erkek hasta 1-2 gündür olan ate $\leq 38^{\circ}\text{C}$, halsizlik, genel vücut ağrısı gibi şikayetleri olup belirgin bir sırt ağrısı olmadan acil servise başvuruyor. Kabulünde ateş $38,1^{\circ}\text{C}$, Tansiyon değerleri 100/60 mmHg, Nabız sayısı 89/dk, Beyaz kütlesi 13400, ESR 44, hsCRP 2, hs Troponin 0,149'du. EKG'si normal sinus ritimiyydi. Fizik muayenesinde aort odakta 3/6 derece diastolik üfürün saptanmıştır. Hasta bölümümüzde infekatif endokardit şüphesiyle konsült edildi. Hastaya TTE yapıldı. EF: %62, III.derece AY, minimal seviyede perikardial effüzyon saptandı. Çikan aort 45 mm ölçüldü. Parasternal uzunaks görüntülenmede çikan aortada patoloji saptanmadı. Apikal beş boşluk görüntüsünden belirgin flep görüntülmüştür (Şekil 1, Şekil 2). Hastaya ivedilikle Torakoabdominal CT angiografi uygulandı. Aort köküne aort kapığı-RCA ostiumu komşuluğundan başlayan tüm aortayı içine alan sol ana iliac artere doğru uzanan tip I diseksiyon saptandı. Hastaların acil operasyonu amaciyla Kalp-Damar Cerrahisi Bölümüne devredildi. Ateş genelde kronik aort diseksiyonu semptomları arasında yer almaktadır, ancak az sayıda çalışmada akut aort diseksiyonunda inflamasyona sekonder ateş olabileceğini belirtilmektedir. Yapılan çalışmalarla ateş daha sıklıkla tip B diseksiyonlarında gözlemlenmiştir (%75). Ateş genelde semptomları başlangıcıyla beraber ilk 48-72 saat içinde gözlenmektedir. Ateş olup belirgin sırt ağrısı olmayan ve troponin değerleri yükseltmiş olan hastaların ekokardiyografi yapılarak aort diseksiyonu açısından değerlendirilmesi hayat kurtarıcı olabilir.



Şekil 1. Apikal 5 boşluk açısından flep görünümü



Şekil 2. Apikal 5 boşluk açısından flep görünümü

P-171

Sağ ventrikül sistolik fonksiyonlarını göstermede anatomi M mode ile ölçülen fraksiyonel kısaltmanın önemi

Kemal Karaağac, Mustafa Kuzeytemiz, Dursun Topal, Burhan Arslan, Muhammed Şentürk, Mustafa Yılmaz, Tezcan Peker, Fatma Özlem Arican Özlu

Bursa Yüksek İhtisas Eğitim ve Araştırma Hastanesi, Kardiyoloji Bölümü, Bursa

Amaç: Bu çalışmada, anatomi M mode ile ölçülen fraksiyonel kısalmanın (FS) sağ ventrikül (RV) fonksiyonlarını göstermedeki yerini araştırdık.

Çalışma Planı: Çalışmaya sağ ventrikül volum yüklenmesi grubunu (grup 1) oluşturacak atriyal septal defekt tanısı konulmuş 22 hasta (12 kadın, 10 erkek; ort. yaşı $47,1 \pm 19,5$) ve sağ ventrikül basınç yüklenmesi grubunu (grup 2) oluşturacak pulmoner darlığı 21 hasta (8 kadın, 13 erkek; ort. yaşı $50,6 \pm 20,4$) ve kontrol grubu olarak 20 hasta (8 kadın, 12 erkek; ort. yaşı $28,4 \pm 7,2$) alındı. Sağ ventrikül triküspit anüler düzeyden, mid düzeyden ve RVOT düzeyinden (diastolik çap-sistolik çap/diyastolik çap $\times 100$) formülü ile fraksiyonel kısalma hesaplandı. Sağ ventrikül ejeksiyon fraksiyonu elipsoidal yöntemle sağ ventrikül volumleri bulanarak hesaplandı.

Bulgular: Grup 1 ve grup 2 ayrı ayrı grup 3 ile karşılaştırıldıklarında RV EF% ($34 \pm 9,5 - 64 \pm 5$; $p < 0,016$ ve $37 \pm 8,5 - 64 \pm 5$; $p < 0,016$), Triküspit anüler FS% ($32 \pm 5,8 - 48 \pm 5,6$; $p < 0,016$ ve $35 \pm 0,1 - 44 \pm 5$; $p < 0,016$), RV mid bölge FS% ($34 \pm 8,2 - 52 \pm 6,7$; $p < 0,016$ ve $34 \pm 8,8 - 52 \pm 6,7$; $p < 0,016$) ve RV çıkış yolu (RVOT) FS% ($37 \pm 9,5 - 58 \pm 3,9$; $p < 0,016$ ve $37 \pm 0,2 - 58 \pm 3,9$; $p < 0,016$) anlamlı farklılıklar saptandı. Tüm gruplar göz önüne alındığında RV mid bölge FS' i korelasyon analizlerinde daha anlamlı bulundu. ($r = 0,67$, $p < 0,01$)

Sonuç: Anatomi M mode ile ölçülen fraksiyonel kısalma, sağ ventrikül sistolik fonksiyonlarının değerlendirilmesinde kolay uygulanabilir, çubuk sonu veren bir yöntem olarak kullanılabilir.

Tablo. Sağ ventrikül basınç yüklenmesi olanlarda sağ ventrikül sistolik fonksiyon parametrelerinin karşılaştırılması

	Grup 2(basınç yüklenmesi)	Grup 3(kontrol)	p değeri
RVEF(%)	37±8,5	64±5	<0,016
Tri.an.FS	35±0,1	48±5,6	<0,016
Mid RVFS	34±8,8	52±6,7	<0,016
RVOTFS	37±0,2	58±3,9	<0,016
TAPSE	20,7±6	25,6±4	<0,016

RVEF: Sağ Ventrikül Ejeksiyon Fraksiyonu Tri.an.FS: Triküspit anüler fraksiyonel kısalma Mid RVFS: Mid sağ ventrikül anüler fraksiyonel kısalma RVOTFS: Sağ ventrikül çıkış yolu anüler fraksiyonel kısalma TAPSE: Triküspit anüler sistolik excursion

Tablo. Sağ ventrikül volum yüklenmesi olanlarda sağ ventrikül sistolik fonksiyon parametrelerinin karşılaştırılması

	Grup 1(volum yüklenmesi)	Grup 3(kontrol)	p değeri
RVEF(%)	34±9,5	64±5	<0,016
Tri.an.FS(%)	32±5,0	48±5,6	<0,016
Mid RVFS(%)	34±8,2	52±6,7	<0,016
RVOTFS(%)	37±9,5	58±3,9	<0,016
TAPSE(mm)	23,3±8	25,6±4	AD

RVEF: Sağ Ventrikül Ejeksiyon Fraksiyonu Tri.an.FS: Triküspit anüler fraksiyonel kısalma Mid RVFS: Mid sağ ventrikül anüler fraksiyonel kısalma RVOTFS: Sağ ventrikül çıkış yolu anüler fraksiyonel kısalma TAPSE: Triküspit anüler sistolik excursion AD: Antlamış değil

P-170

Acute Type I aortic dissection presentation as fever

Çağrı Yayıla, Erhan Yazıcı, Azmi Eyiol, Eser Açıkgöz, Ersin Çağrı Şimşek, Asife Şahinarslan

Department of Cardiology, Gazi University Faculty of Medicine, Ankara

P-171

The importance of fractional shortening measured by anatomic M mode in showing right ventricular functions

Kemal Karaağac, Mustafa Kuzeytemiz, Dursun Topal, Burhan Arslan, Muhammed Şentürk, Mustafa Yılmaz, Tezcan Peker, Fatma Özlem Arican Özlu

Department of Cardiology, Bursa Yüksek İhtisas Training and Research Hospital, Bursa

P-172

Mitral stenoz ve miyokardiyal köprüleşmenin eşlik ettiği geniş sol atriyal trombüse açılan koroner fistül olgusu ve derleme

Bernas Altıntaş¹, Erkan Baysal¹, Derya Deniz Altıntaş², Alex Değirmencioğlu³, Halil Akın⁴

¹Diyarbakır Eğitim ve Araştırma Hastanesi, Kardiyoloji Kliniği, Diyarbakır

²Diyarbakır Eğitim ve Araştırma Hastanesi, Radyoloji Kliniği, Diyarbakır

³Maslak Acıbadem Hastanesi, Kardiyoloji Kliniği, İstanbul

⁴Cizre Devlet Hastanesi, Kardiyoloji Kliniği, Şırnak

P-172

A case report and review; coronary artery fistula within large left atrial thrombus in mitral stenosis and myocardial bridging

Bernas Altıntaş¹, Erkan Baysal¹, Derya Deniz Altıntaş², Alex Değirmencioğlu³, Halil Akın⁴

¹Department of Cardiology, Diyarbakır Education and Research Hospital, Diyarbakır

²Department of Radiology, Diyarbakır Education and Research Hospital, Diyarbakır

³Department of Cardiology, Acıbadem Maslak Hospital, İstanbul

⁴Department of Cardiology, Cizre State Hospital, Şırnak

Coronary artery fistula, which connections are present between the coronary artery branches and cardiac chambers or major vessels, are not only a rare form of congenital anomalies of coronary arteries but also acquired (e.g. iatrogenic, cardiac trauma neovascularity in association with cardiac neoplasm and growing mural thrombus). Although half of the patients with a coronary artery fistula remain asymptomatic, these fistulas can cause an important coronary morbidity and mortality leading to angina, syncope, congestive heart failure, myocardial infarction and sudden death. We could not find any reports of coronary artery fistula between RCA and LA with rheumatic mitral stenosis, and myocardial bridge lesion, on searching the literature and Medline. Diagnosis is confirmed by echocardiography and coronary angiography and can be precisely located by multislice CT-scan. In this case, a patient has a myocardial bridging in Septal branch of Left Anterior Descending Artery and rheumatic mitral stenosis with coronary artery fistulae that have originated from Right Coronary Artery Branches and drainage into the large left atrial thrombus.



Fig. 1. Mitral stenosis

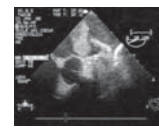


Fig. 2. Left atrial thrombus



Fig. 3. The conus and posterolateral branches of RCA fistulized to mural thrombus adherent to the LA wall.

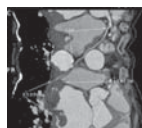


Fig. 4. MSCT demonstrated conus and posterolateral branches of RCA fistulized to mural thrombus adherent to the LA wall. RCA fistulized to mural thrombus adherent to the LA wall

P-173

Subklinik hipotiroidi bulunan hastalarda levotiroksinin aortik sertlik üzerine etkisi

Üğur Canpolat¹, Asena Gökçay Canpolat², Levent Şahiner¹, Hamza Sunman¹, Muhammed Dural¹, Ergün Barış Kaya¹, Lale Tokgözoglu¹, Giray Kabakçı¹, Ali Oto¹, Kudret Aytemir¹

¹Hacettepe University Faculty of Medicine, Department of Cardiology, Ankara

²Hacettepe University Faculty of Medicine, Department of Internal Medicine, Ankara

P-173

Effect of levothyroxine on aortic stiffness in patients with subclinical hypothyroidism

Üğur Canpolat¹, Asena Gökçay Canpolat², Levent Şahiner¹, Hamza Sunman¹, Muhammed Dural¹, Ergün Barış Kaya¹, Lale Tokgözoglu¹, Giray Kabakçı¹, Ali Oto¹, Kudret Aytemir¹

¹Hacettepe University Faculty of Medicine, Department of Cardiology, Ankara

²Hacettepe University Faculty of Medicine, Department of Internal Medicine, Ankara

Background: The effect of treatment for subclinical hypothyroidism (SCH) on various cardiovascular functions has been studied previously, but on aortic stiffness has not been clearly defined yet. We aimed to evaluate the effect of levothyroxine on aortic stiffness.

Methods: We prospectively enrolled 30 patients with SCH and 30 healthy subjects. Aorta-diastolic and aorta-systolic diameters, aortic strain, aortic distensibility, aortic elastic modulus and aortic stiffness index were calculated from transthoracic echocardiographically derived diameters of thoracic aorta.

Results: Aortic distensibility ($\text{mean} \pm \text{SD}$; $2.2 \pm 0.9 \text{ cm}^2 \times \text{dyn}^{-1} \times 10^{-6}$ vs $4.1 \pm 1.1 \text{ cm}^2 \times \text{dyn}^{-1} \times 10^{-6}$, $p=0.001$) and aortic strain index ($\text{mean} \pm \text{SD}$; $5.9 \pm 1.1\%$ vs $8.7 \pm 2.1\%$, $p=0.003$) were lower; aortic stiffness index ($\text{mean} \pm \text{SD}$; 26.2 ± 10.1 vs 19.7 ± 6.1 , $p=0.004$) and aortic elastic modulus ($\text{mean} \pm \text{SD}$; $0.84 \pm 0.2 \text{ cm}^2 \times \text{dyn}^{-1} \times 10^{-6}$ vs $0.42 \pm 0.2 \text{ cm}^2 \times \text{dyn}^{-1} \times 10^{-6}$, $p=0.006$) were higher in patients with SCH compared with healthy subjects. There was no difference between two groups for following clinical variables: aorta-diastolic and systolic diameters, systolic and diastolic blood pressure, pulse pressure, E/A, weight, height, and body mass index. After 6th week levothyroxine therapy, aortic distensibility ($p<0.001$) increased, aortic stiffness index ($p=0.002$) and aortic elastic modulus ($p<0.001$) decreased prominently.

Conclusion: In patients with SCH, treatment with levothyroxine had a significant beneficial effect on aortic stiffness parameters.

İntraperkardiyal kurşun

Kivanç Yalın, Ebru Golcuk, Cansu Selcan Akdeniz, Taner Goren
İstanbul Üniversitesi Tip Fakültesi Kardiyoloji Anabilim Dalı, İstanbul

Intrapercardial bullet

Kivanç Yalın, Ebru Golcuk, Cansu Selcan Akdeniz, Taner Goren
Istanbul University, Istanbul Faculty of Medicine, Department of Cardiology

Intrapercardial bullet with no associated injury in the myocardium is rare. Patients with intrapercardial bullets can remain asymptomatic, pericarditis with or without pericardial effusion, or tamponade can be seen. In this work, we report a case with pericardial effusion and intrapercardial bullet. A 21 Year old male patient presented to our clinic complaints of mild chest pain on left hemithorax. He has a history of aggression by firearms four days ago. On physical examination, orifice made by meandering bullet on entry was found in subxyphoid region. In the PA chest radiography, with the patient standing, the bullet was located in the projection heart area. The electrocardiogram was normal. The patient underwent an echocardiography which showed moderate pericardial effusion and an intrapercardial bullet adjacent to the right ventricular free wall (See images). After an urgent surgery consultation, the patient underwent successful surgical removal performed to intrapercardial bullet. There was no damage to the myocardium. He was discharged from the hospital on the seventh postoperative day and he was asymptomatic during follow up of three months.

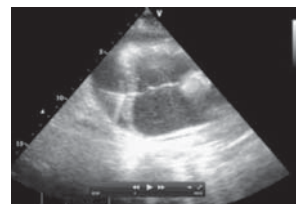


Fig 1. Echocardiogram 1



Fig 2. Echocardiogram 2

Açık oval foramen hastalarında ortalama trombosit hacmi artmıştır

Bülent Demir¹, İlker Murat Çağlar¹, İsmail Üngan¹, Murat Uğurlucan², Hande Oktay Türel¹, Osman Karakaya¹

¹Bakırköy Dr. Sadi Konuk Eğitim ve Araştırma Hastanesi, Kardiyoloji Kliniği, İstanbul

²Düzce Ataturk Devlet Hastanesi, Kalp Damar Cerrahisi Kliniği, Düzce

Mean platelet volume is elevated in patients with patent foramen ovale

Bülent Demir¹, İlker Murat Çağlar¹, İsmail Üngan¹, Murat Uğurlucan², Hande Oktay Türel¹, Osman Karakaya¹

¹Department of Cardiology, Bakırköy Doctor Sadi Konuk Education and Research Hospital, İstanbul

²Düzce Ataturk State Hospital, Department of Cardiovascular Surgery, Düzce

Background and Purpose: Platelets play a major role in thromboembolic events. Increased mean platelet volume (MPV), indicates higher platelet reactivity and also tendency to thrombosis. Patent foramen ovale (PFO), persistence of the fetal anatomic shunt between right and left atria, is strongly associated with cryptogenic stroke. The aim of this study is to determine the relationship between MPV and PFO and if such an association exists, whether higher MPV levels may require antiplatelet therapy before thromboembolic event happens together with literature review.

Patients and Methods: Thirty patients (15 women, 15 men), free of any cerebrovascular events, were diagnosed as PFO with transesophageal echocardiography (TEE), enrolled as study group. Thirty consecutive patients (16 women and 14 men), who were diagnosed as normal in TEE, were enrolled as control group. These two groups compared according to MPV and anatomical features of right atrium.

Results: There was no significant difference between study and control groups as in clinical features and also no difference was observed in platelet counts; however, MPV in PFO group was significantly higher than the control group (8.38 ± 0.93 fL and 7.45 ± 0.68 fL respectively).

Conclusions: Our results indicate that PFO is associated with elevated MPV, and this might be one of the explanations for the relationship between PFO and cryptogenic stroke; however, larger cohorts are warranted in order to define further mechanisms.

Table 1. Laboratory findings of PFO and control groups			
MPV (fL)	8.38 ± 0.93	7.45 ± 0.68	0
Hemoglobin (g/dL)	10.64 ± 1.20	9.97 ± 1.48	0.940
Hb (mg/dL)	37.83 ± 5.77	24.40 ± 8.22	0.020
Hematocrit (%)	37.94 ± 5.08	32.64 ± 5.30	0.010
TIBC (mg/dL)	289.80 ± 33.77	277.07 ± 36.36	0.000
GSI (mg/dL)	107.80 ± 32.42	103.07 ± 36.85	0.000
HbG (mg/dL)	40.83 ± 11.30	41.37 ± 13.57	0.000
TG (mg/dL)	58.86 ± 45.30	34.88 ± 41.62	0.000
Hemoglobin (g/L)	10.61 ± 1.00	9.94 ± 1.28	0.000
WBC (10 ³ /µL)	7.41 ± 1.9	7.11 ± 2.2	0.000
Platelet count (x10 ³)	304.33 ± 53.7	264.01 ± 19.9	0.000
MPV (fL)	7.41 ± 0.68	8.38 ± 0.93	0.000

PFO: patent foramen ovale, fL: folic acid, g/dL: g/dL, mg/dL: mg/dL, g/L: g/L, WBC: white blood cell, µL: microliter, MPV: mean platelet volume.

Table 2. Anatomic and procedural features			
PFO diameter, mm	4.81 ± 3.93	0.000	0
Atrial Septal Aneurysm, n (%)	12 (40)	0.000	0
Chronic Heart Failure, n (%)	8 (27)	0.000	0
Stroke, n (%)	10 (33)	0.000	0
Spontaneous right-left shunt, n (%)	32 (94)	0.000	0
Degree of shunt, n (%)	0	0.000	0
Large (P20 microbubbles)	23 (77)	0.000	0
Small (P20 microbubbles)	7 (22)	0.000	0

Table 3. Clinical and demographic features of patients			
Age (years)	49.60 ± 10.36	57.70 ± 10.26	0.000
Sex (male)	15/30	20/30	0.000
Smoker	0	0	0.000
Family history	0	7	0.760
Smoking in family	0 (0%)	5 (17%)	0.049
Oral contraceptives	1	1	0.000
COPD	0	1	0.000
HTN (%)	24.67 ± 10.61	36.33 ± 10.29	0.000

N: male, M: female, HTN: hypertension, Hb: hemoglobin, MPV: mean platelet volume, TIBC: total iron binding capacity.

Table 4. Correlation of MPV with anatomical and procedural features				
PFO	0.000	0.000	0.000	0.000
Spontaneous shunt	0.000	0.000	0.000	0.000
Degree	0.000	0.000	0.000	0.000
Atrial septal aneurysm	0.000	0.000	0.000	0.000
MPV (fL)	0.000	0.000	0.000	0.000

No significant correlation of MPV with anatomical and procedural features as: PFO diameter, spontaneous shunt, shunt degree, atrial septal aneurysm, eustachian valve, was found

Metabolik sendromda sol atriyal volüm parametrelerinin karşılaştırılması

Kemal Karaağac¹, Alkame Akgümüş², Fatma Özlem Özlu³, Mustafa Kuzeytemiz², Muhammed Şentürk¹, Tezcan Peker¹, Mustafa Yılmaz²

Bursa Yüksek İhtisas Eğitim ve Araştırma Hastanesi, Kardiyoloji Bölümü, Bursa

Amaç: Bu çalışmada, metabolik sendrom tanısı konulmuş hastalarda sol atriyal volüm parametrelerini konvansiyonel metodlar ve yeni ekokardiyografik parametreleri kullanarak değerlendirmeyi amaçladık.

Çalışma Planı: Çalışmaya toplam 64 hasta alındı. Bunların 32'sine (12 kadın, 20 erkek; ort. yaşı 40 ± 8) Uluslararası Diyabet Birliği ölçütlerine göre metabolik sendrom tanısı kondu. Otuz iki hasta (14 kadın, 18 erkek; ort. yaşı 40 ± 6) kontrol grubu olarak çalışmaya alındı. Sol atriyum volümüleri apikal dört boşluk ve iki boşluk görüntülerden biplan alan uzunluk yöntemi kullanarak hesaplandı. Sol atriyum maksimum volümü (LAVmax) vücut yüzey alanına bölünerek LAVmax indeksi elde edildi. Tüm volümler (Pasif boşalma volümü, aktif boşalma volümü ve conduit volüm) daha sonra LAVmax indeks'e bölünderek düzeltildi.

Bulgular: Metabolik sendromlu (grup 1) hastalar kontrol grubu (grup 2) ile karşılaştırıldıklarında LA volüm indeksi(cm^3/m^2) (19.5 ± 1.8 ve 15.5 ± 2.7 , $p < 0.001$), LA aktif boşalma(cm^3) (0.95 ± 0.2 ve 0.28 ± 0.1 , $p < 0.001$), LA pasif boşalma(cm^3) (0.32 ± 0.1 ve 0.42 ± 0.15 , $p < 0.001$) ve LA conduit volüm (cm^3) (1.76 ± 0.85 ve 3.79 ± 1.55 , $p < 0.01$) değerleri arasında anlamlı farklılık saptandı. Metabolik sendromlu hastalarda diastolik disfonksiyonu olanlar (grup A) ve diastolik disfonksiyonu olmayanlar (grup B) karşılaştırıldıklarında karşılaştırıldıklarında LA volüm indeksi (cm^3/m^2) (20.35 ± 1.8 ve 18.85 ± 1.7 , $p < 0.03$) diastolik fonksiyonu olan metabolik sendromlu hastalarda anlamlı derecede yüksek saptandı.

Sonuç: Metabolik sendromlu hastalarda sol atriyal yeniden şekillenmesi meydana gelmektedir bunu bağlı olarak sol atriyal fonksiyonları etkilemektedir. Diastolik disfonksiyon gelişmesiyle kompansasyon amacıyla başlangıçta atriyal kontraksiyonlar da artmaktadır. Bu bulgular bize metabolik sendromlu hastalarda sol atriyal fonksiyonlarının etkilendiğini gösterdi.

Diyastolik disfonksiyonlu metabolik sendrom hastalarında sol atriyal volümler

	Grup A(n=13)	Grup B(n=19)	P deðeri
LA maksimum volüm indeksi(cm^3/m^2)	$20,35 \pm 1,8$	$18,95 \pm 1,7$	0,03
LA aktif boşalma volümü	$0,99 \pm 0,17$	$0,92 \pm 0,21$	0,3
LA pasif boşalma volümü	$0,28 \pm 0,07$	$0,35 \pm 0,1$	0,07
LA conduit volüm	$1,6 \pm 0,5$	$1,8 \pm 0,9$	0,3

Metabolik sendromda sol atriyal volümleri karşılaştırılması

	Grup 1 (n=32)	Grup 2 (n=32)	P deðeri
LA maksimum volüm indeksi(cm^3/m^2)	$19,5 \pm 1,8$	$15,5 \pm 2,7$	<0,001
LA aktif emptying volüm(cm^3)	$0,95 \pm 0,2$	$0,28 \pm 0,1$	<0,001
LA pasif emptying volüm(cm^3)	$0,32 \pm 0,1$	$0,42 \pm 0,15$	<0,001
LA conduit volüm(cm^3)	$1,76 \pm 0,85$	$3,79 \pm 1,55$	<0,001

Pulmoner akselerasyon zamanı ve bundan hesaplanan ortalama pulmoner arter basıncı ve pulmoner vasküler rezistansın tekrarlanabilirliği

Vehid Oduncu¹, İbrahim Halil Tanboğa², Mustafa Kurt³, Ayhan Erkol⁴, Taylan Akgün⁵, Can Yücel Karabay⁵, Arif Oğuzhan Çimen¹, Atilla Bitigen¹

¹Medical Park Hastanesi, Kardiyoloji Bölümü, İstanbul

²Atatürk Üniversitesi Tıp Fakültesi Kardiyoloji Anabilim Dalı, Erzurum

³Mustafa Kemal Üniversitesi Tip Fakültesi, Kardiyoloji Anabilim Dalı, Hatay

⁴Kocaeli Derince Eğitim ve Araştırma Hastanesi, Kardiyoloji Bölümü, Kocaeli

⁵Kartal Koşuyolu Yüksek İhtisas Eğitim ve Araştırma Hastanesi, Kardiyoloji Bölümü, İstanbul

Giriş: Trikuspit yetersizliği (TY) velocitiesinden hesaplanan sistolik pulmoner arter basıncı (PAP) ve pulmoner vasküler rezistansının (PVR) tekrarlanabilirliğinin iyi olduğu gösterilmiştir. TY saptanmadığı durumlarda ise pulmoner akselerasyon zamanı (PAT) ve bundan elde edilen ortalama PAP ve PVR kullanılmıştır. Ancak PAT'ın tekrarlanabilirliği kapsamlı bir biçimde test edilmemiştir. Biz bu çalışmamızda PAT ve bundan elde edilen PVR, ortalama PAP'ın tekrarlanabilirliğini test etmeye çalıştık.

Yöntem: Çalışmamızda toplam 30 tane pulmoner hipertansiyon hastası almıştır. Bu hastalardan; PAT ve bundan elde edilen ortalama PAP ve PVR(1) ile TY velocitiesi ve bundan elde edilen sistolik PAP, ve PVR(2), iki bağımsız kardiyolog tarafından ölçülülmüştür. Gözlemeçler arası uyumun ölçülmesinde Bland-Altman analizi ve Intraclass correlation coefficient (ICC) kullanılmıştır.

Bulgular: Çalışma bulgularımız PAT, ortalama PAP ve PVR-1'in gözlemeçler arası tekrarlanabilirliğinin, TY'den hesaplanan sistolik PAP ve PVR-2'ye göre daha düşük olduğunu göstermiştir (tablo).

Sonuç: Pulmoner akselerasyondan hesaplanan pulmoner arter basıncı ve pulmoner vasküler rezistansın gözlemeçler arası tekrarlanabilirliği düşüktür. Pulmoner akselerasyondan hesaplanan basıncı ve rezistans değerleri yorumlanırken, bu kısıtlı göz önünde bulundurulmalıdır.

Tablo. Gözlemeçler arası tekrarlanabilirlik ve ölçüm farkları

	Gözlemeç 1	Gözlemeç 2	Ortalama fark ve Bland-Altman %95 uyum sınırı	ICC (95% CI)
PAT	$59,8 \pm 13,5$	$56,6 \pm 13,9$	$3,2 \pm 22,28,7$	$0,55(0,07-0,82)$
Ortalama PAP	$52,4 \pm 9,5$	$53,5 \pm 6,2$	$-1(-12,5,10,4)$	$0,54(0,05-0,81)$
PVR-1	$3,23 \pm 1,30$	$3,13 \pm 2,73$	$0,10(-4,4,-4,6)$	$0,43(-0,08-0,95)$
TY velocitiesi	$4,34 \pm 0,68$	$4,34 \pm 0,59$	$-0,04(-0,41,0,34)$	$0,95(0,87-0,98)$
Sistolik PAP	90 ± 21	91 ± 18	$-0,9(-13,2,11,5)$	$0,95(0,85-0,98)$
PVR-2	$3,41 \pm 1,6$	$3,13 \pm 1,20$	$0,28(-0,88,1,45)$	$0,91(0,76-0,97)$

Comparison of left atrial volume parameters of metabolic syndrome

Kemal Karaağac¹, Alkame Akgümüş², Fatma Özlem Özlu³, Mustafa Kuzeytemiz², Muhammed Şentürk¹, Tezcan Peker¹, Mustafa Yılmaz²

Department of Cardiology, Bursa Yüksek İhtisas Training and Research Hospital, Bursa

P-178

Ergotamin-türevi dopamin agonisti kullanan parkinson hastalarında sol ve sağ ventrikül fonksiyonlarının konvansiyonel ve doku doppler ekokardiyografi ile değerlendirilmesi

Necla Özer, Hikmet Yorgun, Uğur Canpolat, Hamza Sunman, Muhammed Dural, Ulvi Yalçın, Enver Atalar, Serdar Aksöyek, Kenan Övünç, Ferhan Özmen

Hacettepe Üniversitesi, Kardiyoloji Anabilim Dalı, Ankara

P-178

Left and right ventricular functions assessed by conventional echocardiography and tissue Doppler imaging in parkinson patients using ergotamine-derived dopamine agonist

Necla Özer, Hikmet Yorgun, Uğur Canpolat, Hamza Sunman, Muhammed Dural, Ulvi Yalçın, Enver Atalar, Serdar Aksöyek, Kenan Övünç, Ferhan Özmen

Department of Cardiology, Hacettepe University, Ankara

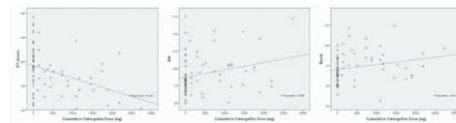
Background: In this study, we aimed to evaluate both right and left ventricular functions by tissue Doppler imaging and conventional echocardiography as well as diastolic functions and valvular effects of cabergoline use in patients with Parkinson's disease.

Methods: In this observational study, we enrolled a consecutive subset of 34 patients (41.2% female, mean age; 57.4±15.3 years) with Parkinson disease using cabergoline and 42 healthy control subjects (61.9% female, mean age; 53.7±7.1 years). In addition to conventional echocardiography and diastolic functions, tissue Doppler echocardiography was used to evaluate global systolic functions using commercially available machine (Vingmed System Five GE ultrasound, Horten, Norway, 2.5–3.5 mHz phased array transducer).

Results: In patients with Parkinson disease cabergoline was used for 7.7±5.1 years and mean and cumulative cabergoline dose were 3.3 ± 1.1 mg and 9.8 ± 7.0 g respectively. The tissue Doppler measurements of septal and lateral mitral annulus and right ventricular velocities were similar between groups. The association between cumulative cabergoline dose and diastolic functions was also evaluated which revealed that among diastolic function parameters, Epeak ($r: 0.253, p=0.042$), E/A ($r: 0.256, p=0.026$) and DT ($r: -0.382, p=0.001$) were correlated with cumulative cabergoline dose. There was a positive correlation between cumulative cabergoline dose and duration of cabergoline therapy with composite regurgitation score ($r: 0.435, p<0.001$; $r: 0.485, p<0.0001$, respectively).

Conclusion: Our findings indicated that despite the well known effects of cabergoline on valvular functions, we did not observe any alteration in systolic functions but diastolic functions which was associated with cumulative cabergoline dose in patients with Parkinson's disease.

Figure 1.



P-179

Mustard prosedürü ile opere edilmiş büyük arterlerin D-transpozisyonunun yirmi yıllık takibi: Olgu sunumu

Berkay Ekici¹, Ziya Apaydın¹, Hasan Fehmi Töré¹, Coşkun İkizler²

¹Ufuk Üniversitesi Tip Fakültesi, Kardiyoloji Anabilim Dalı, Ankara

²Ufuk Üniversitesi Tip Fakültesi, Kalp Damar Cerrahisi Anabilim Dalı, Ankara

P-179

Twenty year follow-up of the operated D-transposition of the great arteries with Mustard procedure: a case report

Berkay Ekici¹, Ziya Apaydın¹, Hasan Fehmi Töré¹, Coşkun İkizler²

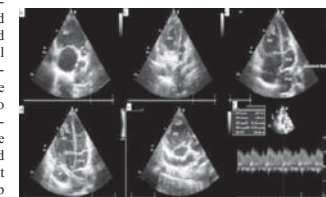
¹Ufuk University, Faculty of Medicine, Department of Cardiology, Ankara

²Ufuk University, Faculty of Medicine, Department of Cardiovascular Surgery, Ankara

Transposition of the great arteries (TGA) is a rare disease representing not more than 3-5% of all congenital heart diseases. The prognosis of this malformation has been transformed by the development of neonatal cardiac surgery. In this case, we present a 20 year old male patient who had been operated for d-TGA in infancy.

Case: A 20 year old man with d-TGA, who had undergone a Mustard procedure at age 9 months, presented with chest discomfort, exertional dyspnea and fatigue. He had no history of smoking or significant pulmonary disease. On cardiac auscultation, the patient had a grade 2/6 pansystolic murmur best heard at lower left sternal border. The ECG revealed sinus rhythm, right ventricular (RV) hypertrophy, right axis deviation, incomplete RBBB and persistent juvenile T wave pattern. A chest x-ray showed mild cardiomegaly. A transthoracic echocardiogram (TTE) revealed moderate pulmonary venous baffle obstruction with a mean gradient of 14 mmHg (Fig 1). The inferior and superior vena cava pathways were widely patent. He had moderate RV enlargement with an ejection fraction of 50%. Serial cardiac enzymes were normal. Cardiac catheterization was offered but the patient refused this procedure. Carvedilol and acetylsalicylic acid were administered and the patient was invited for periodic follow-up visits twice a year. At the follow-up evaluation, the patient's NYHA class remains stable and no significant disease progression was observed.

Discussion: D-TGA is a cardiac anomaly in which the aorta arises entirely or largely from the morphological RV and the pulmonary artery from the morphological left ventricle (LV). This is called a discordant ventriculoarterial connection and when accompanied by an discordant atrioventricular connection it is called a complete or d-TGA. Nowadays, an early anatomic correction using the arterial switch operation is the treatment of choice. Up to the 1980s, an atrial switch operation according to Senning/Mustard was performed. Mustard operation is defined as correction of abnormal blood circulation due to the d-TGA by creating an intraatrial baffle that partitions the atrium and directs the pulmonary venous blood through the RV opening and the systemic venous blood through the mitral valve into the LV. In spite of significant improvements in outcome, adults surviving the Mustard procedure continue to be at risk of premature death, cardiac failure and arrhythmias. TTE plays a key role in the assessment of d-TGA. It is useful for the diagnosis and follow up of the d-TGA. The case is interesting because it presents 20 year follow-up of a male patient with d-TGA who underwent a Mustard operation. It is also important that the patient had no significant complaints and his body mass index was similar to his peers. Also its interesting that there is no detected arrhythmia. As a result, we can say that clinicians should be aware of symptoms and complications of the patients who underwent the Mustard operation in follow up.



The aorta connected to the right ventricle, and the pulmonary artery connected to the left ventricle, exactly the opposite of the normal heart's anatomy. This is the finding of our case. The Mustard operation as applied to patients with d-transposition of the great arteries employs a baffle to direct oxygenated pulmonary venous return into the right atrium and thence into the right ventricle which is the pumping ventricle for the aorta and the systemic circulation (marked by arrows c,d). A baffle to redirect caval blood flow to the left atrium which is the pumping ventricle for the pulmonary veins (marked by arrow b). The Mustard operation creates a central atrial defect (marked by arrow a). Moderate pulmonary venous baffle obstruction with a mean gradient of 14 mmHg (f). Ao: aorta; LV: left ventricle; RV: right ventricle; PA: pulmonary artery; PIA: pulmonary venous atrium; SVA: systemic venous atrium

P-180

Bozulmuş açlık glukozunun sol atriyal ileti sürelerine olan etkisi

S. Selim Ayhan¹, Serkan ÖzTÜRK¹, Aytekin Alçelik², Mehmet Fatih Özlü¹, Alim Erdem¹, Tolga Memişoğlu¹, Mesut Özdemir¹, Mehmet Yazıcı¹

¹Abant İzzet Baysal Üniversitesi Bolu Tıp Fakültesi Araştırma ve Uygulama Hastanesi, Kardiyoloji Bölümü, Bolu

²Abant İzzet Baysal Üniversitesi Bolu Tıp Araştırma ve Uygulama Hastanesi, İç Hastalıkları Anabilim Dalı, Bolu

Giriş: Doku Doppler görüntüleme ile elde edilen uzamış atriyal ileti süresinin atriyal fibrilasyon gelişimi ile ilişkili olduğu gösterilmiştir. Ayrıca, diabiyetes mellitusun atriyal fibrilasyon için bağımsız bir risk faktörü olduğu bilinmektedir. Fakat bozulmuş açlık glukozunun atriyal ileti süreleri üzerine olan etkisi tam olarak bilinmemektedir. Bu çalışmada bozulmuş açlık glukozu olan hastalarda atriyal ileti sürelerinin değerlendirilmesi amaçlandı.

Metod: Bozulmuş açlık glukozu tanısı konulan hastalar çalışmaya dahil edildi. Tüm hastalara 75 gr oral glukoz yüklemeye testi yapıldı. Bozulmuş glukoz toleransı ve 2.saat kan şekeri > 200 mg/dl olan hastalar çalışma dışı bırakıldı. Toplam 30 hasta (19 erkek; ortalama yaşı 46,9±9,5) ve aynı özelliklere sahip 30 sağlıklı birey kontrol grubu olarak çalışmaya dahil edildi. Eş zamanlı alınan elektrokardiografik kayıtkatı P dalgasının başlangıcından, apikal dört boşluk görüntüde doku Doppler görüntüleme ile lateral mitral anulus (PA lateral), septal anulus (PA septal) ve lateral trikuspid anulustan (PA trikuspid) alınan geç diystostoli sinyalini başlangıçına kadar olan süre ölçüldü. Intra (PA lateral-PASEptal) ve interatriyal (PA lateral-PA trikuspid) ileti süreleri hesaplandı. Grupların karşılaştırılmasında Mann-Whitney U testi kullanıldı.

Bulgular: Kontrol grubu ile karşılaştırıldığında bozulmuş açlık glukozu olan hastalarda PA lateral ve PA septal süreleri belirgin olarak yükseltti. Ayrıca bu hastalarda hem interatriyal hem de intraatriyal ileti süreleri anlamlı seviyede uzamış tespit edildi (Tablo 1).

Sonuç: Bozulmuş açlık glukozu hem intraatriyal hem de interatriyal ileti sürelerinin uzamasıyla ilişkilidir. Bozulmuş açlık glukozu, atriyal fibrilasyon gelişiminde bir risk faktörü olabilir.

Tablo 1. Bozulmuş açlık glukozu ve kontrol grubunda atriyal ileti sürelerinin karşılaştırılması

	Bozulmuş açlık glukozu	Kontrol grubu	p değeri
PA lateral	77,0 (11,0)	54,0 (2,5)	< 0,001
PA septum	54,0 (8,5)	44,0 (2,0)	< 0,001
PA trikuspid	39,0 (15,0)	38,0 (1,0)	0,55
Intraatriyal ileti süresi	15,0 (8,5)	7,5 (2,0)	< 0,001
Interatriyal ileti süresi	34,0 (17,0)	17,0 (4,0)	< 0,001

İstatistiksel analiz Mann-Whitney U testi ile yapıldı. Değerler ortanca ve çeyreklerarası aralık kullanılarak verildi. p < 0,05 ise anlamlı olarak kabul edildi.

P-181

Akdeniz bölgesinde kronik romatizmal kalp hastalığı sıklığı ve spektrumu

Dilek Cicek Yilmaz, Eren Guer, Ahmet Çamsari, Türkay Özcan

Mersin Üniversitesi Tip Fakültesi, Kardiyoloji Anabilim Dalı, Mersin

Giriş: Romatizmal kalp hastalığı (RKH) yüksek mortalite ve morbiditeye neden olan ve gelişimi ve gelişmeye olan ülkelerde oldukça farklı yaygınlıkla sahip olan bir hastaluktur. Ekokardiyografi RKH tanısında önemli bir yer tutar. Ekokardiyografik taramanın, klinik tarama ile karşılaştırıldığında prevalansı 10 kat artırdığı tespit edilmiştir.

Bu çalışmada Eriskin Kardiyoloji Polikliniği'ne başvuran 16 yaş üstü erişkin hastalarda RKH sıklığının tespit edilmesi planlandı. Hastanemiz Otomasyon Sistemi kullanılarak 2011 yılı içinde Eriskin Kardiyoloji Polikliniği'ne başvuran ve ekokardiyografi istemi yapılan 4772 hastanın ekokardiyografi raporları incelendi. Romatizmal kalp hastalığı ekokardiyografik tanısı için Dünya Sağlık Örgütü'nün belirlediği kriterler kullanıldı (Tablo 1).

Bulgular: Hastaların yaş ortalaması 44±13 (17-80 yaş arası), 130 'u kadın (%77), 38'i erkek (%33) olarak tespit edildi. 132 hastaya kesin RKH (%79), 36 hastaya muhtemel/olası RKH (%21) tanısı konuldu. Kardiyoloji polikliniğine başvuran hastaların RKH sıklığı % 3,5 (168/4772) olarak tespit edildi. 168 hastanın 70 'inde (%41,7) herhangi bir derecede mitral darlığı mevcutken, 53 hastada (%31,7) değişen derecelerde aort darlığı mevcuttu. Mitral yetmezliği %65 ile en sık görülen kapak patolojisiydi. Mitral ve aort kapak kombiné tutulumu %75,6 olarak tespit edildi. Hastaların 53 'ünde RKH nedeniley protez kalp kapığı mevcuttu. Bu hastaların 22'sinde sadece MVR, 6'sında sadece AVR, 25 hastada ise MVR-AVR beraber yapılmıştı. Hastaların ayrıntılı ekokardiyografik özellilikleri Tablo 2'de verildi. Hastalar cinsiyetlerine göre iki gruba ayrıldığında, iki gru arasında yaş, protez kapak varlığı, mitral darlığı ve yetmezliği, aort darlığı ve yetmezliği, pulmoner arter basıncıları ve kombine kapak tutululumları açısından anlamlı bir fark saptanmadı. Trikuspid darlığı sadece 2 kadın hastada saptanırken, trikuspid yetmezliği de kadın hastalarda daha yüksek olarak tespit edildi (Tablo 3). Çalışmamızda ekokardiyografi istemi yapılan hasta kayıtlarından RKH taraması yaptığımız için bulduğumuz %3,5 değerinin gerçek toplam sıklığının biraz üstünde olduğunu ediyoruz.

Tartışma: Bizim çalışmamızda benzer bir çalışmaya Özer ve ark. Güneydoğu Anadolu Bölgesi'nde 5 yıllık ekokardiyografi kayıtlarını retrospektif tarayarak yapmışlardır. Bu çalışmada RKH sıklığı %4,3 olarak tespit edilmiş, %72'sini kadınların oluşturduğu hasta grubundan (yaş ortalaması 41±14) ciddi kapak lezyonları erkek hastalarda daha fazla gözlemlenmiş. Kombine kapak tutulumu ise iki cinsiyette de benzer bulunmuş. Sani ve ark.'nın Nijerya'da yaptığı bir çalışmada ekokardiyografik tarama sonunda RKH sıklığı %9,8 (yaş ort 24±13) olarak bulmuştur.

Sonuç: Bu sonuçlara göre ülkemizde yetişkinlerde görülen RKH sıklığı az gelişmiş ülkelerdeki rakamların altında olmasına rağmen gelişmiş ülkelerde karşılaştırıldığında hala yüksek kalmaktadır. Bu hastaların tanısında ekokardiyografi kolay ulaşılabilir ve ucuz bir tanı yöntemi olarak altı standarttır.



P-180

The effects of the impaired fasting glucose on left atrial conduction times

S. Selim Ayhan¹, Serkan ÖzTÜRK¹, Aytekin Alçelik², Mehmet Fatih Özlü¹, Alim Erdem¹, Tolga Memişoğlu¹, Mesut Özdemir¹, Mehmet Yazıcı¹

¹Department of Cardiology, Abant İzzet Baysal University Bolu Faculty of Medicine Research and Application Hospital, Bolu

²Department of Internal Medicine, Abant İzzet Baysal University Bolu Faculty of Medicine Research and Application Hospital, Bolu

Ekokardiyografi

Tablo 1. Romatizmal kalp hastalığı tanı kriterleri

Tablo 3. Hastaların cinsiyete göre bazal ve ekokardiyografik özellikleri

	Kadın hasta n=130	Erkek hasta n= 38	p deðerleri
Yaþ (yil)	44±14	46±13	NS
Protez kapak varlığı	43 (%33)	10 (%26)	NS
Mitral darlığı (%/1/2/3)	0,6±0,7	0,5±0,49	NS
Mitral kapak alanı (cm ²)	1,6±0,3	1,5±0,6	NS
Mitral ort. gradiyent (mmHg)	8,2±4,7	7,8±3,5	NS
Mitral yetmezliği (%/1/2/3)	1,3±1,1	1,2±1,1	NS
Aort darlığı (%/1/2/3)	0,5±0,9	0,7±1,0	NS
Aort ort. gradiyent (mmHg)	26,5±13,9	25,6±12,9	NS
Aort yetmezliği (%/1/2/3)	1,1±1,0	1,2±1,1	NS
Trikuspİd yetmezliği (%/1/2/3)	1,3±1,1	0,9±0,9	0,04
Kombiné kapak tutulumu	99 (%77,9)	28 (%73,7)	NS
Plik (mmHg)	42,1±13,7	42,9±16,2	NS

P-182

İkinci atriyal septal defektin üç boyutlu ekokardiyografî rehberliğinde perkütan yolla kapatılması

Sait Demirkol, Cem Barcin, Sevket Balta, Murat Unlu, Zekeriya Arslan, Ugur Kucuk, Mehmet Yokusoglu, Erkan Yildirim

Gülhane Tip Akademisi, Kardiyoloji Anabilim Dalı, Ankara

Tablo 2. Tüm hastaların bazal ve eko-kardiyografik özellikleri

Yas (yıl)	44±13
Cinsiyet (kadın)	130 (%77)
Protek Kapak varlığı	53 (%31.5)
Sadece MYR	22 (%13)
Sadece AVR	6 (%3.6)
Ciddi	25 (%14.9)
İnter darılığı	70 (%41.7)
Hafif	46 (%26)
Orta	21 (%12.5)
Ciddi	3 (%1.6)
Mitral yetmezliği	109 (%64.9)
Hafif	36 (%21.4)
Orta	43 (%26.2)
Ciddi	30 (%17.9)
Aort darılığı	53 (%31.5)
Hafif	27 (%16.1)
Orta	15 (%9.8)
Ciddi	11 (%6.5)
Aort yetmezliği	106 (%63.1)
Hafif	41 (%24.4)
Orta	50 (%29.8)
Ciddi	15 (%9.8)
Triküspid darılığı	2 (%1.2)
Triküspid yetmezliği	116 (%69.0)
Hafif	56 (%33.3)
Orta	33 (%19.6)
Ciddi	27 (%16.1)
Kombin kapak tutulumu	127 (%75.6)

Echocardiography

P-182

Percutaneous closure of second atrial septal defect guidance with three-dimensional transesophageal echocardiography

Sait Demirkol, Cem Barcin, Sevket Balta, Murat Unlu, Zekeriya Arslan, Ugur Kucuk, Mehmet Yokusoglu, Erkan Yildirim

Gulhane Medical Faculty, Department of Cardiology, Ankara



Figure 1. Two dimensional transesophageal echocardiography (TEE) showing second atrial septal defect near the closure device (A), three-dimensional (3D) colour Doppler and zoom modality TEE demonstrating the defect near the closure device (B,C), 3D zoom modality TEE showing the catheter in the defect (D) and 2D and 3D zoom

Progresif sistemik sklerozda ekokardiyografi ve doku Doppler inceleme miyokardiyal tutulumu saptamada duyarlı bir yöntem degildir

Ali Deniz¹, Didem Arslan Taş², Fatih Yıldız², Oğuz Akkuş¹, Onur Kaypaklı¹, İlayda Gülbekir¹, Halil Aktas¹, Mesut Demir¹, Mehmet Kanadaş¹, Eren Erken², Ayhan Ural¹

¹Cukurova Üniversitesi Tıp Fakültesi Kardiyoloji Anabilim Dalı, Adana

²Cukurova Üniversitesi Tıp Fakültesi İç Hastalıkları Anabilim Dalı, Adana

Giriş: Progresif sistemik skleroz (PSSc) intramiyokardiyal koroner arterler ve arteriyoller etkilenen bir kolajen doku hastalığıdır. PSSc'de intramiyokardiyal koroner vazospazma bağlı diffüz ve fokal miyokardiyal fibrosis olduğu belirtilmektedir. Bu çalışmada PSSc'li hastalarda miyokardiyal tutulum hakkında fikir verebilecek olan doku Doppler parametrelerinin incelenmesi amaçlanmıştır.

Yöntem: Çalışmaya PSSc tansısı izlenen 78 hasta ve kontrol grubu olarak 48 sağlıklı birey alınmıştır. Çalışmaya alınan tüm bireyler hastalık durumuna kör olalarak kardiyolog tarafından transtorasik ekokardiyografi ile değerlendirilmiştir. Standart ekokardiyografik inceleme dışında sol ventrikül lateral mitral anulus, septal mitral anulus ve trikuspit anulustan doku Doppler ekokardiyografi ile miyokardiyal velocities değerlendirilmiştir. Kontrol grubu ile PSSc'li hastaların ekokardiyografik verileri karşılaştırılmıştır.

Bulgular: Gruplar arasında yaş ve cinsiyet bakımından anlamlı farklılık saptanmamıştır. (Hasta grubundan ortalamaya yaş: 36±6 yıl, kontrol grubundan ortalamaya yaş: 34±5 yıl, p=0,34; hasta grubunda erkek/kadın: 14/64, kontrol grubundan erkek/kadın: 13/35 p=0,23). Kalp boşlukları boyutları, duvar kalınlıkları, ejeksiyon fraksiyonu ve mitral akımından ölçülen diastolik parametreler gruplar arasında benzer olarak bulundu. Doku Doppler ölçümelerinde gruplar arasında belirgin bir farklılık saptanmadı (Tablo 1).

Sonuç: Çalışmamızda PSSc'li hasta ve kontrol gruplarının ekokardiyografik verileri ve doku Doppler ölçümeleri arasında belirgin farklılık saptanmamıştır. Hastalıkın kardiyak tutulumunun olmaması, varsa tutulumun ekokardiyografi ile belirlenecek düzeye olmaması veya miyokard tutulumunun yamal tarzda olması ile açıklanabilir. Sonuç olarak doku Doppler'i de içeren ekokardiyografik incelemenin PSSc'de miyokardiyal tutulumu göstermede duyarlı bir yöntem olmadığı düşünülmüştür.

	Kontrol	Hasta	p
Aorta (mm)	29±3	28±4	0,72
Sol atriyum (mm)	33±6	32±6	0,49
Septum kalınlığı (mm)	9±1	10±1	0,17
Arka duvar kalınlığı (mm)	11±4	9±1	0,36
Diyastol sonu çap (mm)	45±5	44±4	0,66
Sistol sonu çap (mm)	28±4	27±4	0,36
Ejeksiyon fraksiyonu (%)	64±4	65±3	0,83
E dalga hızı (m/s)	0,67±0,18	0,65±0,17	0,56
A dalga hızı (m/s)	0,64±0,09	0,66±0,19	0,75
E deselerasyon zamanı (ms)	201±60	215±48	0,14
IVRT (ms)	91±2	91±16	0,89
Lateral S (cm/s)	15,3±5	16,4±4,6	0,22
Lateral E (cm/s)	22,4±6,6	20,1±4,7	0,02
Lateral A (cm/s)	21,1±8,3	21,4±5,5	0,80
Septal S (cm/s)	13,1±3,6	15,3±5,5	0,02
Septal E (cm/s)	18,0±4,1	17,9±4,68	0,92
Septal A (cm/s)	18,4±7,6	19,9±5,4	0,13
Trikuspit S (cm/s)	18,0±4,8	19,2±5,5	0,18
Trikuspit E (cm/s)	19,4±5,1	20,4±5,3	0,29
Trikuspit A (cm/s)	22,5±7,0	24,7±6,2	0,08

Echocardiographic and tissue Doppler examination is not a sensitive way of myocardial involvement in progressive systemic sclerosis

Ali Deniz¹, Didem Arslan Taş², Fatih Yıldız², Oğuz Akkuş¹, Onur Kaypaklı¹, İlayda Gülbekir¹, Halil Aktas¹, Mesut Demir¹, Mehmet Kanadaş¹, Eren Erken², Ayhan Ural¹

¹Department of Cardiology, Çukurova University Faculty of Medicine, Adana

²Department of Internal Medicine, Çukurova University Faculty of Medicine, Adana

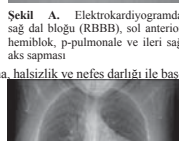
Erişkin bir hastada çift çıkışlı sağ ventrikül

Belma Uygur¹, Süleyman Kalayci², Pınar Türker Bayır², Serkan Duyuler²

¹Karaman Devlet Hastanesi, Kardiyoloji Kliniği, Karaman

²Ankara Türkiye Yüksek İhtisas Hastanesi, Kardiyoloji Bölümü, Ankara

Cift çıkışlı sağ ventrikül her iki büyük arterin basınç olarak sağ ventrikülden ekstrasistola karakterize konjenital bir anomalidir. Geniş bir ventriküler septal defekt (VSD) vardır ve bu sol ventrikülden tek çıkış yoldur. Vakaların çoğu genellikle coğunda konus veya musküler infundibulum büyük damarları destekler. Tamının konulması genellikle çocuk yaşta. Fakat yetişkinlerde de nadiren rastlanabilir. Ekokardiyografik değerlendirme büyük damarların ilişkisi, VSD tipi ve boyutu ve ilişkili başka bir lezon varlığının (pulmoner darlık, atrial septal defekt-ASD vs.) incelemesine dayanır. Büyük damarların ilişkisi nadiren normalde olduğu gibi olabilir ve bu durum Fallot tetralojisi ile karışabilir. Aorta sağda ve pulmoner arterler yan yan olabilir (side-by-side), önde ve sağda (dextromal position) ya da onde sağda (levomalposition) olabilir. Hastaların yaklaşık %50'sine pulmoner darlık eşlik eder. ASD, subaortik darlık, patent duktus arteriosus (PDA) ve mitral kapak anomalilikleri ile de beraberlikler olabilir. 24 yaşındaki kadın hasta kardiyoloji poliklinigine düdüklerla morarmıştu. Son gebelikini sekiz ay önce tamamlayan hastanın iki canlı doğum yaptığı öğrenildi. Dündakları sıyanızca olan hastanın fizik muayenesinde kan basıncı 100/60 mmHg ve kalp hızı 80/dk idi. Kardiyak muayenesinde sol sternal kenarda 3/6 şiddetinde sistolik titürmeli saptandı. Çekilen 12 derivasyonlu elektrokardiyogramında (EKG) sağ dal bloğu, sol anterior hemiblok ve p-pulmonale ve ileri derecede sağ aks izlenmedi (Şekil A). Telekardiyografide kardiyomegalı, sağ boşluklarda ileri derecede genişleşme, hiluslarda dolgunluk ve bronkovaşiküler gölgelenmede artış gözleldi (Şekil B). Tam kan sayımında HGB 20,7 g/dL ve HCT % 63,4 olarak saptandı (polisitemi). Yapılan ekokardiyografide musküler inlet bölgelerde 1,2 cm olan iki adet VSD olduğu ve sağ ventrikülin genişlediği görüldü. Aortik kapagın ön mitral kapakçı ile bağlantısı gösterilmedi. Süperior angulasyon ile her iki büyük arterin sağ ventrikülden çıkıştı görüldü (Şekil C, D). Parasternal kus akslarından aortun aorton onde ve sağda olduğu (levomalposition, L-transpozisyon büyük arterler) saptandı. Aort ve pulmoner kapagi ayrıran fibröz doku olmadığından bu bölgeyi destekleyen musküler infundibulum apikal dört boşluğu yakını bir pencereden gösterdi (Şekil E). Hastada bu anomalide eşlik eden pulmoner darlık saptandi ve CW doppler ile 80 mmHg gradient izlendi. PDA saptanmadı. Hastada çekilen pulmoner BT anjiyografide asendan aorttan orta hattın solunda olduğu ve her iki ventrikülden köken aldığı tespit edildi. Ana pulmoner arter çıkışından hemen sonra 14 mm olarak ölçüldü (Ana pulmoner arter darlığı). Arcusstat ve desendan aortadan orijin alan ve her iki hilier yatağı uzanan en büyüğü 4 mm çapında ölçülen bronşial kolları izlendi (APCA). Her iki ventrikül arasında VSD ile uyumlu görünüm izlendi. Çıkışlı sağ ventrikül, ender de olsa erişkin siyanoz hastalarında görülmeli.



P-185

Bir primer oxalosis olgusunda duktus arteriosusun eşlik ettiği non kompaksiyon kardiyomiyopati

Nurcan Arat¹, Murat Akyıldız², Nuri Barış Hasbal², Yaman Tokat¹, Çavlan Çiftçi¹

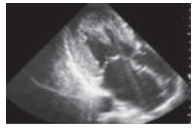
¹İstanbul Bilim Üniversitesi Florence Nightingale Hastanesi, Kardiyoloji Anabilim Dalı, İstanbul

²İstanbul Bilim Üniversitesi Tip Fakültesi, İç Hastalıkları Anabilim Dalı, İstanbul

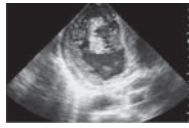
³İstanbul Bilim Üniversitesi Tip Fakültesi, Gastroenteroloji Anabilim Dalı, İstanbul

⁴Florence Nightingale Hastanesi, Genel Cerrahi Bölümü, İstanbul

Primer oxalosis visseral organlarda kalsiyum oksalat birikimini yol açan nadir herediter metabolik bir hastalıktır. Klinik belirtiler çokluştukla böbrekle ilişkili olmakla birlikte kalsiyum oksalat kalp dahil tüm dokularda birikebilir. Burada, bir primer oxalosis olgusu kardiyotutulumu, ekokardiyografik özellikleriyle, literatürde bilgilere göre dahilindeki non kompakte kardiyomiyopatiye eşlik eden patent duktus arteriosus (PDA) birlikte gözlenen ilk primer oxalosis vakası olması nedeniley sunuldu. 19 yaşında erkek hasta primer oxalosis tansıyla kombine karaciger-böbrek transplantasyonu beklemekte iken rutin kardiyak değerlendirme amacıyla kliniğiimize yönlendirildi. Çabuk yorulma dışında kardiyak yakınıması olamay hastada, transstoraksik ekokardiyografide özelleştirilmiş ventriküler septumu tutan sol ventrikül miyokardında granüler ekodens görünümü saptandı. Sol ventrikül apikal bölgede daha belirgin olan kompakte ve non kompakte süngeirmesi trabeküler ağ görünümlü ve sol ventrikülde hafif genleşme ile sol ventrikül sistolik fonksiyonunda hafif bozulma gözleendi.. Sağ ventrikül hafif hipertrofik ve genleşmiş ölüydü. Her iki atriyumda belirgin olarak dilate idi. Ciddi triküspit yetersizliği ve yüksek sistolik pulmoner arter basıncı saptandı. Hafif perikardiyal efuzyon eşlik etmemektedi.. Doppler ekokardiyografi bozulmuş diastolik dolus paterni ile uyumlulu idi. 2D ve Doppler ekokardiyografide sol pulmoner arter yakın bölgeden pulmoner arter giren ve orta de-recede soldan-sağ şant yapan, patent duktus arteriosus saptandı. Geniş patent duktus arteriosus kardiyak kateterizasyonu teyid edilerek, cerrahi olarak kapatılmıştı sonra, hastaya başarılı bir böbrek ve daha sonra da karaciğer nakli yapıldı. Oxalosis ile birlikte hipertrofik kardiyomiyopati varlığı daha önce az sayıda olguda raporlanmış olup, PDA ya da nonkompaksiyon kardiyomiyopati bu hastalarla boylu ilk kez bildirilmektedir. Kardiyotutulumu olan hiperoxalosis olgularında kombine karaciger ve böbrek nakli sonrasında kardiyak iyileşme olduğunu gösteren çeşitli raporlar vardır. Bizim olgumuzda da postoperatif 3. ayda hastanın perikardiyal effüzyonu ve kardiyak çap ve sistolik fonksiyonlarında düzelleşti. Primer oxalosis miyokardda artmış eko yoğunluğunun eşlik ettiği ventriküler hipertrofisin, ekokardiyografik ayricılı takımda da dikkate alınması gereken bir klinik tablodur. Hyperoxalosis olgularında nadir görülen ek doğumsal anomalilerin eklenmesi de klinik tabloyu ve ayrıca tamı karmaşıklıktır.



Resim 1. 2D Transtoraksik ekokardiyografide apikal 3 boyutlu görüntüde sol ventrikül miyokardında ciddi hipertrofi, granüler, eko dens görünümlü ve genleşmiş bir sol atriyum ve sol ventrikül görülmektedir.



Resim 2. Transtoraksik renkli Doppler ekokardiyografide non kompaksiyon kardiyomiyopati



Resim 3. Suprasternal, renkli M mod görüntüde patent duktus arteriosus

P-186

Pulmoner arter diseksiyonunu taklit eden pulmoner arter anevrizmasının birden çok görüntüleme yöntemi ile saptanması

Murat Unlu¹, Sait Demirkol¹, Sevket Balta¹, Zekeriya Arslan¹, Ugur Bozlar², Ugur Kucuk¹, Bulent Karaman², Atilla Ilyasoy¹, Turgay Celik¹

¹Gülhane Tip Akademisi, Kardiyoloji Anabilim Dalı, Ankara

²Gülhane Tip Akademisi, Radyoloji Anabilim Dalı, Ankara

Echocardiography

P-185

Cardiac involvement by primary oxalosis accompanied with non compaction cardiomyopathy and patent ductus arteriosus

Nurcan Arat¹, Murat Akyıldız², Nuri Barış Hasbal², Yaman Tokat¹, Çavlan Çiftçi¹

¹İstanbul Bilim Üniversitesi Florence Nightingale Hastanesi, Kardiyoloji Anabilim Dalı, İstanbul

²İstanbul Bilim Üniversitesi Tip Fakültesi, İç Hastalıkları Anabilim Dalı, İstanbul

³İstanbul Bilim Üniversitesi Tip Fakültesi, Gastroenteroloji Anabilim Dalı, İstanbul

⁴Florence Nightingale Hastanesi, Genel Cerrahi Bölümü, İstanbul

P-186

Pulmonary artery aneurysm mimicking pulmonary artery dissection detected by multimodality imaging

Murat Unlu¹, Sait Demirkol¹, Sevket Balta¹, Zekeriya Arslan¹, Ugur Bozlar², Ugur Kucuk¹, Bulent Karaman², Atilla Ilyasoy¹, Turgay Celik¹

¹Gülhane Medical Faculty, Department of Cardiology, Ankara

²Gülhane Medical Faculty, Department of Radiology, Ankara

Pulmonary artery aneurysm (PAA) is an uncommon lesion, which may be associated with different etiologies including cardiac and pulmonary causes of pulmonary artery hypertension, atherosclerosis, various infections, connective tissue diseases, cystic medial degeneration, trauma, Behcet's disease and Hughes-Stovin syndrome. Idiopathic PAA is diagnosed by exclusion of concomitant major pathology. Idiopathic PAA is more rarely encountered, which is defined as diameter of pulmonary trunk is greater than 30 mm in the absence of a cardiac or pulmonary cause for pulmonary artery dilatation and in the presence of normal pulmonary artery pressure. Patients with idiopathic PAA are generally asymptomatic and has an increased risk for dissection or rupture of the aneurysm, which is a rare but life-threatening event, predisposing to sudden cardiac death or cardiogenic shock. A 23 year-old male patient was admitted to our outpatient clinic because of palpitation and shortness of breath. His medical and family history was unremarkable. The 12-lead electrocardiogram showed a sinus rhythm. Two dimensional transthoracic echocardiography (2D TTE) short axis view showed aneurysmally dilated main pulmonary artery (MPA) (Figure 1A). 2D color Doppler TTE revealed bidirectional flow in main pulmonary artery (Figure 1B). In order to evaluate the bidirectional flow in main pulmonary artery, two and three-dimensional transesophageal echocardiography (2D and 3D TEE) was performed. The pulmonary valve was floppy and first 2 cm of main pulmonary artery had normal diameter. 2D TEE parasternal short axis view showed aneurysmally dilated main pulmonary artery and a membranous structure dividing pulmonary artery into two parts (Figure 1C) and 2D colour Doppler TEE demonstrated a turbulent flow in this area (Figure 1D). 3D TEE parasternal short axis view revealed aneurysmally dilated main pulmonary artery and a membranous structure dividing pulmonary artery into two parts (Figure 2A, arrow). 3D color Doppler TEE demonstrated a turbulent flow in this area (Figure 2B) and 3D TEE after manual cropping revealed membranous structure (Figure 2C, arrow). The pulmonary artery trunk was measured as 53 mm at the widest part. In order to exclude the dissection of the pulmonary artery, we performed Computed Tomographic Angiography which its horizontal (Figure 2D), coronal (Figure 2E) and three-dimensional reconstruction (Figure 2F) images showed pulmonary artery aneurysm and excluded membranous structure and dissection (asterisks). In consequence we thought this membranous structure as a structure adjacent to pulmonary valve or reverberation of pulmonary valve. Although pulmonary artery angiography is considered as the gold standard, TEE and Computed Tomographic Angiography also have significant contributions to the diagnosis of pulmonary artery aneurysm.



Figure 1. Two dimensional transthoracic echocardiography (2D TTE) short axis view showing aneurysmally dilated main pulmonary artery (A) and 2D color Doppler TTE revealing bidirectional flow in main pulmonary artery (B). Two dimensional transesophageal echocardiography (2D TEE) parasternal short axis view showing aneurysmally dilated main pulmonary artery and a membranous structure dividing pulmonary artery into two parts (C, arrow). 2D colour Doppler TEE demonstrating a turbulent flow in this area (D). Ao-aorta, RVOT-right ventricle outflow tract, MPA-main pulmonary artery.

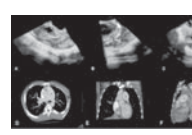


Figure 2. Three-dimensional transesophageal echocardiography (3D TEE) parasternal short axis view showing aneurysmally dilated main pulmonary artery and a membranous structure dividing pulmonary artery into two parts (A, arrow). 3D color Doppler TEE demonstrating a turbulent flow in this area (B) and 3D TEE after manual cropping revealing this membranous structure (C, arrow). 64-slice Computed Tomographic Angiographic horizontal (D), coronal (E) and three-dimensional reconstruction (F) images showed pulmonary artery.

Embolinin olası kaynağı olarak septal poş

Sevket Balta¹, Sait Demirkol¹, Zekeriya Arslan¹, Ugur Kucuk¹, Bulent Karaman², Atilla Iyisoy¹, Murat Unlu¹, Sinan Iscen¹

¹Gulhane Tip Akademisi, Kardiyoloji Kliniği, Ankara

²Gulhane Tip Akademisi, Radyoloji Kliniği, Ankara

Septal pouch as a potential source of emboli

Sevket Balta¹, Sait Demirkol¹, Zekeriya Arslan¹, Ugur Kucuk¹, Bulent Karaman², Atilla Iyisoy¹, Murat Unlu¹, Sinan Iscen¹

¹Gulhane Medical Faculty, Department of Cardiology, Ankara

²Gulhane Medical Faculty, Department of Radiology, Ankara

Double interatrial septum (IAS) is a rare anomaly in which there is a double-walled atrial septum with a persistent midline space between the two atria. A 22-year-old man was admitted to neurology clinic with a complaint of sudden-onset right-sided hemiparesis, aphasia and numbness first time. His symptoms terminated in an one hour. ABCD2 score for TIA was 3. He has not any potential risk factor for embolism such as diabetes mellitus, family history, hypertension, cigarette smoking, dyslipidemia and coagulation system abnormalities. His blood pressure and heart rate were normal. There was nothing remarkable on his physical examination and routine blood sample tests were in normal limits. An electrocardiography obtained revealed a sinus rhythm. Holter ECG for 24 hours didn't reveal any arrhythmias. For further evaluation immediately after TIA he underwent brain computerized tomography (CT), magnetic resonance imaging (MRI), magnetic resonance angiography (MRA) and carotid Doppler ultrasonography respectively. All of these were in normal limits. Clopidogrel and acetyl salicylic acid was started after TIA. He was referred to our cardiology clinic to evaluate the cardiac source of emboli after transient ischemic attack. Transthoracic echocardiography revealed a small lesion in the interatrial septum without other abnormalities (Figure 1A). Transesophageal echocardiography (TEE) was performed two weeks later after TIA. It showed a high mobile membrane adjacent and parallel to the IAS. We defined anatomic and blood flow features by TEE. We described isolated double IAS that is the orifice from the left atrium was unrestrictive, but the orifice to the right atrium was restrictive. We showed turbulent flow with colour Doppler at the orifice of the pouch as an evidence of low circulating flow within it (Figure 1B). Intravenous agitated saline contrast injection excluded the presence of patent foramen ovale (PFO) or interatrial septal defect (ASD) (Figure 1C). In order to better define the cardiac and IAS anatomy a cardiac magnetic resonance imaging (MRI) scan was performed. MRI scan confirmed normal cardiac structure except double IAS (Figure 1D). The anatomic features of double atrial septum are parallel atrial septal structures that form a distinct space between the two atria. A few cases with that anomaly have been reported, most of them with PFO and in some cases with other cardiac malformations. We evaluated cardiac anatomy for cardiac anomalies by MRI. MRI scan and transesophageal echocardiographic study confirmed normal cardiac anatomy except double atrial septum. The presented case demonstrates a rare, previously unrecognized cause for thrombus formation within the interatrial septum in the absence of PFO and ASD for peripheral embolism.

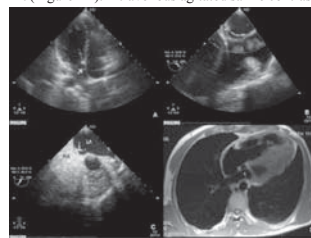


Figure 1. Transthoracic echocardiography displaying a small lesion in the interatrial septum without other abnormalities (A) Transesophageal echocardiography with colour Doppler showing low circulating flow within it (B). Intravenous agitated saline contrast injection excluded the presence of patent foramen ovale (PFO) or interatrial septal defect (ASD) (C). MRI confirming normal cardiac structure except double IAS (D).

Cocukluk çağı astım tedavisinin sol ve sağ ventrikül mekanik fonksiyonları üzerine etkisi

Ahmet Kaya¹, İbrahim Halil Tanboğa², Turgay İşık³, Mustafa Kurt⁴, Selim Topçu², Mustafa Eres⁵, Enbiya Aksakal², Hakan Sögüt⁵

¹Ordu Üniversitesi Tip Fakültesi, Kardiyoloji Anabilim Dalı, Ordu

²Atatürk Üniversitesi Tip Fakültesi, Kardiyoloji Anabilim Dalı, Erzurum

³Balıkesir Üniversitesi Tip Fakültesi, Kardiyoloji Anabilim Dalı, Balıkesir

⁴Mustafa Kemal Üniversitesi Tip Fakültesi, Kardiyoloji Anabilim Dalı, Hatay

⁵Erzurum Bölge Eğitim ve Araştırma Hastanesi, Pediatri Kliniği, Erzurum

Amaç: Pediatrik populasyonda bronşial astım (BA) varlığının doku dopler ile tespit edilebilen subklinik sağ ve sol ventrikül disfonksiyonuna neden olduğu bilinmemektedir. Ancak BA tedavisi ile bunun düzeltilip düzelmediği tam olarak bilinmemektedir. Bu nedenle biz bu çalışmada, BA'lı hastalarda speckle tracking ekokardiyografi (STE) ile değerlendirilen sağ ve sol ventrikül mekanik fonksiyonlarının BA tedavisi sonrası nasıl değişeceğini araştırmayı amaçladık.

Yöntem: Çalışma popülasyonu 18 BA'lı çocuktan oluşmaktadır. Bu hastalara basal transtorasik STE sonrası tedavi verilmiş ve tedaviden 3 ay sonra STE tekrarlanmıştır. STE'de longitudinal strain (LV apikal 4, 3 ve 2 boşluk ile global longitudinal LV strain, global longitudinal RV strain), circumferential strain (kısa eksen mitral ve apikal seviye) ve sol ventrikül apikal ve bazal rotasyonu ve twist mekanikleri kaydedildi. Ayrıca, sol atriyal ve sağ atriyal rezervuar ve pompa strainları ve strain rateleri kaydedildi. İstatistiksel analiz için paired-t testi veya wilcoxon testi kullanıldı.

Bulgular: Çalışmaya toplam 18 BA hastası alındı (yaş ortalaması 11.6±2.0, yaş aralığı 9-15 arası, %50 erkek). Tedavi öncesi ve sonrası ekokardiyografilerinde TAPSE, MAPSE, Sol ventrikül EF ve Kalp hızları için herhangi bir farklılık izlenmedi. STE parametrelerinin analizinde tedavi sonrasında öncesine göre, RV strainrate-S dalgasında artış (1.08 ± 0.29 'a karşı 1.27 ± 0.32 , $p=0.03$) ve sağ atriyal rezervuar strainde artma (18.9 ± 3.1 'a karşı 23.1 ± 3.0 , $p=0.04$) dışında diğer parametreler arasında herhangi bir farklılık tespit edilmedi.

Sonuç: Bronşial astım tedavisi gören hastalarda, tedavi ile sağ ventrikül ve sağ atriyum mekanik fonksiyonlarında artış izlenirken, sol ventrikül ve sol atriyum mekaniklerinde herhangi bir değişiklik izlenmedi. Bu da Bronşial astım tedavisinin sağ kalp fonksiyonları üzerine olumlu etkisini gösterebilir.

Effect of the childhood asthma treatment on left and right ventricular function

Ahmet Kaya¹, İbrahim Halil Tanboğa², Turgay İşık³, Mustafa Kurt⁴, Selim Topçu², Mustafa Eres⁵, Enbiya Aksakal², Hakan Sögüt⁵

¹Department of Cardiology, Ordu University Faculty of Medicine, Ordu

²Department of Cardiology, Atatürk University Faculty of Medicine, Erzurum

³Department of Cardiology, Balıkesir University Faculty of Medicine, Balıkesir

⁴Department of Cardiology, Mustafa Kemal University Faculty of Medicine, Hatay

⁵Department of Pediatrics, Erzurum Bölge Training and Research Hospital, Erzurum

P-189

Mitral stenoz ile birlikte gösteren sol atriyal apendiks stenozu

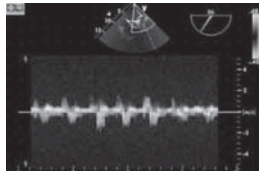
Yakup Alsancak, Gülsen Taçoy, Mehmet Ridvan Yalçın

Gazi Üniversitesi Tip Fakültesi, Kardiyoloji Anabilim Dalı, Ankara

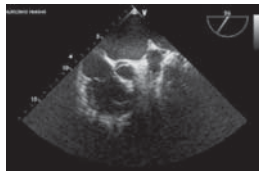
İzole sol atriyal apendiks stenozu, genellikle farklı nedenler dolayısıyla yapılmış olan transözafagial ekokardiografi sonrası tesadüfen saptanan ve nadir görülen klinik bir durumdur. Sıklığı cerrahi ligasyon yapılan hastalar nedeniyle artmaktadır. Staz gelişen bölgede trombus gelişimini gösteren sayısunları yayılmıştır. Biz burada 51 yaşında kadın bir hastada mitral darlık nedeniyle yapılmış olan transözafagial ekokardiografi sırasında izlenmiş olan ve mitral darlığı eşlik eden sol atriyal apendiks stenozunu sunuyoruz.



Şekil 1



Şekil 2



Şekil 3

P-190

İki ve üç boyutlu ekokardiyografi ile saptanan atriyal septal defektli bir hastada paraşüt triküspit kapakSait Demirkol¹, Sevket Balta¹, Murat Unlu¹, Ugur Bozlar², Zekeriya Arslan¹, Bulent Karaman², Ugur Kucuk¹¹Gülhane Tip Akademisi, Kardiyoloji Anabilim Dalı, Ankara²Gülhane Tip Akademisi, Radyoloji Anabilim Dalı, Ankara

P-189

Left atrial appendage ostial stenosis associated with mitral stenosis

Yakup Alsancak, Gülsen Taçoy, Mehmet Ridvan Yalçın

Department of Cardiology, Gazi University Faculty of Medicine, Ankara

P-190

Parachute tricuspid valve in a patient with atrial septal defect detected by two and three-dimensional echocardiographySait Demirkol¹, Sevket Balta¹, Murat Unlu¹, Ugur Bozlar², Zekeriya Arslan¹, Bulent Karaman², Ugur Kucuk¹¹Gülhane Medical Faculty, Department of Cardiology, Ankara²Gülhane Medical Faculty, Department of Radiology, Ankara

Atrioventricular valve parachute deformity was generally seen in the mitral position, which is called parachute mitral valve (PMV). The characteristic findings of PMV are 1) the presence of solitary papillary muscle, 2) funnel shape of mitral valve, 3) doming shape of elongated chordae tendineae and 4) pear-like shape of left atrium. Parachute tricuspid valve (PTV) was first described in a patient with Fallot's tetralogy. The 24-year-old man was admitted to our outpatient clinic with a complaint of shortness of breath and palpitation. The 12-lead electrocardiogram revealed right bundle branch block. Physical examination showed an ejection systolic murmur at the second left intercostal space. The max/min pressure gradient across the tricuspid valve was 4/3 mmHg and there was trivial tricuspid regurgitation. Two-dimensional transthoracic echocardiography (2D TTE) demonstrated enlarged right ventricle, a defect in interatrial septum, membranous structure at right atrium and an echogenicity on the septum at right ventricle (Figure 1A). All the chordae tendineae were inserted into a solitary papillary muscle or muscle group (Figure 1B). 2-D TTE also revealed doming shape of elongated chordae tendineae and pear-like shape of right atrium (Figure 1C). To clarify this pathology, we performed three-dimensional transthoracic (3D TTE), two and three-dimensional transesophageal echocardiography (2D and 3D TEE) and computed tomographic angiography. 3D TTE after cropping the apex of the right ventricle revealed a bifid single papillary muscle attached to interventricular septum and right ventricular free wall (Figure 1D arrow). 2D TEE upper transesophageal short axis view and transgastric view confirmed features of the parachute tricuspid deformity such as a solitary papillary muscle, pear-like right atrium and chordal redundancy (Figure 2A,B). Moreover, 3D full volume TEE showed a single papillary muscle and chordal redundancy (Figure 2C). Minimum-intensity-projection (MinIP) axial oblique computed tomographic angiography image also revealed features of parachute tricuspid valve (Figure 2D). He underwent the surgical closure of the atrial septal defect without any complication. This is a congenital anomaly where two papillary muscles are present but one is dominant and usually elongated toward the valve annulus. PTV should have been kept in mind in patients with congenital heart defects because it is accompanied with congenital heart diseases. If there are the features of PTV in 2D TTE, we should perform advanced cardiac imaging modalities to clarify this pathology. It is shown that PTV has not any clinical significance in literature so far and these patients usually undergo surgical treatment due to concomitant pathologies. Its prognosis depends on the accompanying pathologies.

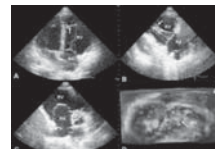


Figure 1. Two-dimensional transthoracic apical four-chamber view shows an echogenicity on the septum at right ventricle(A). Two-dimensional transthoracic modified parasternal long axis view reveals all chordae tendineae attaching to a single papillary muscle at right ventricle(B). Two-dimensional transthoracic parasternal long axis view reveals a large, dome-shaped, elongated chordae tendineae and pear-like shape of right atrium(C). Three-dimensional transthoracic view shows a bifid single papillary muscle attaching to interventricular septum and right ventricular free wall(D). RA-right atrium, RV-right ventricle, ASD-atrial septal defect, arrow-single papillary muscle and asterisk-prominent Eustachian valve.

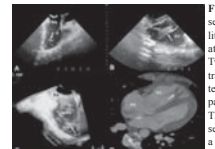


Figure 2. Two-dimensional upper transesophageal short axis view shows a solitary papillary muscle, pear-like right atrium and chordal redundancy(A). Two-dimensional upper transesophageal transgastric view reveals all chordae tendineae attaching to a bifid single papillary muscle at right ventricle(B). Three-dimensional full volume transesophageal echocardiography shows a single papillary muscle and chordal redundancy(C). Minimum-intensity-projection (MinIP) axial oblique computed tomographic angiography image also reveals a bifid single papillary muscle attaching to interventricular septum and right ventricular free wall(D). RA-right atrium, RV-right ventricle, ASD-atrial septal defect, arrow-single papillary muscle and asterisk-prominent Eustachian valve.

P-191

Mitral valvuloplasti sonrası mitral anterior leaflet yırtığına sekonder gelişen mitral yetmezlik

Sait Demirkol, Murat Unlu, Şevket Balta, Çagdas Uyar Yuksel, Turgay Celik, Atilla İyisoy, Ugur Kucuk

Gülhane Tip Akademisi, Kardiyoloji Anabilim Dalı, Ankara

P-191

Mitral regurgitation secondary to mitral anterior leaflet rupture after mitral valvuloplasty

Sait Demirkol, Murat Unlu, Şevket Balta, Çagdas Uyar Yuksel, Turgay Celik, Atilla İyisoy, Ugur Kucuk

Gülhane Medical Faculty, Department of Cardiology, Ankara

A 32-year-old female patient was admitted to our outpatient clinic for routine checkup. In her history, she underwent percutaneous mitral balloon valvuloplasty due to mitral stenosis three months ago. On physical examination, an apical 2/6 systolic murmur was heard. Electrocardiography showed normal sinus rhythm. Two-dimensional transthoracic echocardiography revealed eccentric mitral regurgitation which was not present previously. To clarify this pathology, we performed two and three dimensional transesophageal echocardiography (2-D and 3-D TEE). 2-D TEE mid-esophageal view demonstrated a cleft on the mitral anterior leaflet (Figure 1A arrow). Colour Doppler echocardiography showed a mitral regurgitation resulting from this cleft (Figure 1B). 3-D colour full volume TEE confirmed mitral regurgitation at the anterior mitral leaflet (Figure 1C). 3D Live Zoom acquisition revealed the cleft at A2 scallop (Figure 1D arrow). In patients with mitral regurgitation, three-dimensional echocardiography may provide the etiology of the mitral regurgitation and the correct localization of the pathology and guarantee optimal surgical guidance.

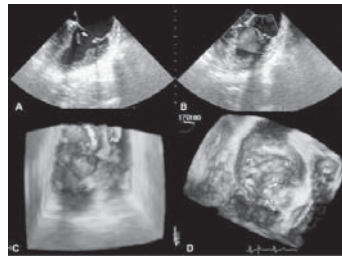


Figure 1. 2-D TEE showing a cleft on the mitral anterior leaflet (A arrow), colour Doppler echocardiography showed a mitral regurgitation resulting from this cleft (B). 3-D colour full volume TEE confirmed mitral regurgitation at the anterior mitral leaflet (C), 3D Live Zoom acquisition revealed the cleft at A2 scallop (D arrow).

P-192

Kalp yetmezliğinde hastalarında atriyum içi ve atriyumlar arası dissenkroni varlığı

Murat Bilgin¹, Bekir Serhat Yıldız², İlker Güllü³, Mehdi Zoghi¹, Mustafa Akin¹

¹Ege Üniversitesi Tip Fakültesi, Kardiyoloji Anabilim Dalı, İzmir

²Denizli Devlet Hastanesi, Kardiyoloji Kliniği, Denizli

³Ahi Evran Kalp Damar Cerrahisi Merkezi, Kardiyoloji Kliniği, Trabzon

P-192

Intra- and interatrial asynchrony in patients with heart failure

Murat Bilgin¹, Bekir Serhat Yıldız², İlker Güllü³, Mehdi Zoghi¹, Mustafa Akin¹

¹Department of Cardiology, Faculty of Medicine, Ege University, Izmir

²Denizli State Hospital, Cardiology, Denizli,

³Department of Cardiology, Ahi Evran Cardiovascular Surgery Center, Trabzon

Background: Patients with heart failure (HF) have atrial conduction alterations. We investigated the intra- and interatrial asynchrony detected by tissue Doppler imaging (TDI) in patients with HF.

Method: Sixty-three patients with HF with normal sinus rhythm were studied. The time intervals from initiation of the P wave on ECG to the peak of the late diastolic TDI signal (A') at the lateral border of the mitral annulus (mitral PA'), septal annulus (septal PA') and the tricuspid annulus (tricuspid PA') were measured. Interatrial asynchrony was defined as the difference between the mitral PA' and tricuspid PA' intervals, while intraatrial asynchrony was defined as the difference between septal PA' and tricuspid PA' intervals. HF group was compared with age and sex matched control group consisting sixty-three individuals (Figure 1).

Results: In HF group interatrial asynchrony (31.67 ± 4.3 ms versus 22.08 ± 9.3 ms, $p < 0.001$) and intraatrial asynchrony (21.51 ± 3.8 ms versus 10.46 ± 6.23 ms, $p < 0.001$) were longer compared to the control group. Between atria and in atrium electromechanical delay periods were significantly higher in the HF group than the control group (Figure 2). For these values cut-off (threshold) value was determined (Figure 3). The value for intra-atrial electromechanical delay was detected as 117,5 and for inter-atrial electromechanical delay 127,5.

Conclusion: Atrial junctions are relatively suppressed in HF. In this study, we assessed atrial electromechanical delay with tissue doppler echocardiography in patients with heart failure. Intra and inter-atrial electromechanical delay times were detected longer in HF group than control group. In addition, for each threshold value was detected.

	HF group (n=63)	Control group (n=63)	p value
Age (years)	61.67 ± 10.21	57.23 ± 10.21	<0.001
Female gender	31 (49%)	27 (43%)	<0.001
Current smoking history	10 (16%)	10 (16%)	1.000
Normal left ventricular ejection fraction	10 (16%)	10 (16%)	1.000
Normal left ventricular end-systolic diameter	10 (16%)	10 (16%)	1.000
Tricuspid and LVEDD (mm)	47.63 ± 10.48	41.67 ± 10.42	<0.001
Tricuspid PA'	21.51 ± 3.8	10.46 ± 6.23	<0.001
Septal PA'	22.08 ± 9.3	11.75 ± 6.23	<0.001
Mitral PA'	31.67 ± 4.3	17.83 ± 6.23	<0.001
Interatrial asynchrony	31.67 ± 4.3	11.75 ± 6.23	<0.001
Intraatrial asynchrony	21.51 ± 3.8	10.46 ± 6.23	<0.001
Septal PA' - Mitral PA'	-10.16 ± 7.5	-6.08 ± 6.23	<0.001
Septal PA' - Interatrial asynchrony	-11.14 ± 7.5	-1.18 ± 6.23	<0.001
Mitral PA' - Interatrial asynchrony	-10.00 ± 7.5	-5.98 ± 6.23	<0.001

Figure 1. Clinical and demographical characteristics of patient and control groups

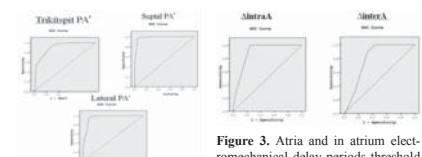


Figure 2. Between atria and in atrium electromechanical delay periods threshold value were determined

P-193**Korunmuş ejeksiyon fraksiyonlu hastalarda sol atriyal deformasyon parametreleri**

Can Yücel Karabay, Taylan Akgün, Ahmet Guler, Arzu Kalayci, Vecih Oduncu, Ayhan Erkol, İbrahim Akın İzgi, Cevat Kırma

Kartal Koşuyolu Yüksek İhtisas Eğitim ve Araştırma Hastanesi, İstanbul

Giriş-Amac: Günümüzde, korunmuş ejeksiyon fraksiyonlu kalp yetmezliği (KEFKY) özellikle yaşlı populasyonda artan sıklıkla tanı konulan önemli bir mortalite ve morbidite sebebidir. Bu hasta gurubunda sistolik fonksiyonlarda korunma olmasına rağmen artmış dolum basınçlarına ait bulgular saptanmakta ve tanıda önemli yer tutmaktadır. Bu amaçla dolus basıncı ile ilişkili sol atriyal deformasyon parametrelerini bu hasta gurubunda değerlendirmek istedik.

Yöntem: Çalışmamızda KEFKY bulunan 24 hasta ve 20 kontrol gurubu aldı. Bütün hastalardan sol atriyal zirve strain değeri (LA-4C-RES) ve atriyal kontraksiyon öncesi (LA-4C-COND) değerleri iki boyutlu benek takip yöntemi ekokardiografi ile değerlendirildi.

Bulgular: KEFKY gurubunda, kontrol grubunda göre komorbit durumlar (diabetes Mellitus, hipertansiyon vs) daha fazlaydı. LA-4C RES ve LA-4C-COND (17.8 ± 1.4 , 31.7 ± 12.8 , $p < 0.05$ and 7.8 ± 1.3 vs 13.8 ± 4.7 , $p < 0.05$, sırasıyla) değerleri kontrol gurubuna göre düşük saptandı.

Tartışma-Sonuç: Bu çalışmada; KEFKY hasta gurubunda benek takip yöntemi ekokardiografi ile saptanan sol atriyal deformasyon parametrelerinin kontrol gurubuna göre bozulmuş olduğunu saptadık.

P-193**Left atrial deformation parameters in patients with heart failure and preserved ejection fraction**

Can Yücel Karabay, Taylan Akgün, Ahmet Guler, Arzu Kalayci, Vecih Oduncu, Ayhan Erkol, İbrahim Akın İzgi, Cevat Kırma

Kartal Koşuyolu Yüksek İhtisas Training and Research Hospital, İstanbul

P-194**Mitral kapak libman-sacks endokarditinin iki ve üç boyutlu ekokardiyografi ile değerlendirilmesi**

Murat Unlu, Sait Demirkol, Sevket Balta, Zekeriya Arslan, Atilla Iyisoy, Ugur Kucuk, Suat Gormel

Gülhane Tip Akademisi, Kardiyoloji Anabilim Dalı, Ankara

P-194**Mitral valve libman-sacks endocarditis evaluated by two and three-dimensional transesophageal echocardiography**

Murat Unlu, Sait Demirkol, Sevket Balta, Zekeriya Arslan, Atilla Iyisoy, Ugur Kucuk, Suat Gormel

Gülhane Medical Faculty, Department of Cardiology, Ankara

Systemic lupus erythematosus is an autoimmune disorder resulting in multiorgan inflammatory damage. Libman-Sacks endocarditis (LSE) is characterized by sterile fibrofibrinous vegetations that can be developed anywhere on the endocardial surface. Mitral valve was involved more than half of patients with vegetations. A 38-year-old man with a 6 years history of systemic lupus erythematosus was admitted to our department for a routine evaluation. Two-dimensional transthoracic echocardiography revealed fibrous nodules at the edge of mitral valve and severe mitral regurgitation. He underwent two-dimensional transesophageal echocardiography (2D-TTE) which revealed a mitral valve verrucous vegetations on the atrial surfaces of valve leaflets (Figure 1A) and severe mitral regurgitation (Figure 1B). To clarify this pathology, three dimensional transesophageal echocardiography (3D-TEE) was carried out. 3D full volume colour TEE demonstrated severe mitral regurgitation (Figure 1C) and 3D full volume TEE showed the posterior mitral valve as three separated parts due to LSE (Figure 1D). LSE vegetations appear as varying size and shape of valvular masses with irregular borders and echodensity. 3D-TEE provides a unique in face view of the mitral valve vegetations that allows for an accurate determination of the size, shape, and location LSE is usually typically asymptomatic, but can lead to serious complications, such as superimposed bacterial endocarditis, thromboembolic events, and valvular regurgitation and/or stenosis requiring surgery. We followed him with medical treatment because left ventricle function and diameters were normal and his functional capacity was class 1.

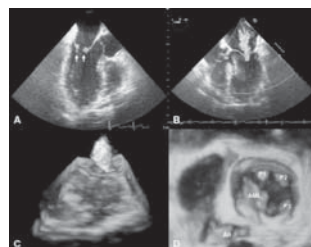


Figure 1. Two-dimensional transesophageal echocardiography revealing mitral valve verrucous vegetations on the atrial surfaces of valve leaflets (A) and severe mitral regurgitation (B). Three dimensional full volume colour Doppler TEE confirming severe mitral regurgitation (C) and 3D full volume TEE showing the posterior mitral valve as three separated parts (D). Ao: aorta, AML: anterior mitral valve

P-195

Subaortik membran ile ilişkili Friedreich ataksisi: Nadir bir olguAdnan Doğan, Hakan Aksoy*Osmaniye Devlet Hastanesi, Kardiyoloji Kliniği, Osmaniye*

P-195

Friedreich's ataxia associated with subaortic membrane: a rare caseAdnan Doğan, Hakan Aksoy*Osmaniye State Hospital, Cardiology Department, Osmaniye*

Friedreich's Ataxia (FA) is a rare neuromuscular disorder with autosomal recessive heredity. It is characterized by spinocerebellar degeneration. Cardiac involvement is frequent, approximately $\geq 90\%$ of the cases. Cardiac arrhythmias, asymmetric septal hypertrophy, concentric left ventricular hypertrophy, dilated cardiomyopathy and mitral valve prolapse have been reported. The patients are usually asymptomatic. We report a case of subaortic membrane leading to concentric left ventricular hypertrophy associated with FA. To best of our knowledge, this report is the first case in the literature showing association between FA and subaortic membrane.

Case: A twenty-one years old woman was admitted with complaints of chest pain and shortness of breath. The patient was diagnosed by Friedreich ataxia six years ago. Patient has no family history. On physical examination, arterial blood pressure was 118/76 mmHg and pulse rate was 98 bpm, regularly. A grade 3/6 systolic murmur was audible at the aortic area and apex. The ECG showed nonspecific ST-T changes with sinus rhythm. Chest Roentgenogram was normal. Echocardiography disclosed concentric left ventricular hypertrophy with 16 mm of septal thickness and 15 mm of left ventricular posterior wall thickness (figure 1). Left ventricular end-diastolic diameter was 41 mm and left atrium was 39 mm. The left ventricular ejection fraction by M mode and Simpson's method was 60%. There was a subaortic membrane leading to left ventricular outflow tract obstruction (figure 2). A sixty mmHg resting gradient was measured at the left ventricular outflow tract. The patient was treated with beta-blocker therapy.

Conclusion: Cardiac involvement is frequent in Friedreich's Ataxia. Therefore, all patients with FA should be screened with transthoracic echocardiography for cardiac anomalies.



Figure 1. Parasternal short axis view showing left ventricular concentric hypertrophy.

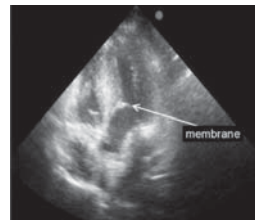


Figure 2. Apical four chamber view showing subaortic membrane.

P-196

İnferior vena kavayı tıkanan sağ atriyal trombusun birden çok görüntüleme yöntemi ile gösterilmesi

Sait Demirkol¹, Fahri Gurkan Yeşil², Uğur Bozlar³, Sevket Balta¹, Mehmet Ali Şahin², Murat Unlu¹, Zekeriya Arslan¹, Uğur Kucuk¹, Kemal Kara³

¹Gülhane Tip Akademisi, Kardiyoloji Anabilim Dalı, Ankara²Gülhane Tip Akademisi, Department of Cardiovascular Surgery, Ankara³Gülhane Tip Akademisi Department of Radiology, Ankara

P-196

Multimodality imaging of a right atrial thrombus obliterating inferior vena cava

Sait Demirkol¹, Fahri Gurkan Yeşil², Uğur Bozlar³, Sevket Balta¹, Mehmet Ali Şahin², Murat Unlu¹, Zekeriya Arslan¹, Uğur Kucuk¹, Kemal Kara³

¹Gülhane Medical Faculty, Department of Cardiology, Ankara²Gülhane Medical Faculty, Department of Cardiovascular Surgery, Ankara³Gülhane Medical Faculty, Department of Radiology, Ankara

39-year-old man was admitted to our clinic with a shortness of breath. In his medical history, he began to take warfarin ten years ago after deep vein thrombosis. He suffered from heparin-induced thrombocytopenia after anal fissure operation one year ago. Then he gave up using warfarin. Physical examination was unremarkable. The 12-lead electrocardiogram showed a sinus rhythm. Two-dimensional transthoracic echocardiography right-ventricular inflow view and two-dimensional transesophageal echocardiography bicaval view revealed an echolucent mass at the junction of inferior vena cava (IVC) and right atrium (Figure 1A,B). Three-dimensional transesophageal echocardiography en-face view after manual cropping of a full-volume acquisition demonstrated the mass obliterating IVC (Figure 1C,D). Contrast enhanced RV long axis computed tomography image demonstrated a hypodense mass (Figure 1E). RV long axis steady-state free precession magnetic resonance imaging (MRI) revealed a hypodense free floating mass lesion (Figure 1F). Axial phase sensitive inversion recovery MRI showed no delayed enhancement (Figure 1G). The mass was removed surgically (Figure 1H). Histopathologically, a lesion composed of platelets, fibrins, erythrocytes and degenerating leukocytes were seen (Figure 1I). When a right-sided cardiac mass is encountered, it is important to clarify the type of the mass. However, it is usually hard to make an accurate diagnosis before surgery. Right-sided thromboses are associated with an increased risk of pulmonary embolism and must be surgically removed. The combination of imaging modalities may be useful in the differentiation of the intracardiac masses.

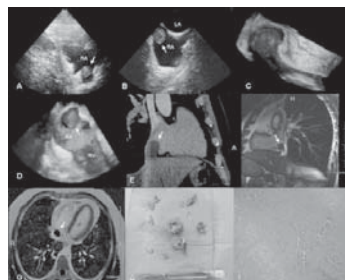


Figure 1. 2D TTE right-ventricular inflow view and 2D TEE revealed an echolucent mass at the junction of inferior vena cava (IVC) and right atrium (A,B). 3D TEE after manual cropping of a full-volume acquisition demonstrated the mass obliterating IVC (C,D), contrast enhanced RV long axis CT image demonstrated a hypodense mass (E). RV long axis steady-state free precession MRI revealed a hypodense free floating mass lesion (F). Axial phase sensitive inversion recovery MRI showed no delayed enhancement (G). The mass was removed surgically (H). Histopathologically, a lesion composed of platelets, fibrins, erythrocytes and degenerating leukocytes were seen (I).

P-197

Pulmoner hypertansiyonu olmayan sistemik sklerozlu hastalarda platelet endeksleri ile pulmoner arter basinci arasındaki ilişki”

Habib Çil¹, Zuhal Arıtürk Atılgan¹, Yahya İslamoğlu¹, Faruk Ertas¹, Hasan Kaya¹, Mehmet Tahatasız², Mustafa Akif Sarıyıldız², Mehmet Siddik Ülgen¹

¹Dicle Üniversitesi Kardiyoloji Anabilim Dalı, Diyarbakır

²Dicle Üniversitesi Fizik Tedavi ve Rehabilitasyon Anabilim Dalı

P-197

The relationship between the platelet indices and pulmonary arterial pressure in patients with systemic sclerosis without pulmonary hypertension

Habib Çil¹, Zuhal Arıtürk Atılgan¹, Yahya İslamoğlu¹, Faruk Ertas¹, Hasan Kaya¹, Mehmet Tahatasız², Mustafa Akif Sarıyıldız², Mehmet Siddik Ülgen¹

¹Department of Cardiology, Dicle University, Diyarbakır

²Department of Physical Medicine and Rehabilitation, Dicle University, Diyarbakır

Aim: To investigated relationship between mean platelet volume and pulmonary arterial pressure in patients with SSc have normal pulmonary pressure.

Material-Methods: 30 patients with systemic sclerosis and 30 age-sex matched healthy subjects include the study. Standard echocardiography with tissue doppler imaging were performed to assess the left ventricular ejection fraction, right ventricular ejection fraction, right ventricular systolic and diastolic diameters, TAPSE and systolic and mean pulmonary artery pressure were measured.

Results: While the platelet count was significantly lower in the SSc group (236.3±58.0 vs. 276.2±54.4), the MPV value was higher (8.87±0.75 vs. 7.56±1.02). The PDW value was similar in both groups. Among the echocardiographic parameters, the RV EF and TAPSE values were significantly lower in the patient group (50.4±6.8 vs. 57.2±7.3, 0.34±0.11 vs. 0.42±0.12, 19.9±3.8 vs. 22.45±3.2). The PABs and RVMPi values were higher in the patient group (29.2±8.3 vs. 23.4±10.7). In the correlation analysis, a significant correlation was observed between the average pulmonary arterial pressure and the MPV value ($r: 0.437$). Still, no correlation was observed between the PABs, RVEF, TAPSE and MPI values, and the platelet parameters.

Conclusion: MPV level, which is a marker of platelet activation in systemic sclerosis patients without pulmonary hypertension, is higher; and that the MPV level is significantly correlated with the average pulmonary arterial pressure.

Table 1. Clinical and hemodynamic findings of the study population

	Patients n=30	Controls n=30	P-value
Age	42.7±13.8	40.0±13.7	0.399
Female gender	28	28	NS
RV-D	23.7±4.0	24.1±3.8	NS
Mean PA pressure	13.0±2.4	12.0±3.0	NS
Diastolic PA pressure	12.4±0.8	10.9±1.1	NS
Platelet count (10 ⁹ /L)	236.3±58.0	276.2±54.4	<0.001
MPV (fL)	8.87±0.75	7.56±1.02	<0.001
PDW	29.2±8.3	23.4±10.7	NS
PABs (fL)	19.9±3.8	22.45±3.2	NS
RVEF (%)	50.4±6.8	57.2±7.3	<0.001
TAPSE (mm)	19.3±4.1	21.4±3.7	<0.001
SPIB (mm)	1.0±0.2	1.0±0.2	NS
SVMAX (ml)	102±22	32±7	0.001
SAVMIN (ml)	76±12	15±6	0.001

Table 2. Pearson correlation analysis of the hemodynamic parameters and right ventricular function

	TAPSE	RVEF	RVMPi	PABs	MPV	PC
TAPSE	1	-0.152	0.142	-0.028	-0.113	0.099
RVEF		1	-0.082	0.058	-0.172	0.048
RVMPi			1	-0.028	0.047	0.001
PABs				1	0.122**	0.021
MPV					1	0.234*
PC						1

*p<0.05, **p<0.01, ***p<0.001

P-198

Romatizmal mitral darlığında mekanik sol atriyal mekanik fonksiyonları ve fonksiyonel kapasite arasındaki ilişki

Mücahit Yetim¹, Kemal Karaağac², Ali Şaşmaz³

¹Tokat Devlet Hastanesi, Kardiyoloji Kliniği, Tokat

²Bursa Yüksek İhtisas Eğitim ve Araştırma Hastanesi, Kardiyoloji Bölümü, Bursa

³Ankara Türkiye Yüksek İhtisas Hastanesi, Kardiyoloji Bölümü, Ankara

Amaç: Bu çalışmada sınırlı ritimli romatizmal mitral darlıklı hastalarda transtorasik ekokardiyografi ile saptanan sol atriyal fonksiyonları, normal populasyonla karşılaştırıldı ve subgroup analizlerinde fonksiyonel kapasite ile olan ilişkisi araştırıldı.

Çalışma Planı: Çalışmaya izole romatizmal mitral darlığı (grup 1) 32 hasta (ort. yaşı 39.1±11) ve kontrol grubunu (grup 2) oluşturacak 20 hasta (ort. yaşı 37±8.2) aldı. Hastaların ortalamalı mitral kapak alanı 1.1±0.3 cm² idi ve hastalar New York Heart Association (NYHA) sınıfı sınıflandırmasına göre ayrıldıında, 16 hasta NYHA sınıfı 2 (Grup A) ve 16 hasta NYHA sınıfı 3 (Grup B)'ti. Asemptomatik ve NYHA sınıfı 4 hasta yoktu. Grupların Sol atriyum capları, sol atriyum vümleri (SAV), sol atriyum fraksiyonu (SAFAD) ve sol atriyum ejeksiyon fraksiyonu (SAEF) hesaplandı.

Bulgular: Çalışmaya dahil edilen hastaların bazal demografik özelliklerini Tablo 1'de gösterilmştir. Ekokardiyografik olarak saptanan sol atriyum ejeksiyon fraksiyonu (SAEF) ve sol atriyum fraksiyonu alan değerimi (SAFAD) mitral darlıklı hastalarda istatistiksel anlamda derecede daha düşüktü (32±5, 44 ± 3; p<0.001- 25±11, 32±6; p<0.02) Hastalar New York Heart Association (NYHA) sınıflamasına göre ayrıldıında, 16 hasta NYHA sınıfı 2 (Grup 2) ve 16 hasta NYHA sınıfı 3 (Grup 3)'ti.

Asemptomatik ve NYHA sınıfı 4 hasta yoktu. Hastaların klinik ve ekokardiyografik verileri tablo 2' de verilmüştür. Çalışmada benzer mitral kapak alanı (MKA) ve ortalamalı gradyant (OG) sahip olmalarına rağmen sistolik pulmoner arter basincının (SPAB) semptomatik grupta daha yüksek olduğu, buna karşılık sol atriyal fonksiyonları iki grupta arasında farklılık göstermediği saptanmıştır.

Sonuç: Sonuç olarak bu çalışmada ekokardiyografi ile değerlendirilen sol atriyal fonksiyonların mitral darlıklı hastalarda bozulduğu, bunla birlikte semptomatoloji ile korelesyonun zayıf olduğu saptanmıştır. Bu bulgular, sol atriyum içinde Frank Starling mekanizmasına benzer bir mekanizmanın geçerli olduğunu, önyükteki (volum ve basinc) ilişkisinin idaresini sağlanırken, volum ve basinc yükünden daha fazla artması ile ilişkilidir. Atrial miyofibriller arası kontraksiyon esleşmesinin bozulmasına paralel olarak sol atriyal disfonksiyonun belirginleştiği ve buna bağlı olarak da sol atriyal ejeksiyon fraksiyonu (LAEF) parametresinin klinik semptomatolojisi yansımadaki değerinin azaldığı sonucuna varılmıştır.

Frank Starling mekanizmasına benzer bir mekanizmanın geçerli olduğunu, önyükteki (volum ve basinc) ilişkisinin idaresini sağlanırken, volum ve basinc yükünden daha fazla artması ile ilişkilidir. Atrial miyofibriller arası kontraksiyon esleşmesinin bozulmasına paralel olarak sol atriyal disfonksiyonun belirginleştiği ve buna bağlı olarak da sol atriyal ejeksiyon fraksiyonu (LAEF) parametresinin klinik semptomatolojisi yansımadaki değerinin azaldığı sonucuna varılmıştır.

P-198

The relationship between left atrial mechanical functions and functional capacity in rheumatic mitral stenosis

Mücahit Yetim¹, Kemal Karaağac², Ali Şaşmaz³

¹Department of Cardiology, Tokat State Hospital, Tokat

²Department of Cardiology, Bursa Yüksek İhtisas Training and Research Hospital, Bursa

³Department of Cardiology, Ankara Türkiye Yüksek İhtisas Hospital, Ankara

Table 1. Grupların genel ve ekokardiyografik özellikleri

	Grup 1 MD (n=32)	Grup 2 Kontrol (n=20)	p değeri
Yas (%)	39.1 ± 11	37 ± 8.2	AD
Cinsiyet (Kadın,%)	86,7	85	AD
Kalp hızı (atm/dk)	80 ± 9	76 ± 9	AD
VKI	24 ± 2	25 ± 3	AD
SVEF (%)	68 ± 5	69 ± 3	AD
SAEF (%)	32 ± 5	44 ± 3	0,001
SAFAD(%)	25 ± 11	32 ± 6	0,02
SATBV(mJ)	102 ± 22	32 ± 7	0,001
SAMVMAX (ml)	102 ± 22	32 ± 7	0,001
SAMV/MIN (ml)	76 ± 12	15 ± 6	0,001

VKI: Vücut kitle indeksi, SVEF: Sol ventrikül ejeksiyon fraksiyonu, SAEF: Sol atriyum ejeksiyon fraksiyonu, SAFAD: Sol atriyum fraksiyonu alan değimi, SAMVMAX: Sol atriyum maksimum vümlü, SAMV/MIN: Sol atriyum minimum vümlü, AD: Analanlı değim

Table 2. Hastaların fonksiyonel kapasitelerine göre kar-

	Grup A N=16	Grup B NYHA III(n=16)	p-değer
YAS(YIL)	29 ± 6	40 ± 11	AD
Kalp hızı (atm/dk)	80 ± 9	83 ± 8	AD
VKI	23 ± 3	25 ± 3	AD
MKA (cm ²)	1.0 ± 0.22	1.00 ± 0.23	AD
FGR (mmhg)	20 ± 8	28 ± 7	0,005
ODI (mmhg)	13 ± 4	14 ± 3	AD
SAEF (mmhg)	40 ± 12	64 ± 14	<0,001
SAT max (ml)	103 ± 25	120 ± 20	<0,001
SAT min (ml)	73 ± 19	99 ± 12	<0,001
SAF (%)	30 ± 2	30 ± 5	AD

FGR: Frank Starling, ODI: Ortalama gradyant, MKA: Mitral kapak alanı, SAT: Sol atriyum gjeksiyon fraksiyonu, SAMVMAX: Sol atriyum maksimum vümlü, SAMV/MIN: Sol atriyum minimum vümlü, SPAB: Sistolik pulmoner arter basincı, od: atriyum total basincı vümlü, PGR: Pik gradyant, OG: Ortalama gradyant, AD: Analanlı değim

P-199

Asemptomatik bir mitral darlığı hastasında perkütan mitral balon valvuloplasti sonrasında mitral anterolateral papiller kas rüptürü

Sait Demirkol, Murat Unlu, Şevket Balta, Turgay Celik, Uygar Çağdaş Yüksel, Atilla Iyisoy, Uğur Küçük

Gülhane Tip Akademisi, Kardiyoloji Anabilim Dalı, Ankara

P-199

Mitral anterolateral papillary muscle rupture in an asymptomatic patient with mitral stenosis after percutaneous mitral balloon valvuloplasty

Sait Demirkol, Murat Unlu, Şevket Balta, Turgay Celik, Uygar Çağdaş Yüksel, Atilla Iyisoy, Uğur Küçük

Gülhane Medical Faculty, Department of Cardiology, Ankara

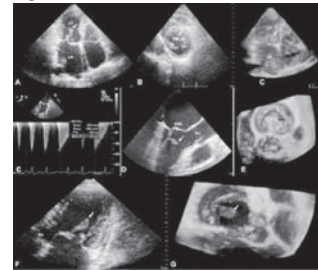
Percutaneous mitral valvuloplasty is the procedure of choice for the treatment of patients with mitral stenosis and suitable valve anatomy. Papillary muscle rupture is the most worrying complication of this procedure. A 55-year-old woman with known mitral stenosis due to rheumatic fever admitted to our outpatient clinic for routine follow-up. She underwent to mitral balloon valvuloplasty two weeks ago. Physical examination revealed bilateral lower lung field fine crackles. The 12-lead electrocardiogram demonstrated atrial fibrillation. Two-dimensional transthoracic echocardiographic (2-D TTE) apical four-chamber, parasternal short axis view and three-dimensional transthoracic echocardiographic (3-D TTE) apical four-chamber view displayed totally rupture of the proximal portion of the mitral anterolateral papillary muscle (Figure 1A,B and C, arrows). For better definition of the rupture, we performed two and three-dimensional transesophageal echocardiography (2-D and 3-D TEE).

Mitral valve area by pressure half time method was 1,42 cm² (Figure 1D). 2-D TEE showed that the anterior mitral valve was prolapsing back into the left atrium (Figure 1E). Realtime 3D-TTE Zoom modality confirmed the prolapsing mitral anterior mitral valve (Figure 1F). 2-D TEE and realtime 3D-TEE Zoom modality revealed the ruptured anterolateral papillary muscle at the anterior mitral leaflet (Figure 1G and 1H, arrows).

Papillary muscle rupture is a recognized complication of balloon mitral valvuloplasty occurring in rarely of procedures and is usually accompanied by severe mitral regurgitation due to mitral valve prolapse. Surprisingly, there was only mild mitral regurgitation in our case. Commissural fusion of the mitral leaflets may have prevented the formation of severe mitral regurgitation. We have not performed any surgical procedure because she is asymptomatic and have mild mitral regurgitation.

We herein present a case of anterolateral papillary rupture demonstrated by 3-D TEE. Transthoracic echocardiography is the basic diagnostic technique in these circumstances but real time 3D TEE may also be helpful in giving a better definition of the pathology and surgical planning. Our case emphasizes the importance of the follow-up of patients undergoing percutaneous mitral valvuloplasty even following a successful procedure on suitable non-calcified valves.

Figure 1



P-200

Atrial fibrilasyonlu bir hastada trombus içeren dev interatriyal anevrizma

Hilal Olgun Küçük¹, Serkan Ünlü¹, Uğur Küçük², Asife Şahinarslan¹, Adnan Abacı¹

¹Gazi Üniversitesi Tip Fakültesi, Kardiyoloji Anabilim Dalı, Ankara

²GATA Ankara Kardiyoloji Anabilim Dalı, Ankara

52 yaşında erkek hasta son bir aydır olan ve giderek artan nefes darlığı şikayeti ile değerlendirildi. Hipertansiyon, atrial fibrilasyon ve aterosklerotik koroner arter hastalığı (sirkumfiks ve sol onen arter gövdede sten) tanıları olan hastanın fizik muayenesinde her iki aksiger orta zonlarında ral ve bilateral pretibial ödem tespit edildi. S1 ve S2 taşırıtmış idi; ek ses ya da üfürüm duyulmadı. EKG yüksek ventrikül yanılı atrial fibrilasyon ritimindeydi ve inferior derivasyonlarda qS patern izlendi. Dekompanse kalp yetmezliği tanısı ile yatırılan hasta iv furosemid infüzyonu, digoksin, ACEİ ve exaleme 2x0,6 cc başlandı. Yapılan transtorasik ekokardiyografide ejeksiyonu %45 olarak saptandı, ciddi kapak patolojisi yoktu. Interatriyal septumda sağa doğru bombeleşen anevrizmatisk haresetsiz görünümleri izlemesi üzerine hastaya transözofajiyal ekokardiyografi yapıldı. Midozofagus seviyesinde 0, 115° ve 150° açılamlarla alınan görüntülerde interatriyal septumda sağa doğru bombeleşen içerisinde spontan eko kontrast ve trombus bulunduran büyük bir anevrizma saptandı (Şekil 1-3). Anevrizmanın tabanı 22 mm olarak ölçüldü (Şekil 4). Renkli Doppler ve ajite salınan infüzyonuna takiben valsalsa manevrası ile sağdan sola geçti saptanmadı (Şekil 5,6). Takiben kompanse olana hasta kumadınıza edilecek tabure edildi. Interatriyal septal anevrizma (ISA) atrial septumun her iki ya da tek atriyuma kardiyak sıktıksız süresince olan bombeleşmesidir. Prevelansı %2 ile %10 arasında bildirilmiştir. Siklikla ASD, PFO, MVP gibi yapısal kalp hastalıkları ve atrial fibrilasyon ile ilişkilik gösterir. Tromboemboli açısından bir risk faktörü olarak kabul edilir.



Figure 1. ok interatrial septal anevrizmayla gostermeye astevik spontan eko kontrast LA: sol atriyum RA: sağ atriyum

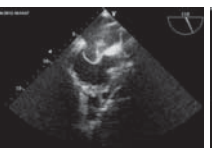


Figure 2. midozefal 115 derece açılanmda da interatrial septum anevrizması ve spontan eko kontrast

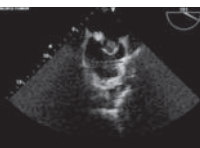


Figure 3. midozefal 151 derece açılanmda interatrial septum anevrizması ve trombus

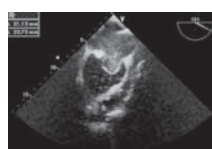


Figure 4. midozefal 151 derece



Figure 5. midozefal 151 derece ajite salın ejeksiyonu sonrası



Figure 6. midozefal 44 derecede interatrial septum renkli doppler görüntüleme

P-200

Giant interatrial septal aneurysm containing thrombus in a patient with atrial fibrillation

Hilal Olgun Küçük¹, Serkan Ünlü¹, Uğur Küçük², Asife Şahinarslan¹, Adnan Abacı¹

¹Department of Cardiology, Gazi University Faculty of Medicine, Ankara

²Department of Cardiology, GATA, Ankara